

UNIVERSIDAD DE SANTANDER

**ESCUELA TECNICA SUPERIOR DE INGENIEROS
DE CAMINOS, CANALES Y PUERTOS**

TESIS DOCTORAL

**"SIMULACION DEL COMPORTAMIENTO TERMICO DE
TABLEROS DE PUENTE Y SU INFLUENCIA
EN EL ESTADO TENSIONAL"**

Presentada por: **PEDRO SERRANO BRAVO**

Dirigida por: **JOAQUIN CRUCES DE ABIA**

Santander, Junio 1985

C A P I T U L O VIII

ESTUDIO TENSIONAL DEL ESTADO TERMICO

8.1. INTRODUCCION

Históricamente el primer método de cálculo fué el método de las tensiones admisibles realizando el análisis de la estructura mediante cálculo lineal que supone propiedades y respuestas de los materiales independientes del estado de carga a que esté sometido.

Este método fué rechazado hace ya más de 20 años y España fue uno de los países pioneros en desecharlo. El motivo fué que no garantizaba la seguridad real de una estructura al no ser permisible la extrapolación de datos desde estados de carga normales hasta los estados próximos a la rotura.

Como es sabido, ninguno de los materiales constituyentes de los puentes de fábrica, el hormigón y el acero tienen leyes de tensión-deformación con comportamiento lineal. Por ejemplo el hormigón se puede suponer un diagrama parábola-recángulo, y el acero de dureza natural un diagrama rectilíneo.

Esto hace que el conjunto de los dos materiales formando el hormigón armado o el hormigón pretensado sea un nuevo material de respuesta no sencilla, y por supuesto no lineal, que merece ser estudiada con más precisión.

El avance del conocimiento de los materiales dió lugar al método de cálculo conocido como de los estados límites. En él, con objeto de limitar convenientemente la probabilidad de que, en la realidad, el efecto de las acciones exteriores sea superior al previsto, o que la respuesta de la estructura resulte inferior a la calculada, el margen de seguridad correspondiente se introduce en los cálculos mediante unos coeficientes de ponderación que multiplican los valores característicos de las acciones y otros coeficientes de minoración que dividen los valores característicos de las propiedades resistentes de los materiales que constituyen la estructura.

En consecuencia el proceso de cálculo consiste en:

1. Obtención del efecto S_d de las acciones exteriores, relativo al estado límite en estudio, a partir de los valores ponderados de las acciones características.
2. Obtención de la respuesta R_d de la estructura, correspondiente al estado límite en estudio, a partir de los valores minorados de las características de los materiales.

3. El criterio de aceptación consiste en la comprobación

$$R_d \geq S_d \quad (8.1)$$

8.2. INFLUENCIA DEL ESTADO TERMICO DE UN TABLERO EN LOS ESTADOS LIMITES ULTIMOS

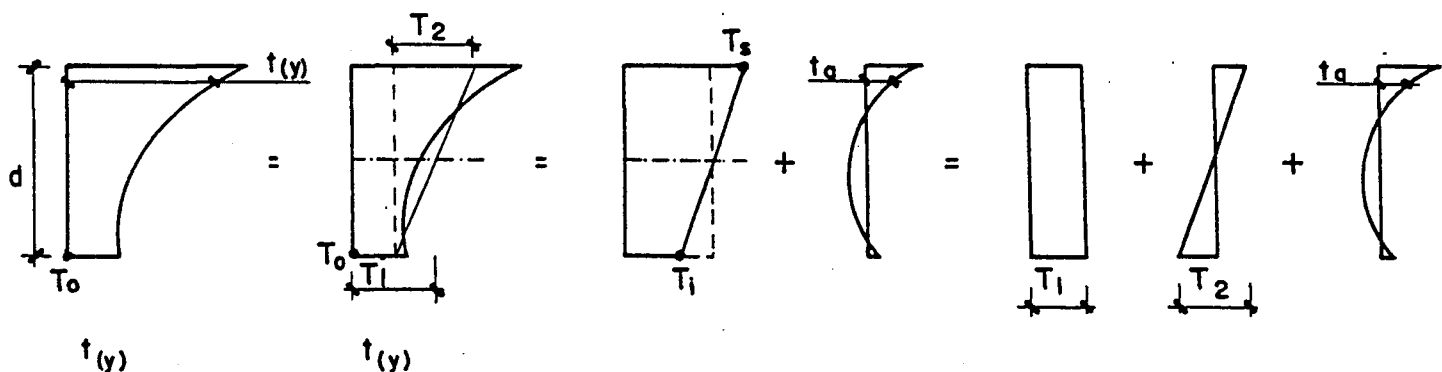
8.2.1. INTRODUCCION

Dentro de los estados límites últimos a que hace referencia la Instrucción EP-77, el presente capítulo se referirá fundamentalmente a los estados límites de agotamiento o de rotura, definidos por el agotamiento resistente o la deformación plástica excesiva de una o varias secciones de los elementos de la estructura.

Las acciones que se consideran capaces de producir el estado límite de agotamiento de la sección son las cargas o acciones directas (Artículo 37.1 de la Instrucción EP-77) y las acciones indirectas, (Artículo 37.2 de la Instrucción EP-77) de las cuales esta tesis se referirá especialmente a las acciones térmicas.

En el caso de puentes las acciones directas quedan perfectamente definidas por la "Instrucción relativa a las acciones a considerar en el proyecto de puentes de carretera" y la "Instrucción relativa a las acciones a considerar en el proyecto de puentes de ferrocarril", mientras que las acciones térmicas quedan sin determinar en dichas Instrucciones.

En el presente trabajo se determina cual puede ser el campo de temperaturas y se efectúa la descomposición de dicho campo de temperaturas (Capítulo 2.3) en tres distribuciones: Una distribución uniforme de temperatura que rige los movimientos longitudinales del puente, un gradiente constante de temperatura que obliga a la estructura un giro impuesto y una distribución de temperatura que supone un estado de autotensión en el puente, sin movimiento de ninguna de sus fibras, según se deduce de la figura 8.1.



TEMPERATURAS

Figura 8.1.

A continuación se considerará el efecto que implica cada uno de estos tres estados térmicos en el estado último de agotamiento.

La distribución uniforme de temperaturas no supone ningún esfuerzo al puente si los apoyos están bien dimensionados y se permite el movimiento libre de la viga o tablero.

8.2.2. INFLUENCIA DEL GRADIENTE CONSTANTE DE TEMPERATURAS EN
LA RESPUESTA ULTIMA DEL PUENTE

Los materiales utilizados en Ingeniería son, de propiedades no sencillas de modelizar o de caracterizar sus propiedades.

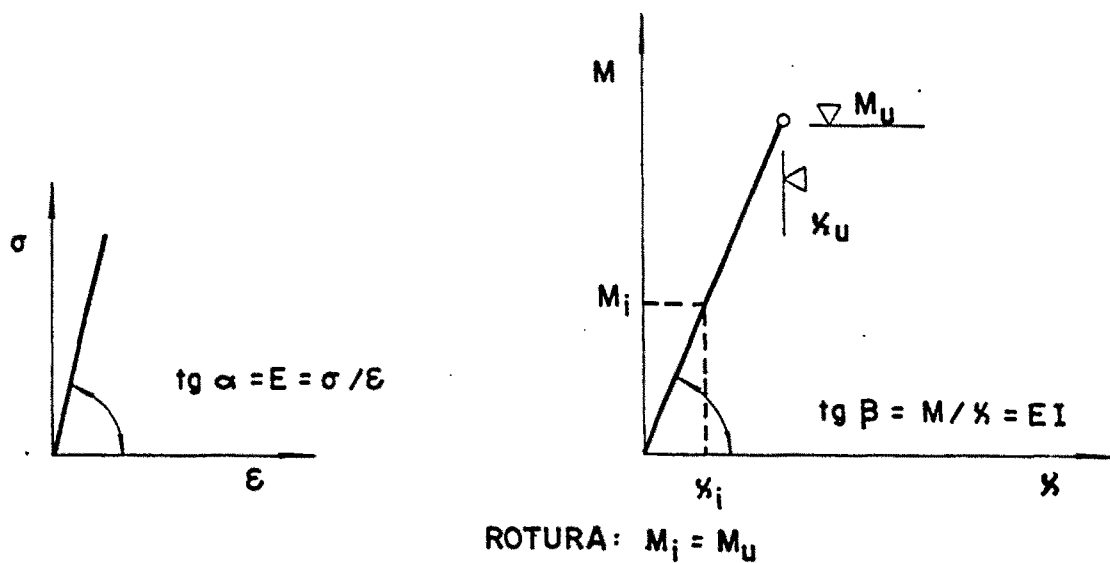
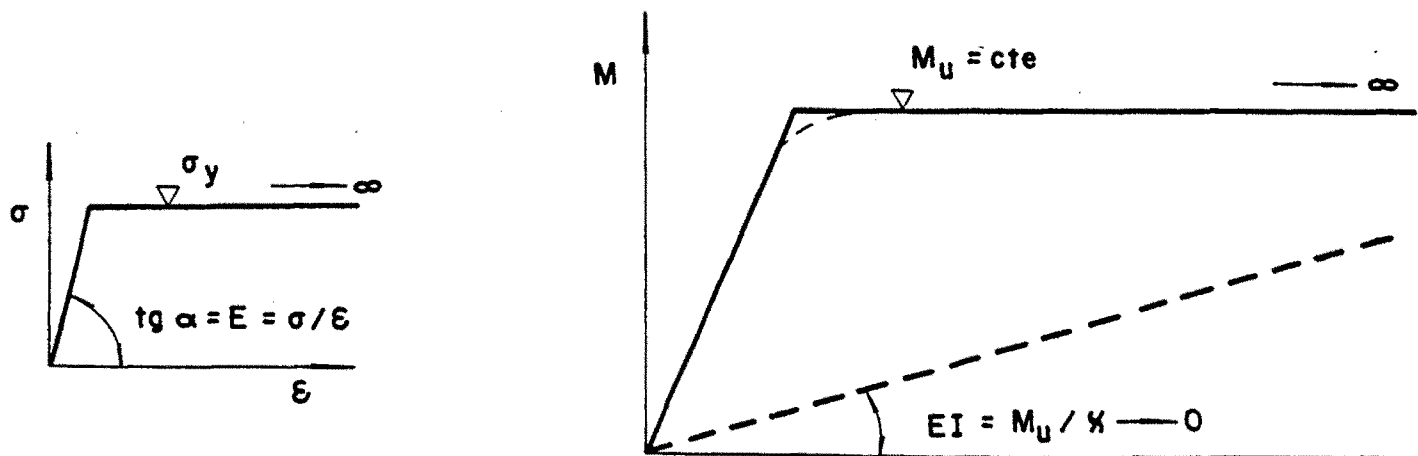
Dentro de la Mecánica del Sólido Deformable, el material más sencillo de utilizar es el sólido elástico y lineal. En virtud de las hipótesis de la Teoría de Resistencia de Materiales se puede establecer la relación entre el momento flector actuante en una sección de una pieza (por ejemplo una viga) y la curvatura en esa sección de la forma:

$$\frac{1}{R} = \chi = \frac{M}{EI} \quad (8.2)$$

Por tanto se puede dibujar un diagrama que relacione la curvatura χ y el Momento flector actuante que según la fórmula (8.2) será una línea recta como indica la figura 8.2a en la cual E es el módulo de elasticidad o de Young del material e I es el momento de inercia de la sección respecto a la fibra neutra, llamándose rigidez de la sección al valor:

$$\operatorname{tg}\beta = EI \quad (8.3)$$

Se plantea el problema de determinar la capacidad de agotamiento del material, y se considera como criterio de

*Figura 8.2. (a)*

ROTULA PLASTICA $M = M_u = cte$
 $EI = 0$

ROTURA : MECANISMO

Figura 8.2. (b)

rotura, el que al menos en una sección de la viga, el momento actuante M_i alcance el valor de la respuesta última. M_u , siendo este valor de M_u el necesario para que, en la fibra del material más solicitada, se alcance una tensión igual a la tensión de rotura del material.

Si el sólido considerado es un material elastoplástico perfecto, significa que hasta un determinado nivel de actuación del momento, su comportamiento es elástico como el caso descrito anteriormente, pero a partir de ese instante, manteniendo el mismo momento actuante la curvatura puede alcanzar cualquier valor, incluso "infinito" o al menos tan grande como se quiera. (Figura 8.2b).

Por tanto, el máximo valor del momento actuante M_u puede estar unido a una curvatura tan grande como se desee, de modo que su rigidez EI , en el límite, puede llegar a ser cero. Este concepto es el de rótula plástica, utilizado en Cálculo Plástico de Estructuras, en el que el criterio de rotura no se refiere a una sección sino al conjunto de la estructura, en la cual se considera rotura cuando el número de rótulas alcanzado convierten a ésta en un mecanismo.

Sobre ambos tipos de sólidos, además de la carga que proporciona el momento flector, puede actuar un gradiente térmico constante, lo cual supone una deformación impuesta, que

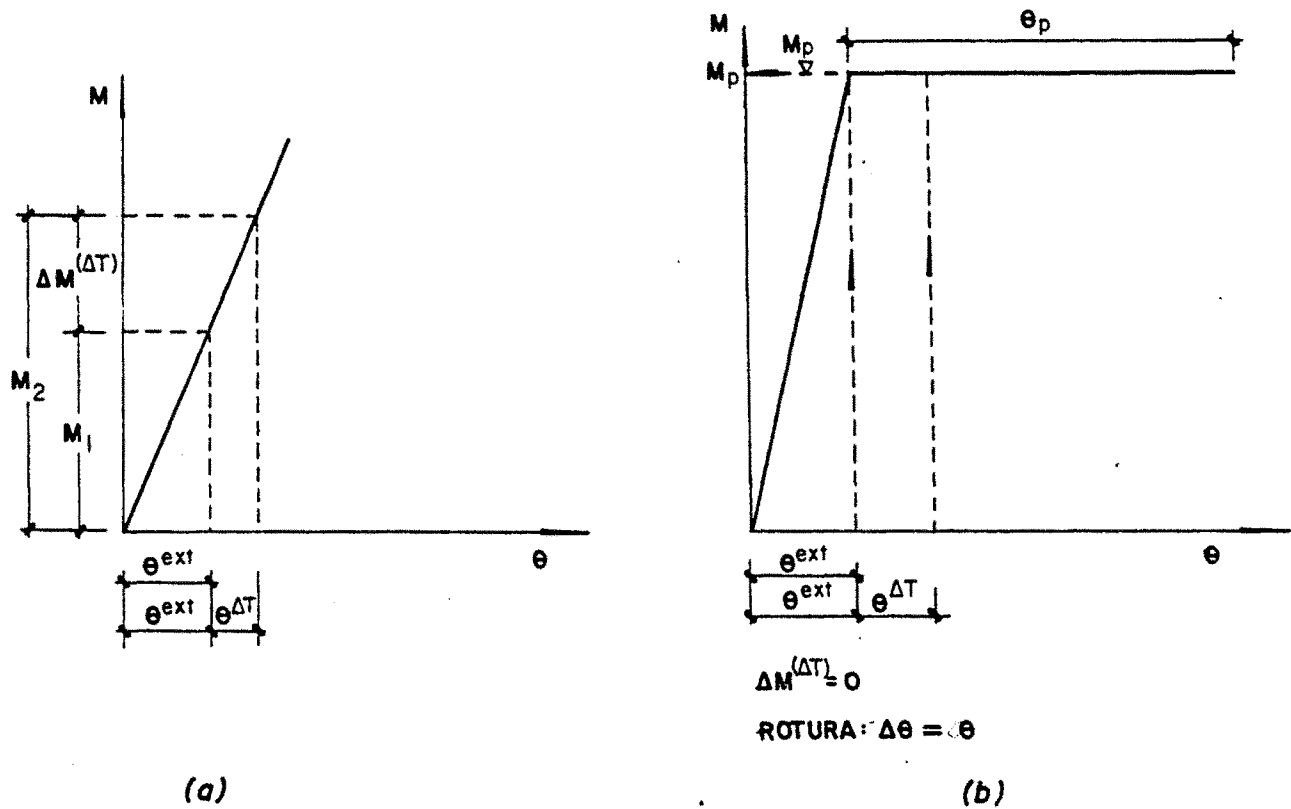
si la estructura es isostática no produce esfuerzo, pero, si es hiperestática producirá una distribución de momentos que se puede calcular mediante la teoría del Cálculo de Estructuras.

En vez del diagrama Momento-Curvatura, puede utilizarse el diagrama Momento-Giro correspondiente a una zona de la viga de longitud igual a un canto; admitiendo que la curvatura es uniforme en dicha zona, puede escribirse

$$\theta \approx x \cdot h \quad (8.4)$$

Por tanto, se utilizará indiferentemente el diagrama Momento-Curvatura o el diagrama Momento-Giro a lo largo de esta exposición ya que solo varía la constante de proporcionalidad.

Por tanto, si sobre el diagrama Momento-Giro del sólido elástico, se dibuja un estado cualquiera con un momento actuante M_1 y su correspondiente giro, y a éste, se le suma el giro que producen los momentos de continuidad debido a la coacción que presenta la estructura hiperestática a deformarse bajo la acción de un gradiente térmico lineal, resultará un nuevo valor del momento M_2 (figura 8.3a) mayor que M_1 y cuya diferencia es el momento hiperestático debido al gradiente térmico.



Si el sólido considerado es el sólido elastoplástico y el momento actuante debido a la sobrecarga es el momento de rotura, cualquier nueva deformación impuesta se sumará a la existente (figura 7.3b) pero no producirá nuevos esfuerzos en la sección a estudio aunque sí puede producirlas en el resto de la estructura y por tanto el momento hiperestático debido a gradiente térmico es nulo y no se produce rotura, si no se llega a la máxima capacidad de giro.

En el caso del hormigón armado, ninguno de sus materiales tiene leyes de comportamiento que puedan responder a los modelos anteriores. Por tanto será preciso definir en

primer lugar unos diagramas de comportamiento de los materiales constituyentes del hormigón armado o pretensado (figura 8.4).

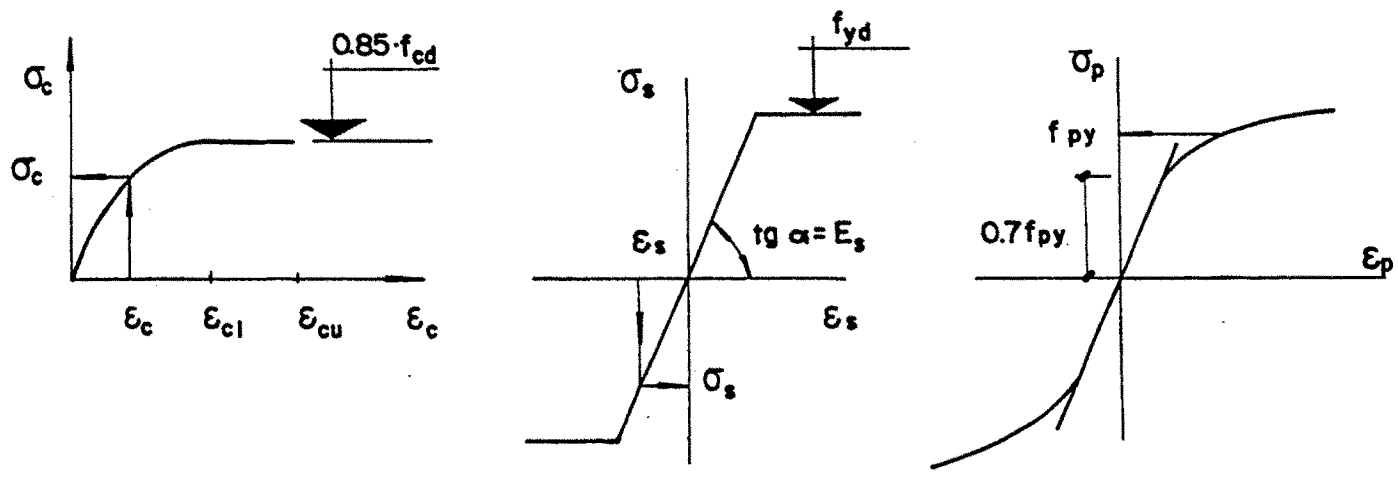


Figura 8.4.

Las normativas nacionales e internacionales (2), (3), (4) han fijado ya estos diagramas de comportamiento y cuales son los criterios de rotura para cada material, dependiendo del tipo de solicitud a que está sometido.

Suponiendo la validez de la hipótesis de Navier-Bernoulli de planeidad de las secciones una vez deformadas, se ponen las condiciones de compatibilidad y equilibrio a nivel de cada sección de manera que se pueda definir el diagrama que relaciona el momento actuante M y la curvatura asociada χ figura 7.5. Este diagrama se debe obtener por puntos y para cada estado de carga nos define la rigidez de la sección EI como el cociente entre el momento flector y la curvatura. En la figura 8.5 se puede observar la gama tan amplia del valor de la rigidez de la sección.

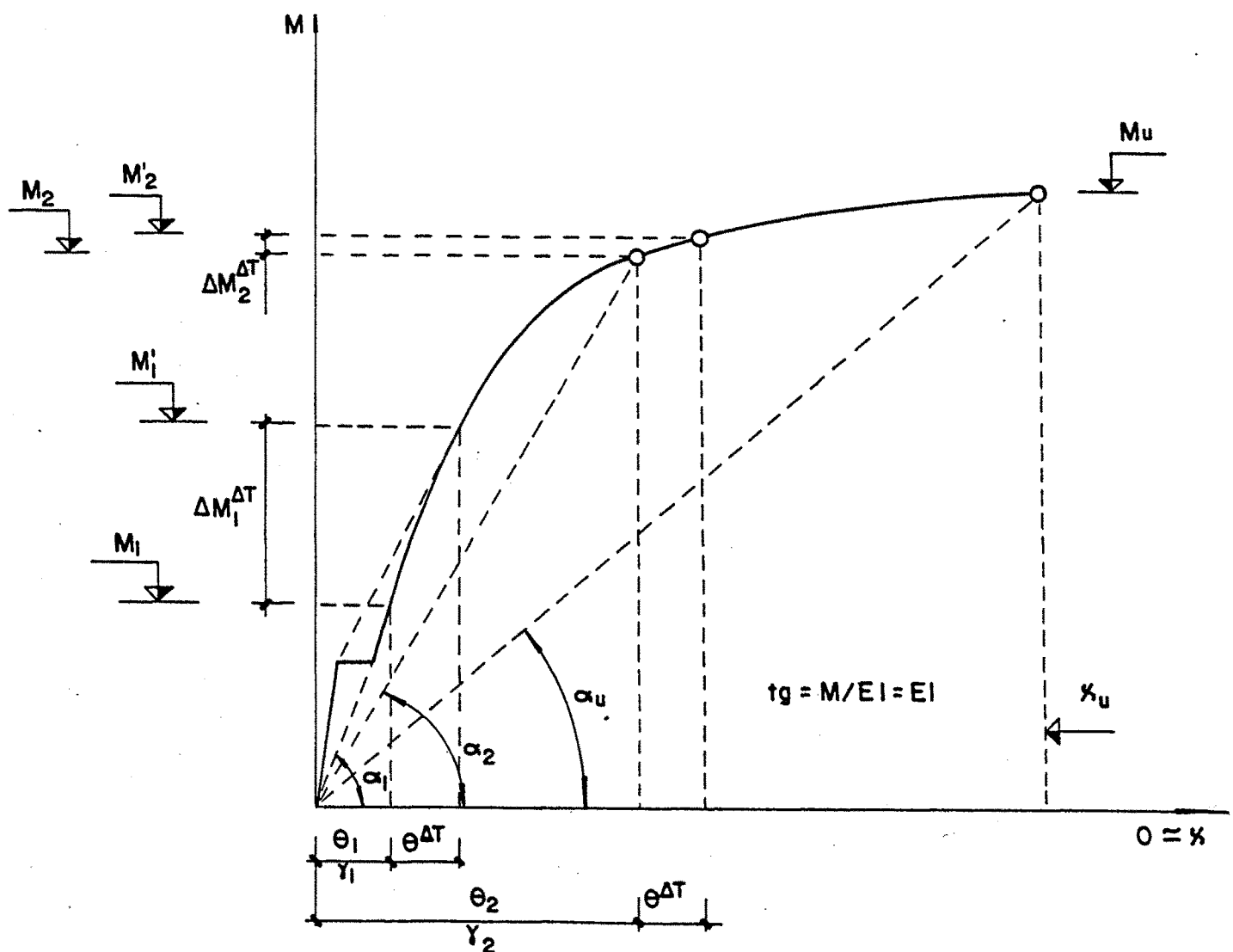


Figura 8.5.

Los materiales constituyentes del hormigón armado o pretensado tienen unos límites en su resistencia y no permite una variación grande en la curvatura de la sección, y por tanto existirá una pareja de valores (x_u, M_u) que indicarán la rotura de la sección.

Se supondrá la sección de la pieza cuyo diagrama momentos-curvatura se representa en la figura 8.5. La pieza se sume sometida a un estado de cargas γ_1 ($G+Q$) tal que en la sección considerada produce un momento flector M_1 y lleva asociado un giro θ_1 . Sea $\theta^{\Delta T}$ el giro debido a los esfuerzos hiperestáticos que aparecen en la sección para compatibilizar, a nivel de estructura las deformaciones originadas por el gradiente térmico que sumado al valor θ_1 se obtiene el valor del momento total M'_1 por tanto el momento hiperestático debido a gradiente térmico será:

$$\Delta M_1^{\Delta T} = M'_1 - M_1 \quad (8.5)$$

Repitiendo el proceso para un estado de carga γ_2 ($G+Q$) tal que $\gamma_2 > \gamma_1$ se obtiene el valor del nuevo momento hiperestático debido al gradiente térmico que será:

$$\Delta M_2^{\Delta T} = M'_2 - M_2 \quad (8.6)$$

De la propia figura (8.5) se deduce, además

$$\gamma_1 < \gamma_2 \rightarrow \Delta M_1^{\Delta T} > \Delta M_2^{\Delta T} \quad (8.7)$$

Es decir, que para niveles de carga de la estructura más elevados, el momento hiperestático de gradiente térmico, y por tanto, el efecto del gradiente térmico es más pequeño.

Por tanto, las conclusiones que se pueden deducir de esta figura es que el efecto del gradiente térmico constante sobre la estructura medido por el valor del momento hiperestático que produce depende de:

- El nivel de carga de la estructura.
- El valor del gradiente térmico y del giro $\theta^{\Delta T}$ que produce, que a su vez dependerá de las propiedades térmicas del material (coeficiente de dilatación...) de la geometría de la pieza (canto, longitud...).
- De la forma del diagrama de momento-curvatura que dependerá de la geometría de la sección y del armado de la misma.

En el apartado 8.4 se explican algunos ejemplos estudiados por Aparicio (1) en que se cuantifican estos valores.

8.2.3. INFLUENCIA DE UN ESTADO DE AUTOTENSION DEBIDO A CARGAS TERMICAS EN LA RESPUESTA ULTIMA DEL PUENTE

En el apartado anterior se ha indicado la importancia que tiene la forma del diagrama momentos-curvatura en el valor del momento hiperestático debido a un gradiente térmico.

A continuación se describe como puede afectar el estado de autotensión térmico en la forma del diagrama de curvaturas.

El estado de autotensión se caracteriza por una total ausencia de deformaciones pero con una distribución de tensiones en la sección tal que la suma algebráica de tensiones es nula, así como el momento de todas las tensiones respecto a cualquier punto.

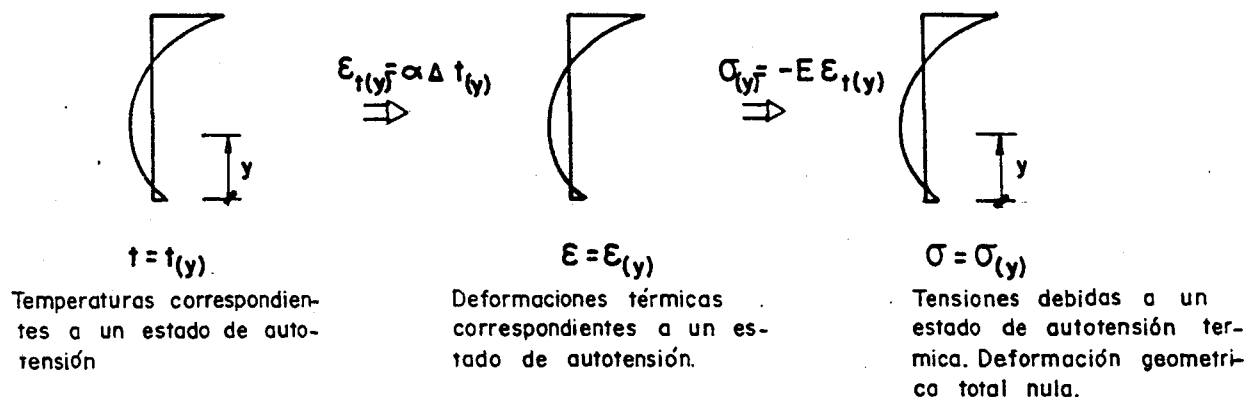


Figura 8.6.

En el apartado dedicado a termoelasticidad se indica que la deformada total o geométrica ϵ_G es la suma algebráica de la deformada térmica ϵ_T y de las deformaciones elásticas. Esto se puede aplicar a las fibras longitudinales que forman el tablero del puente

$$\epsilon_G = \epsilon_T + \epsilon_\sigma \quad (8.8)$$

ϵ_G = deformada geométrica, en el caso de autotensión nula

ϵ_T = $\alpha \Delta T$, deformada térmica

ϵ_σ = deformada tensional

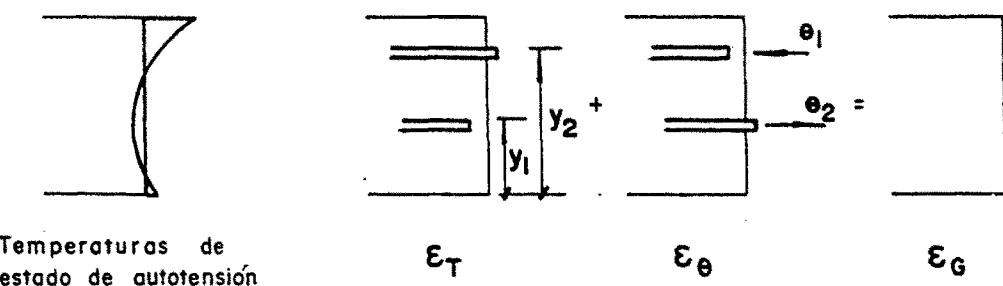


Figura 8.7.

De la expresión (8.8) se puede deducir

$$\epsilon_\sigma(y) = \epsilon_G(y) - \epsilon_T(y) \quad (8.9)$$

Por tanto, se tiene el valor de la deformada tensional en cualquier punto de la sección, en la cual poniendo la condición de autotensión ($\epsilon_G = 0$) se deducen las expresiones:

$$\epsilon_\sigma(y) = -\epsilon_T(y) \quad (8.10)$$

$$\sigma(y) = E \epsilon_\sigma(y) \quad (8.11)$$

$$\sigma(y) = -E \epsilon_T(y) \quad (8.12)$$

La expresión (8.12) es la utilizada para obtener los diagramas de la figura 8.6.

En el anterior apartado de este capítulo se indica la forma de obtener el diagrama Momento-curvatura de cualquier sección, a partir de las leyes constitutivas de los materiales y de la definición de los estados límites de agotamiento, definidas estas en la propia Instrucción (Artículo 47.3 de la Instrucción EP-77) (figura 8.8).

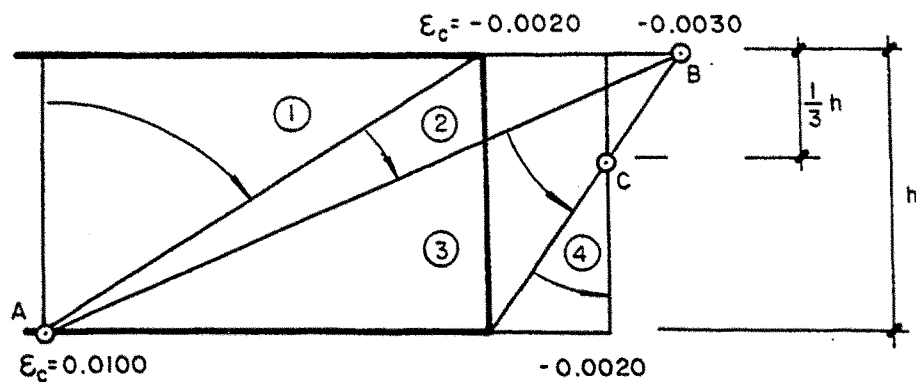


Figura 8.8.

En el diagrama de dominios de deformación de las secciones de hormigón se determina cual es la deformación de cualquier fibra de la sección, y a partir de ella, con los diagramas de las leyes constitutivas de los materiales, sacar las deformaciones correspondientes, sin embargo no es correcto en un caso de autotensión ya que el diagrama de dominios parte de una deformación inicial nula de cada fibra y sin embargo las fibras están predeformadas o pretensionadas, y por tanto las deformaciones que se leen en un diagrama de dominios son deformaciones geométricas ϵ_G y no deformaciones tensionales, y por tanto para poder utilizar los diagramas de las leyes constitutivas de los materiales se deben modificar.

car éstas de la forma

$$\epsilon_G = \epsilon_\sigma + \epsilon_T \quad (8.13)$$

La idea es la misma que la traslación del origen de tensiones en el caso del hormigón pretensado respecto del hormigón armado. En este caso se tratará de una traslación del origen de deformaciones en las leyes constitutivas de los materiales de valor ϵ_T como en el caso de la figura 8.9.

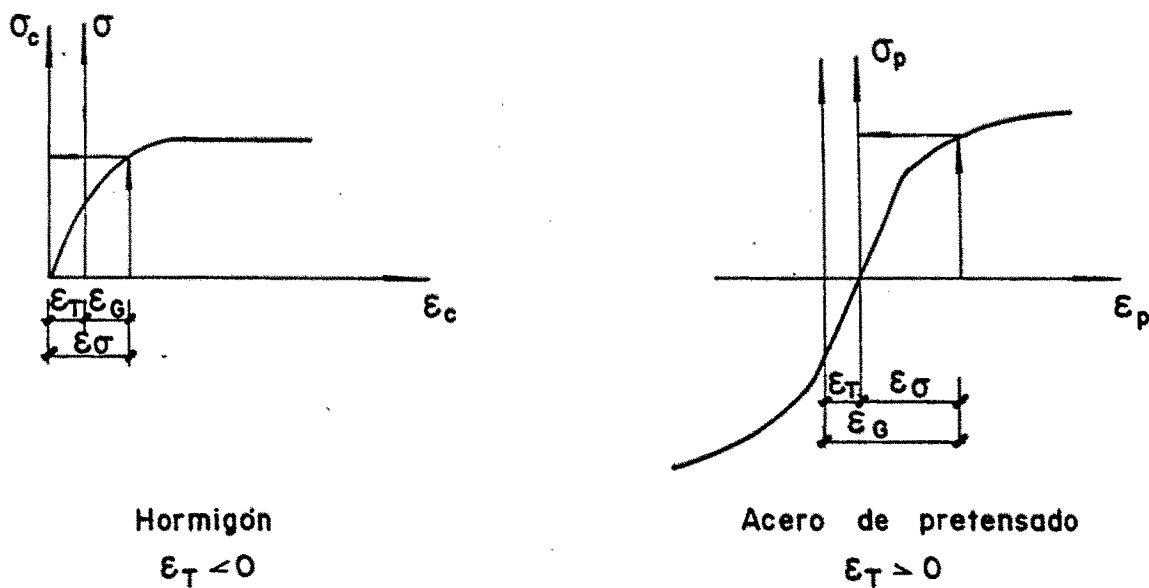


Figura 8.9.

Nótese que esta traslación $\epsilon_T(y)$ del origen de deformaciones es diferente para cada fibra, ya que depende de la cota "y" a la que esté la fibra de que se trate.

Por tanto, si se mantiene el diagrama de dominios que nos d α la curvatura χ , debe cambiarse los diagramas de las leyes constitutivas y por tanto, cambian las tensiones asociadas a las deformaciones, y por tanto, tambi \acute{e} n cambian la resultante N y el momento M debido a las tensiones y l $\acute{o$ gicamente el diagrama Momento- Curvatura ser \acute{a} diferente.

El proceso de c \acute{a} lculo precisa un tratamiento con ordenador pero su implantaci $\acute{o$ n es sencilla ya que el dato de las temperaturas existentes es siempre conocido, o puede llegar a definirse un estado t \acute{e} r \acute{m} ico de c \acute{a} lculo.

Por tanto, cuando se efect \acute{u} e el c \acute{a} lculo no lineal de un puente, en el cual se introduzca como estado de carga una distribuci $\acute{o$ n de temperaturas que pueda dar lugar a un estado de autotensi $\acute{o$ n t \acute{e} r \acute{m} ico, se deben modificar los diagramas momentos curvatura para un c \acute{a} lculo correcto.

8.3. ESTADOS LIMITES DE UTILIZACION

8.3.1. INTRODUCCION

La "Instrucción para el proyecto y obras de hormigón pretensado" EP-77, define tres tipos de estados límites de utilización en función de razones funcionales, de durabilidad y de estética.

Las razones de estética las deja la Instrucción a criterio del proyectista, y están referidas a los otros dos casos. Las razones funcionales se refieren a la limitación de deformaciones y vibraciones fundamentalmente.

Tienen una mayor importancia para la presente tesis las razones de durabilidad relacionadas con el comportamiento de la estructura frente a la fisuración. Los estados límites correspondientes a estas razones de durabilidad son (Artículo 40.3 de la Instrucción EP-77).

-Estado límite de descompresión.

-Estado límite de aparición de fisuras, caracterizado por el hecho de alcanzar la deformación de rotura por tracción del hormigón en una de las fibras extremas de una sección.

-Estado límite de fisuración controlada, caracterizada por el hecho de que la abertura máxima de las fisuras de una pieza alcance un determinado valor límite, función de las condiciones ambientales en que tal pieza se encuentre.

La protección frente a la fisuración da lugar a una clasicación de las estructuras pretensadas en tres clases: Clase I en la cual no aparecen fisuras en ningún estado de carga, Clase II en la que se acepta una probabilidad reducida de aparición de fisuras y clase III en que es admisible la aparición de fisuras en la estructura.

En España y prácticamente en todo el mundo, los puentes pretensados se suelen calcular en Clase I por criterios de conservación y durabilidad, sin embargo, en inspecciones de puentes calculados en Clase I se han observado aparición de fisuras, que un estudio cuidadoso del problema ha detectado que tienen su origen en cargas térmicas no consideradas en el proyecto.

8.3.2. ESFUERZOS TERMICOS EN SERVICIO

Las referencias sobre averías o fisuras en puentes cuya causa después de un atento estudio puede imputarse a cargas térmicas pueden clasificarse de dos formas:

-Fisuras transversales al puente.

-Fisuras longitudinales, detectadas fundamentalmente en puentes de sección cajón.

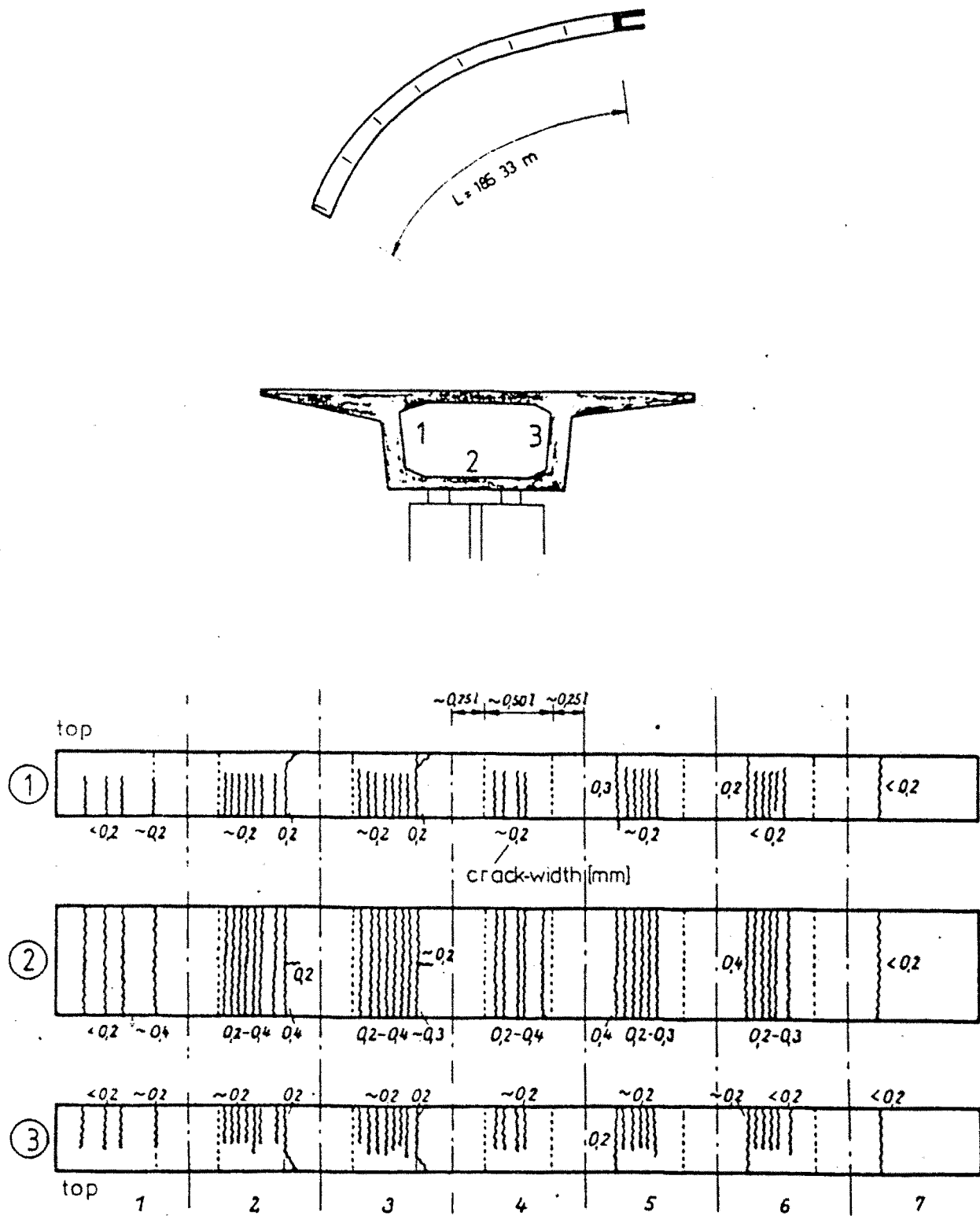
Como ejemplo de fisuras transversales, se indica la referencia de Zichner (9) en la cual un puente de sección cajón de 7 vanos (figura 8.10) se encuentra en su interior con una serie de fisuras transversales en el forjado interior que se prolongan por las almas hasta media altura, situadas en centro de los vanos, ocupando aproximadamente la mitad de su longitud.

Priestley (8) también indica la formación de grietas en el intrados del tablero bajo la acción de cargas térmicas.

Relativas a las grietas longitudinales, existen numerosas referencias y todas ellas se refieren a fisuras en el alma de secciones cajón, bien en su parte superior o en su parte inferior.

El CEB (Comité europeo del hormigón) (5) hace referencia a este tipo de fisuras similares a las indicadas en la figura (8.11).

Leonhardt, Kolbe y Peter (7) estudian también un puente de sección cajón con almas de 75 cm y el pretensado concentrado en una sola vaina con graves problemas debido a una grieta longitudinal en la parte superior del alma.



Cracks in a multi-span box-girder bridge

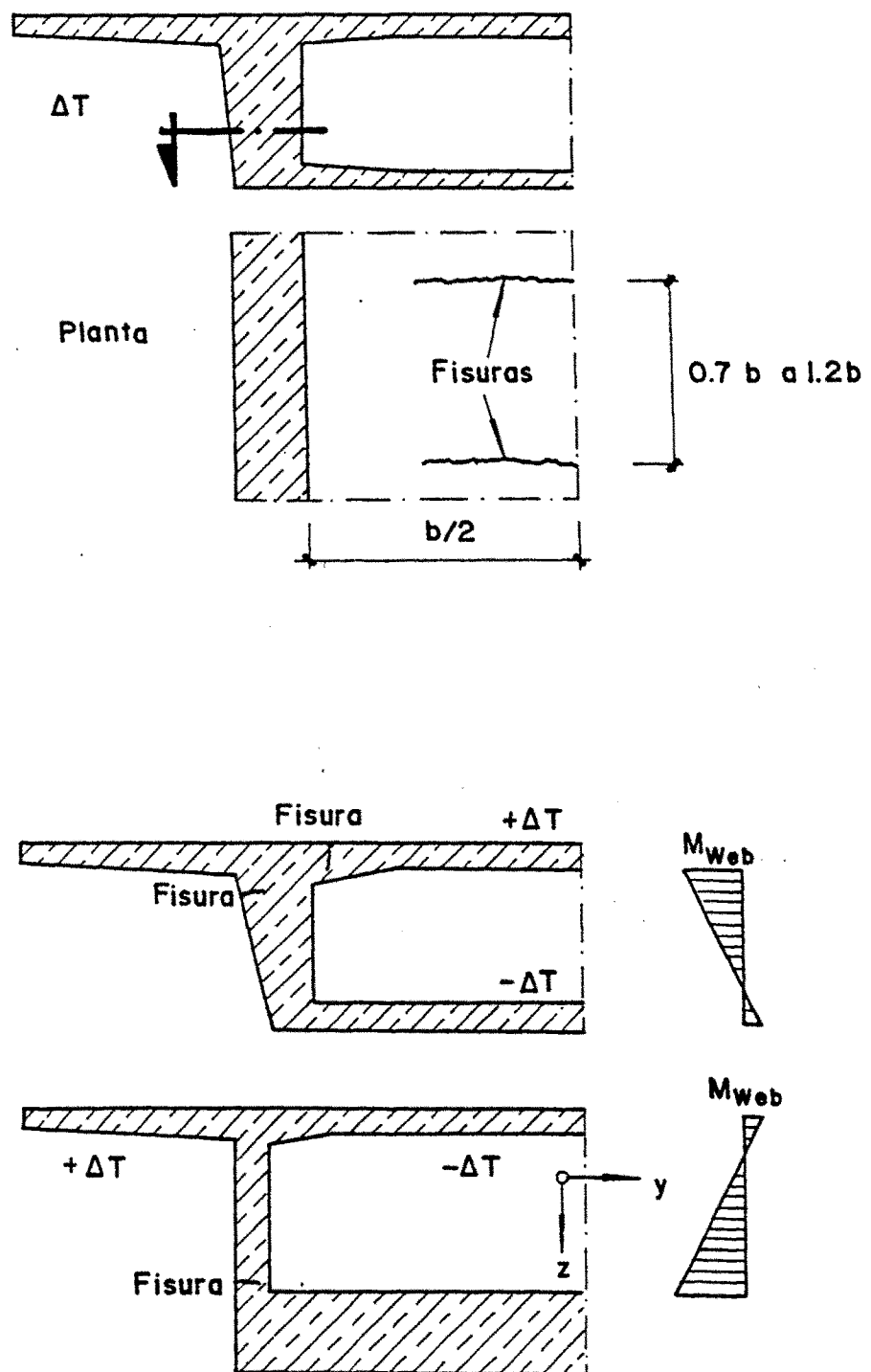
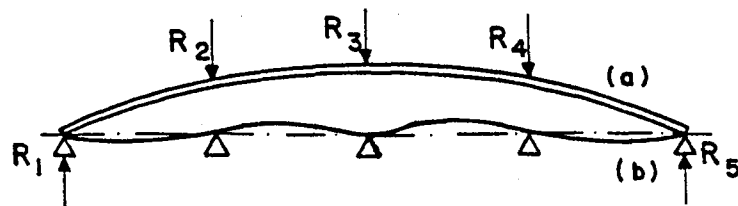
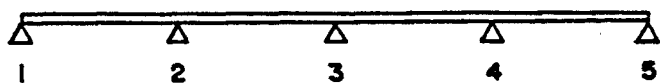
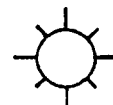
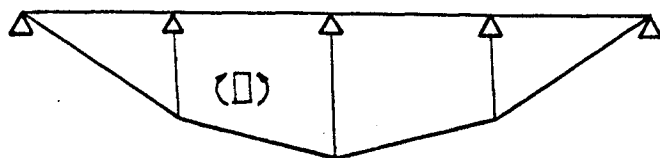


Figura 8. II.

Leonhardt (6) estudia también otro caso de otro puente cajón del cual se tiene además mediciones de temperatura.

A continuación se estudian las causas de estos dos tipos de grietas debidas a cargas térmicas y se valorarán éstas, para evitar los posibles perjuicios.

Supongamos que tenemos un dintel continuo de un puente, por ejemplo con cinco apoyos. Se encuentra sometido a las condiciones ambientales, y el caldeamiento produce una diferencia de temperaturas entre la parte superior y la inferior que obliga al puente a curvarse hacia arriba apoyándose solamente en los apoyos extremos

(a) Deformada térmica (ΔT)(b) Deformada real ($PP + SC + \Delta T$)

Ley de momentos flectores

Figura 8.12.

No obstante el puente está sometido además de la carga térmica a su peso y a la posible sobrecarga, de manera que no podrá despegarse de los apoyos, pero sí que existirán las reacciones R_1, R_2, R_3, R_4 y R_5 , cuya suma algebraica será nula y que descargaran las reacciones de los apoyos intermedios, sobrecargando los apoyos extremos y produciendo la ley de momentos flectores que se indica en la figura 8.12.

La ley de momentos flectores de la figura 8.12 debida a carga térmica puede ser del mismo orden de magnitud que las leyes de flectores de peso propio y sobrecarga, según se verá en los ejemplos del capítulo 8.4, por lo que, si no se cuantifican y determinan de forma cuidadosa pueden dar lugar a los problemas indicados anteriormente.

En el ejemplo de la figura 8.12 se considera únicamente el caso de gradiente positivo (mayor temperatura en superficie o pavimento que en intradós), pero no debe olvidarse del gradiente negativo que se produce en las noches claras y despejadas. En este caso la zona peligrosa es la parte superior de tablero sobre los apoyos, aunque no hay referencias de fisuras con esta localización ya que se encontrarán tapadas por el pavimento y la suciedad.

Las grietas horizontales que se muestran en la figura 8.11 son debidas al gradiente de temperaturas que se producen en las almas de los puentes con tablero de sección cajón debidas a las

condiciones atmosféricas (temperatura ambiente y radiación fundamentalmente).

Esta distribución de temperaturas en el alma no es lineal sino que sigue una distribución próxima a la indicada en la figura 7.89. Esta distribución de temperaturas se puede descomponer en tres distribuciones al igual que como se hizo en el capítulo 2.3 con el estado de autotensión de la sección:

- Una distribución uniforme que supone alargamiento o acortamiento del alma en sentido vertical (el alargamiento en sentido horizontal se considera conjuntamente con toda la sección).
- Una distribución lineal de temperatura que supone un giro impuesto a la sección de eje paralelo al eje longitudinal del puente.
- Un estado de autotensión térmica sin deformación.

El caso de distribución uniforme y del alargamiento vertical del alma apenas produce tensiones ya que el marco de la sección cajón se calienta con unos valores de rango parecido, y la propia flexibilidad del marco podría absorber los esfuerzos.

El estado de autotensión produce esfuerzos de valores peque
ños, y no se considera.

Si que es importante el caso de distribución lineal de tem-
peraturas ya que produce giros impuestos que obliga a la apari-
ción de una distribución de momentos según se indica en la figu-
ra 8.13.

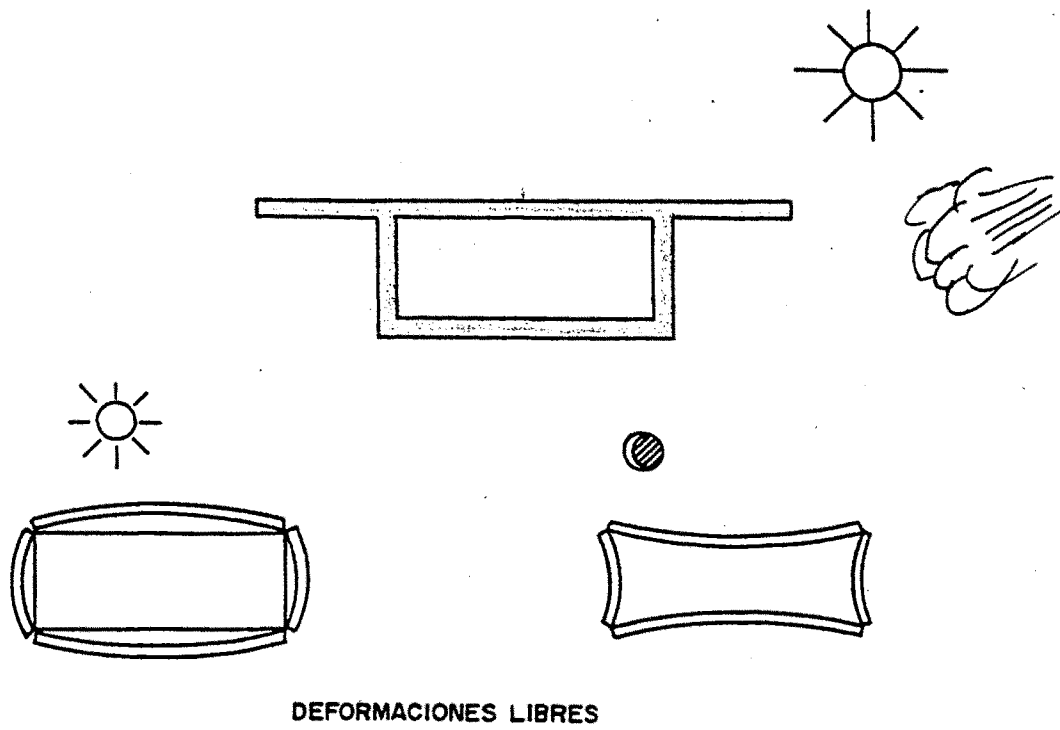


Figura 8.13

El valor de la distribución total de temperaturas así como la distribución lineal de temperaturas dependen de las condiciones ambientales de contorno, y el giro impuesto dependerá además de la geometría por lo que no se puede tomar un valor del giro para todos los casos. El valor del momento de compatibilidad actuante dependerá de la rigidez de la estructura por lo que no es posible dar un valor del mismo.

Sin embargo, el estado térmico introducido es de gradiente constante, por lo que faltaría considerar un caso de campo térmico real con la definición de los diagramas propuestos en esta tesis de Momento-Curvatura y estudiar su influencia en condiciones de servicio ($\gamma = 1$) y en las proximidades de la rotura.

8.4. EJEMPLOS

Aparicio (1) en su tesis doctoral "Estudio de la evolución hasta la rotura por solicitudes normales de tableros continuos de puente de hormigón armado o pretensado", obtuvo la influencia que supone un gradiente térmico constante en un tablero de puente cuando se llega a la rotura por incremento sucesivo de la sobrecarga.

La conclusión fué, que para valores pequeños de la sobrecarga su influencia es notable, pero según se aumenta ésta en la relación γ , su importancia decrece paulatinamente hasta llegar a la rotura, debido al cálculo "exacto" no lineal.

Como ejemplo, obtenido de la propia tesis de Aparicio en el puente del Eje Cuzco-Barajas con un tablero formado por un cajón tricelular de tres vanos de 43,00+48,00+43,00 metros de luz y 1,70 de canto, la fisuración en la sección central con gradiente térmico aparece para un valor de multiplicación de la carga de $\gamma = 1$ mientras que para el caso de efectuar la carga únicamente aparece para $\gamma = 1,5$ (figura 8.14).

Otro puente estudiado por Aparicio en la tesis mencionada es el paso superior sobre la Autopista de los Pirineos en la Actuación Urbanística del polígono "Puente de Santiago" en Zaragoza.

Se trata de un paso superior de 30,00+51,00+30,00 m y 33,00 m de ancho con una sección transversal tricelular de canto variable desde 1,20 m a 2,50 m (figura 8.15).

El resumen del estudio de ambos puentes, relativo a estudio térmico-tensional obtenido de la propia tesis se puede comparar en la siguiente tabla:

TABLA 8.1.

ACCION	PUENTE DEL EJE	PTE. P.S.A. PIRINEOS
Momento en centro de vano central (2-6) debido a gradiente térmico constante en régimen elástico.	$M_1 = 747$ m.Ton.	$M_1 = 596$ m.T
Momento en (2-6) debido a sobrecarga característica en régimen elástico $\gamma = 1$	$M_2 = 1446$ m.T	$M_2 = 1294$ m.T
M_1/M_2	0,52	0,46
Momento en (2-6) debido a gradiente térmico constante en proximidades de rotura (Hipótesis #4. Hipótesis #1)	$\gamma=5 \rightarrow M_3 = 57$ m.T $\gamma=3 \rightarrow M_3 = 71$ m.T	
M_3/M_1	0,076	0,12

Por tanto, en ambos casos se comprueba que el momento en centro de puente debido a un gradiente térmico constante puede tener valores próximos al 50% del momento debido a la sobrecarga característica, mientras que si el estudio se hace en las proximidades de la rotura del puente, el valor del momento imputable al gradiente térmico es aproximadamente un 10% del valor del mismo momento en régimen elástico.

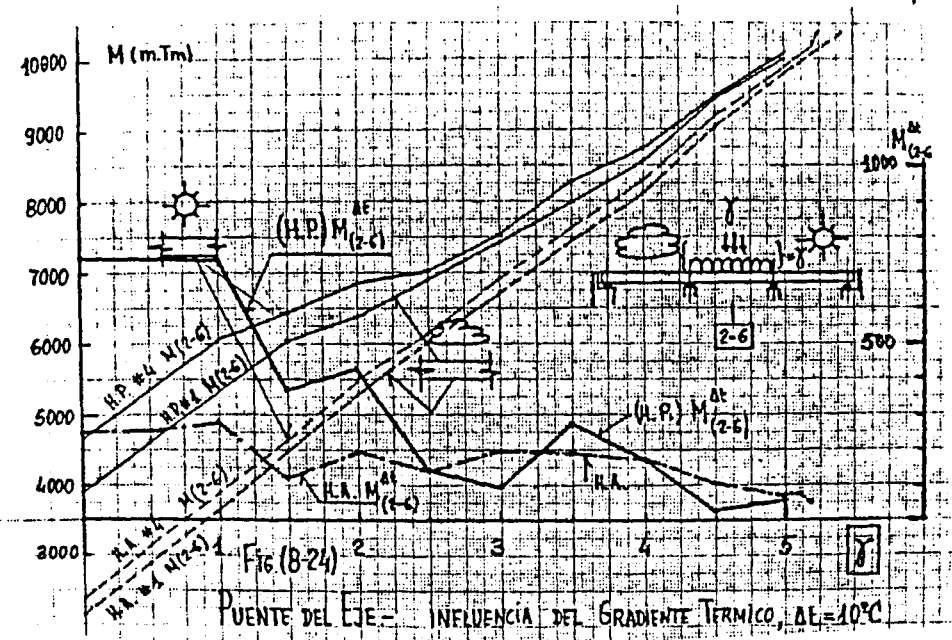


Figura 8.14.

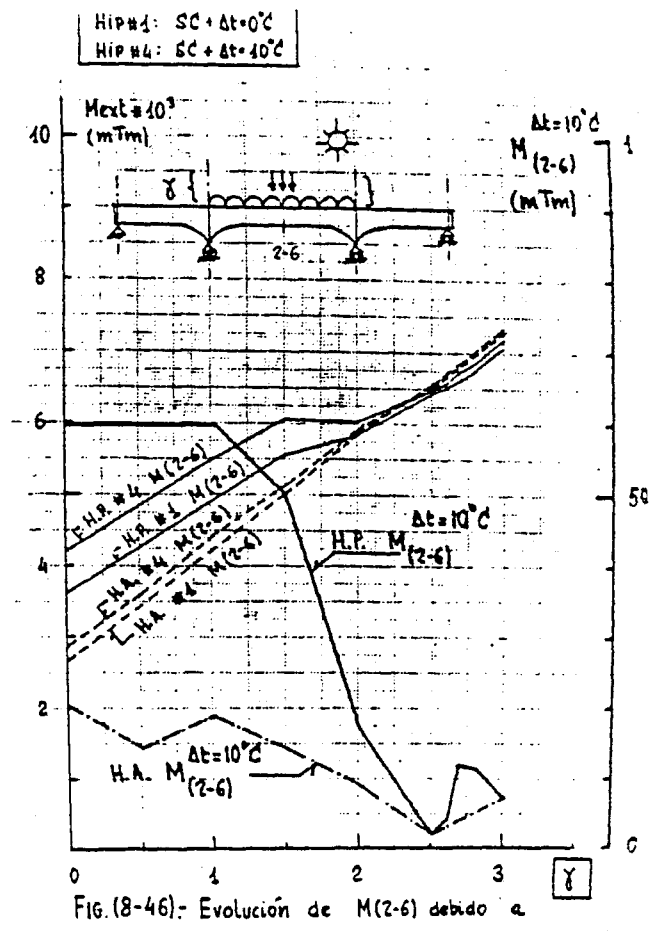
FIG.(8-46)- Evolución de $M(2-6)$ debido a $\Delta t = 10^\circ\text{C}$, con γ .

Figura 8.15.

Sin embargo, el estado térmico introducido es de gradiente constante, por lo que faltaría considerar un caso de campo térmico real con la definición de los diagramas de Momento-Curvatura propuestos en esta tesis y estudiar su influencia en condiciones de servicio ($\gamma = 1$) y en las proximidades de la rotura.

C A P I T U L O V I I I

REFERENCIAS BIBLIOGRAFICAS

- (1) APARICIO, A.C. Estudio de la evolución hasta la rotura, por solicitudes normales, de tableros continuos de puente de hormigón armado o pretensado. Tesis doctoral. Universidad de Santander. E.T.S. de Ingenieros de Caminos. 1980.
- (2) COMISION PERMANENTE DEL HORMIGON. Instrucción para el proyecto y la ejecución de obras de hormigón en masa o armado EH-82. MOPU. 1980.
- (3) COMISION PERMANENTE DEL HORMIGON. Instrucción para el proyecto y la ejecución de obras de hormigón pretensado. EP-77. MOPU. 1977.
- (4) CEB-FIP. Código Modelo CEB-FIP para las estructuras de hormigón.
- (5) COMITE EURO-INTERNACIONAL DU BETON (CEB). Bulletin d'information N°167. Contribution a la 24º Session Pléniere du CEB. "Thermal effects in concrete structures". Enero, 1985.
- (6) LEONHARDT, F. Vorlesungen über Massivbau. Tomo 6. Ed. Springer Verlag 1979.
- (7) LEONHARDT, F.; KOLBE, G.; PETER, J. Temperaturunterschiede gefährden Spannbetonbrücke. (Temperature differences endanger prestressed concrete bridges). Beton- und Stahlbetonbau. Vol.60, N°7 pp. 231-244. Julio 1965.
- (8) PRIESTLEY, M.J.N. Design of concrete bridges for temperature gradients. Journal of the American Concrete Institute. (U.S.) Proceedings Vol.75, n°5, pp. 209-217. Mayo, 1978.

- (9) ZICHNER, T. Thermal effects on concrete bridges. CEB. Bulletin d'Information n°154. Therme 4. Thermal Effects. Abril, 1982.

C A P I T U L O IX

DESCRIPCION DEL PROGRAMA DE ORDENADOR
BRIDGE

9.1. DESCRIPCION DEL PROGRAMA DE ORDENADOR BRIDGE

9.1.1. OBJETO

El programa de ordenador BRIDGE tiene por objeto el cálculo de temperaturas en un puente tanto de tipo losa como de sección cajón, a partir de las condiciones atmosféricas exterieores.

El cálculo de las temperaturas en el puente se efectúa por medio de la técnica de las diferencias finitas y el flujo de calor se supone unidimensional vertical resolviéndose las ecuaciones diferenciales por el método explícito.

9.1.2. ESTUDIO MATEMATICO DE LA ECUACION DE CALOR EN UNA DIMENSION

La expresión de la ecuación de transmisión de calor en una dimensión, según se explico en el capítulo 2.2 es:

$$\frac{\partial^2 t}{\partial x^2} = \frac{\rho C}{k} \frac{\partial t}{\partial \tau} \quad (9.1)$$

t = temperatura (K)

k = conductividad térmica (W/mk)

ρ = densidad (Kg/m^3)

C = calor específico ($\text{J}/\text{Kg}.\text{k}$)

α = $K/(\rho c)$ difusividad (m^2/seg)

τ = tiempo

x = coordenada

Esta ecuación diferencial se tratará de resolver por medio de diferencias finitas según el esquema lineal de la figura 9.1.

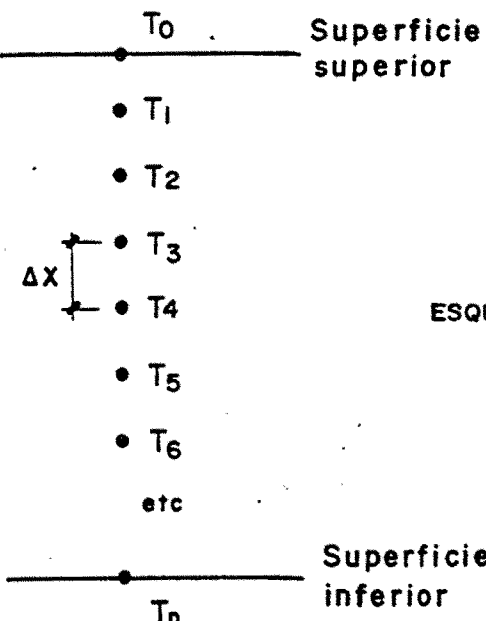


Figura 9.1.

De esta forma se supone dividida la losa en una serie de capas iguales $1, 2, \dots, i-1, i, i+1, \dots, N$, de espesor Δx , en cuyos extremos se deberán imponer las condiciones de contorno, referentes en la presente tesis a las condiciones de radiación solar y temperatura ambiente, y se efectúa el cálculo para cada paso de tiempo.

El esquema matemático seguido es un esquema explícito de manera que se puedan obtener directamente las temperaturas en cada caso en función de las contiguas.

De la ecuación (9.1) se puede obtener:

$$\frac{\partial}{\partial x} \left(\frac{\partial T}{\partial x} \right) = \frac{1}{\alpha} \frac{\partial T}{\partial \tau} \quad (9.2)$$

$$\left(\frac{T_{i-1} - T_i}{(\Delta x)^2} - \frac{T_i - T_{i+1}}{(\Delta x)^2} \right) = \frac{T'_i - T_i}{\alpha \Delta \tau} \quad (9.3)$$

En la cual T'_i es la temperatura en i al final de Δt .

Finalmente se obtiene:

$$\left(\frac{T_{i-1} - 2T_i + T_{i+1}}{(\Delta x)^2} \right) = \frac{T'_i - T_i}{\alpha \Delta \tau} \quad (9.4)$$

o bien:

$$T'_i = \alpha \frac{\Delta \tau}{\Delta x^2} (T_{i-1} - 2T_i + T_{i+1}) + T_i \quad (9.5)$$

Esta ecuación en diferencias es estable si se cumple que:

$$\alpha \frac{\Delta \tau}{\Delta x^2} \leq \frac{1}{2} \quad (9.6)$$

Por tanto con la expresión (9.5) se puede obtener directamente la temperatura en el punto i en función de las existentes en el instante anterior en los puntos $(i-1)$, i , $(i+1)$.

Por tanto, la ecuación (9.5) no es válida en los extremos ($i = 1$, $i = N$) en que se deberán introducir las condiciones de contorno.

9.1.2.1. CONDICION DE RADIACION SOLAR

Se plantea el balance calorífico en el contorno en forma de ecuación: Calor ganado por radiación es igual al flujo de calor con el exterior más el calor conducido al interior de la sección:

$$\varepsilon I = h_{cs} (T_i - T_a) + k \frac{(T_{i-1} - T_{i+1})}{2 \Delta x} \quad (9.7)$$

ε = absorbtividad de la superficie o emisividad.

I = intensidad de radiación solar instantánea.

h_{cs} = coeficiente de transmisión de calor conjunto de radiación y convección.

T_a = temperatura ambiente.

Sustituyendo T_{i-1} de la ecuación (9.7) en la ecuación (9.5) y sustituyendo "i" por "o" se obtiene la expresión:

$$T'_o = \alpha \frac{\Delta T}{\Delta x^2} \left\{ \left(-2 - \frac{2\Delta x}{k} h_{cs} \right) T_1 + 2T_2 + \frac{2\Delta x}{k} h_{cs} T_a + \frac{2\Delta x}{k} \epsilon I \right\} + T_1 \quad (9.8)$$

haciendo

$$\alpha_1 = \left(-2 - \frac{2\Delta x}{k} h_{cs} \right) \quad (9.9a)$$

$$\beta_1 = \frac{2\Delta x h_{cs}}{k} \quad (9.9b)$$

$$\gamma = \frac{2\Delta x I}{k} \quad (9.9c)$$

se obtiene:

$$T'_o = \alpha \frac{\Delta T}{\Delta x^2} (\alpha_1 T_1 + 2T_2 + \beta_1 T_a + \gamma) + T_1 \quad (9.10)$$

9.1.2.2. CONDICION DE IRRADIACION NOCTURNA

Se plantea la ecuación de balance de calor que existe en la superficie superior del tablero, de la forma: Calor emitido de la superficie superior del tablero hacia el cielo es igual al calor ganado en superficie por convección más el calor conducido al interior

$$\epsilon \theta = h_c (T_i - T_a) + k \frac{(\theta_{i-1} - \theta_{i+1})}{2\Delta x} \quad (9.11)$$

ϵ = coeficiente de emisión de la superficie

θ = pérdida de calor por radiación

Efectuando las mismas sustituciones que en el caso anterior, se obtiene:

$$T'_o = \alpha \frac{\Delta\tau}{\Delta x} (\alpha_1 + 2T_2 + \beta_1 T_a + \delta) + T_1 \quad (9.12)$$

donde α_1 y β_1 tienen el significado anterior y:

$$\delta = \frac{2\Delta x \epsilon \theta}{k} \quad (9.13)$$

9.1.2.3. CONDICIONES EN BORDE INFERIOR DE TABLERO

En el borde inferior de tablero se situarán las condiciones de convección y de emisión de radiación hacia el suelo, más la emisión que recibe del suelo, siendo estas dos aproximadamente iguales, por ser emisiones de radiación de la misma temperatura que sería próxima a la ambiente.

La ecuación de balance de calor en la parte inferior será:

$$h_{ci}(T_i - T_a) = k \frac{(T_{i-1} - T_{i+1})}{2\Delta x} \quad (9.14)$$

siendo

h_{ci} = coeficiente de convección en zona inferior.

Sustituyendo el valor de T_{i+1} en la ecuación (9.5) se obtiene, y haciendo el cambio de "i" por "n"

$$T'_n = \alpha \frac{\Delta t}{(\Delta x)} 2 \left\{ \left(-2 - \frac{2\Delta x h_{ci}}{k} \right) T_n + 2 T_{n-1} + \frac{2\Delta x h_{ci}}{k} T_a \right\} + T_n \quad (9.15)$$

haciendo el cambio:

$$\alpha_3 = -2 - \frac{2\Delta x h_{ci}}{k} \quad (9.16a)$$

$$\beta_3 = 2 \frac{\Delta x h_{ci}}{k} \quad (9.16b)$$

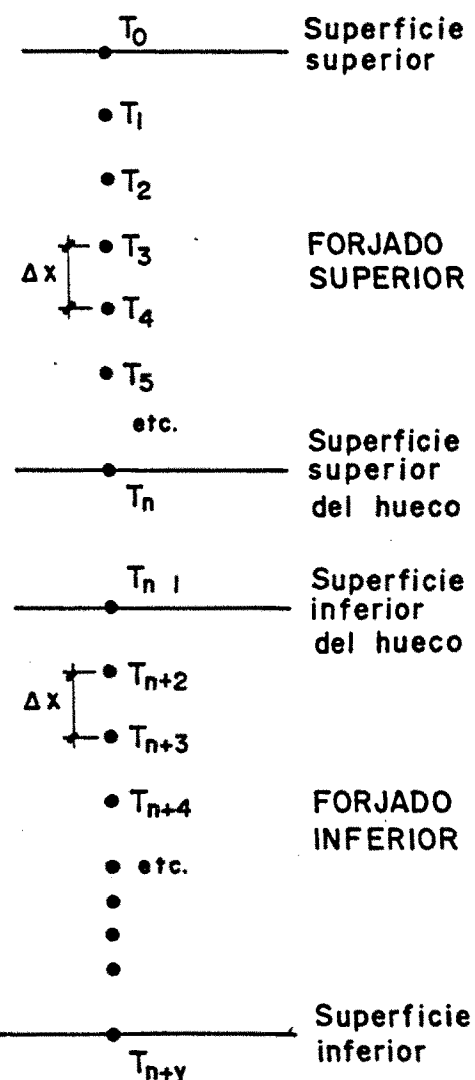
se obtendrá la expresión:

$$T'_n = \alpha \frac{\Delta t}{(\Delta x)} 2 \{ \alpha_3 T_n + 2 T_{n-1} + \beta_3 T_a \} + T_n \quad (9.17)$$

9.1.2.4. CONDICIONES ENTRE SUPERFICIES

En el estudio de la sección cajón se deberá hacer una suposición para el estudio del balance de calor entre las caras interiores de la sección cajón. Para ello, se supondrá que la cantidad de calor que pasa del forjado superior al aire es el mismo que el que pasa del aire al forjado inferior y esta cantidad se evalúa a través de un coeficiente de convección ficticio entre ambas superficies (Capítulo 1.1.3.3.).

Para ello se define un esquema de puente de sección cajón según la figura 9.2 para aplicar el método de diferencias finitas para la resolución de la ecuación de transmisión de calor.



ESQUEMA DE PUENTE DE SECCION CAJON
EN DIFERENCIAS FINITAS

Figura 9.2.

$$h_{cs}(T_n - T_{n+1}) = k \frac{T_{n-1} - T_n}{2\Delta x} \quad (9.15a)$$

$$h_{cs}(T_n - T_{n+1}) = k \frac{T_{n+1} - T_{n+2}}{2\Delta x} \quad (9.18b)$$

Estas dos expresiones juntamente con la ecuación (5) permite obtener

$$T'_n = \alpha \frac{\Delta \tau}{(\Delta x)^2} (\alpha_2 T_n + 2 T_{n-1} + \beta_2 T_{n+1}) + T_n \quad (9.19a)$$

$$T'_{n+1} = \alpha \frac{\Delta \tau}{(\Delta x)^2} (\alpha_2 T_{n+1} + 2 T_{n+2} + \beta_2 T_n) + T_{n+1} \quad (9.19b)$$

donde

$$\alpha_2 = -2 - \frac{2\Delta x h_{cs}}{k} \quad (9.20a)$$

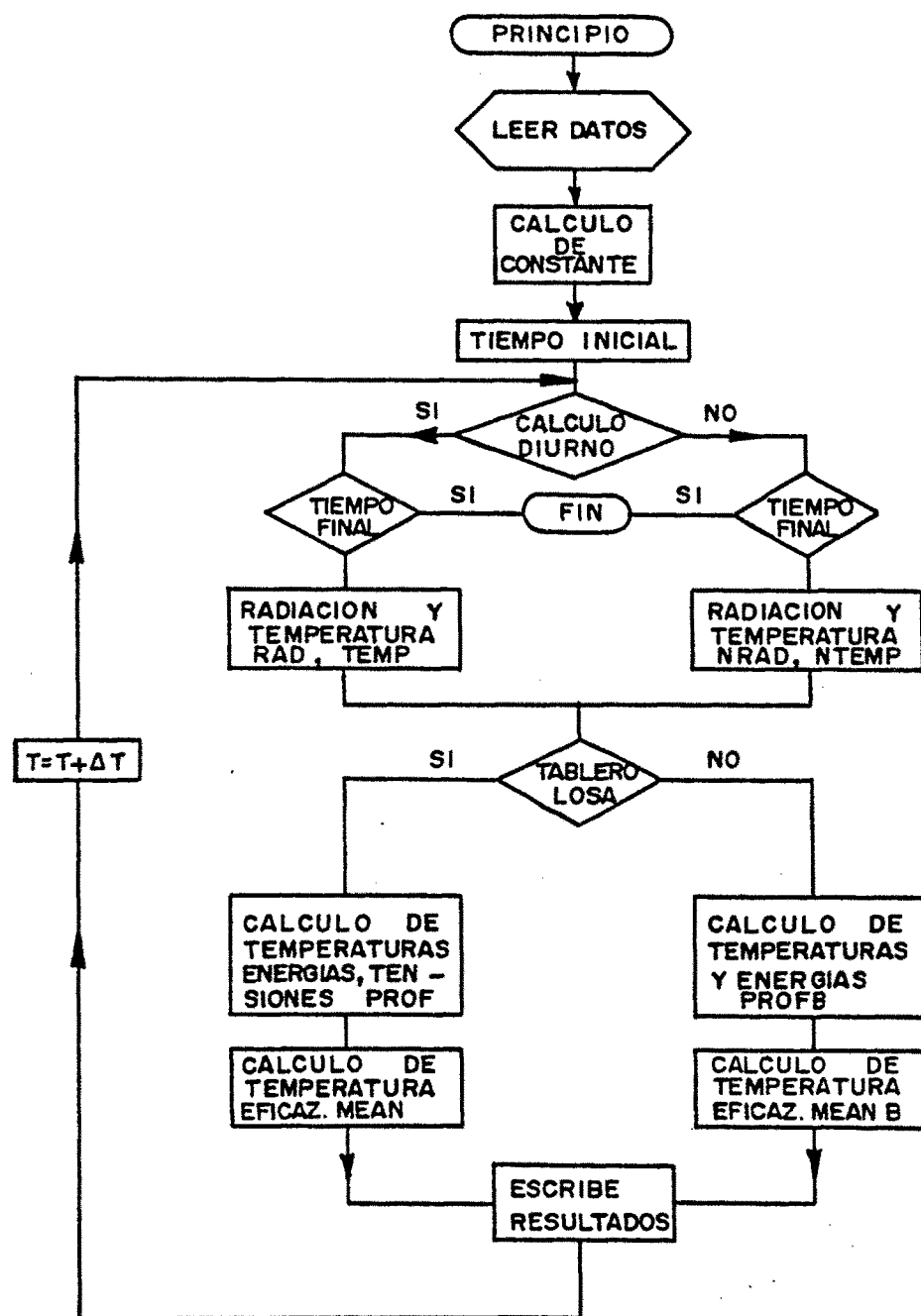
$$\beta_2 = \frac{2\Delta x h_{cs}}{k} \quad (9.20b)$$

9.1.3. DESCRIPCION DE PROGRAMAS Y SUBRUTINAS

El lenguaje de ordenador utilizado es FORTRAN V.

La descripción del programa principal y de las subrutinas se efectuará someramente por basarse en un planteamiento muy conocido de diferencias finitas.

Se incluye el ordinograma general en la figura 9.3.



Ordinograma del programa BRIDGE

Figura 9.3.

9.1.3.1. PROGRAMA BRIDGE

El programa principal es el encargado de la gestión completa del programa ya que está encargado de la lectura de los datos de entrada y de escritura de los datos de salida, excepto la salida por plotter (aunque sí guarda los datos en un fichero), como de dirigir el flujo computacional del programa.

Como ya se ha dicho anteriormente, el método de resolución de la ecuación de calor es un método explícito por lo cual es preciso tener especial cuidado con la estabilidad del problema. La expresión que determina la estabilidad es $\alpha(\Delta\tau)/(\Delta x) < 1/2$, siendo α = difusividad del hormigón, $\Delta\tau$ = incremento de tiempo Δx = incremento de espesor.

El incremento de espesor venía determinado ya que se deseaba una salida en plotter de resultados con los puntos suficientemente juntos para que resultase una curva continua en vez de un conjunto de tramos rectos, estableciéndose un incremento de espesor en el puente de 1 cm que equivale a 1 mm en el dibujo, el incremento de tiempo necesario por esta**bilidad** resultó ser de 36 seg., es decir, 0,01 horas, por lo que es preciso realizar 100 cálculos cada hora transcurrida y quedarse con este único valor; sin embargo el tiempo de **computación** no se alarga excesivamente debido a la rapidez del método explícito y al tiempo ganado en el programa de plotter.

al dibujar los puntos directamente y no realizar interpolaciones de curvas.

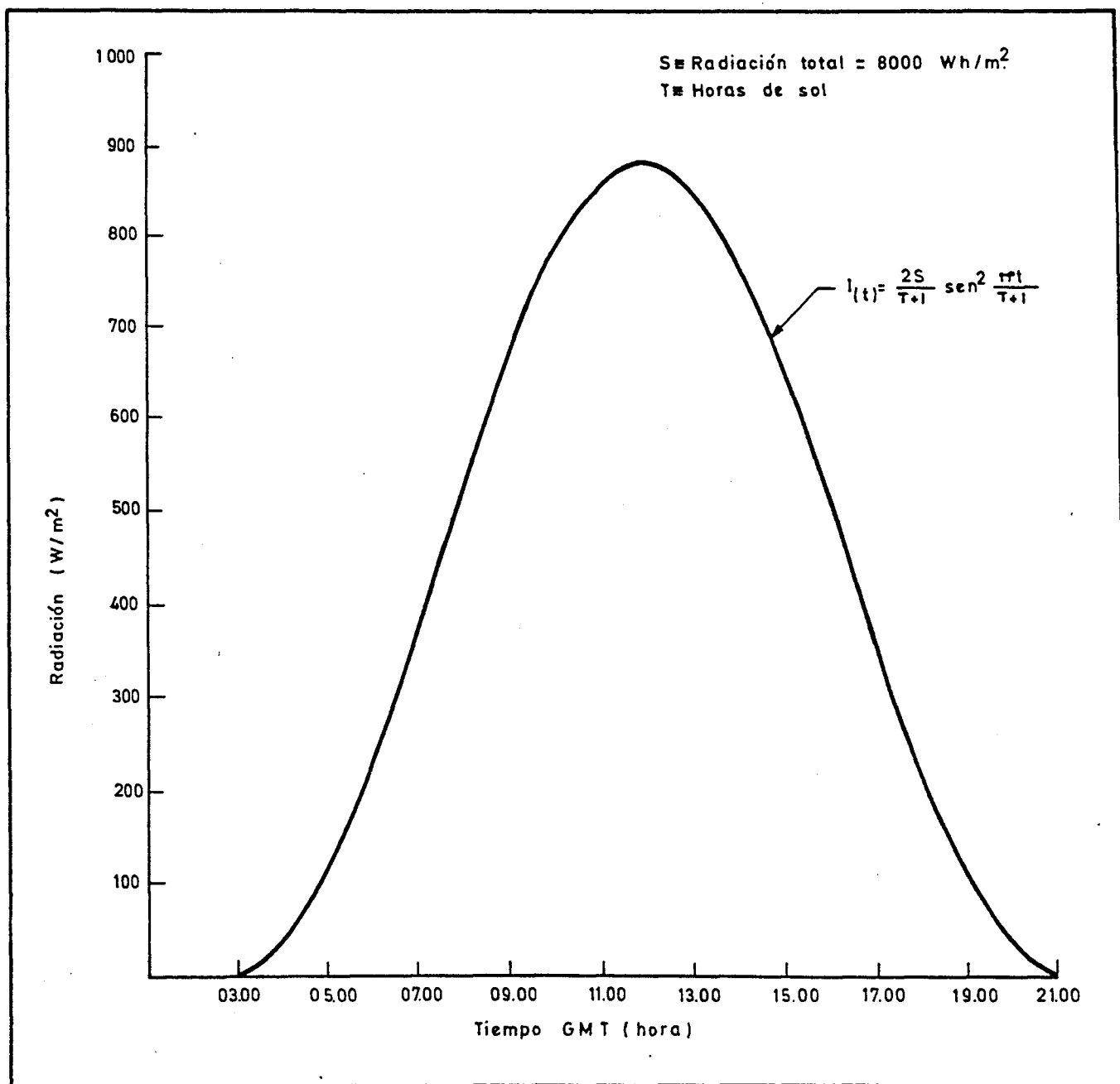
El programa gestiona por separado los casos de cálculo diurno y nocturno y de puente con sección tipo losa o tipo cajón, siendo una ejecución independiente cada uno de estos cuatro posibles casos. El cálculo nocturno comienza a las 16,00 horas hasta el día siguiente, y el cálculo diurno comienza a las 8,00 horas hasta la hora indicada por la noche. El fichero de entrada se llama DATOS.

9.1.3.2. SUBRUTINA RAD

Determina para cada instante de tiempo la radiación instantánea diurna que llega al plano horizontal, a partir de la radiación total diaria según una ley doble senoidal (figura 9.4).

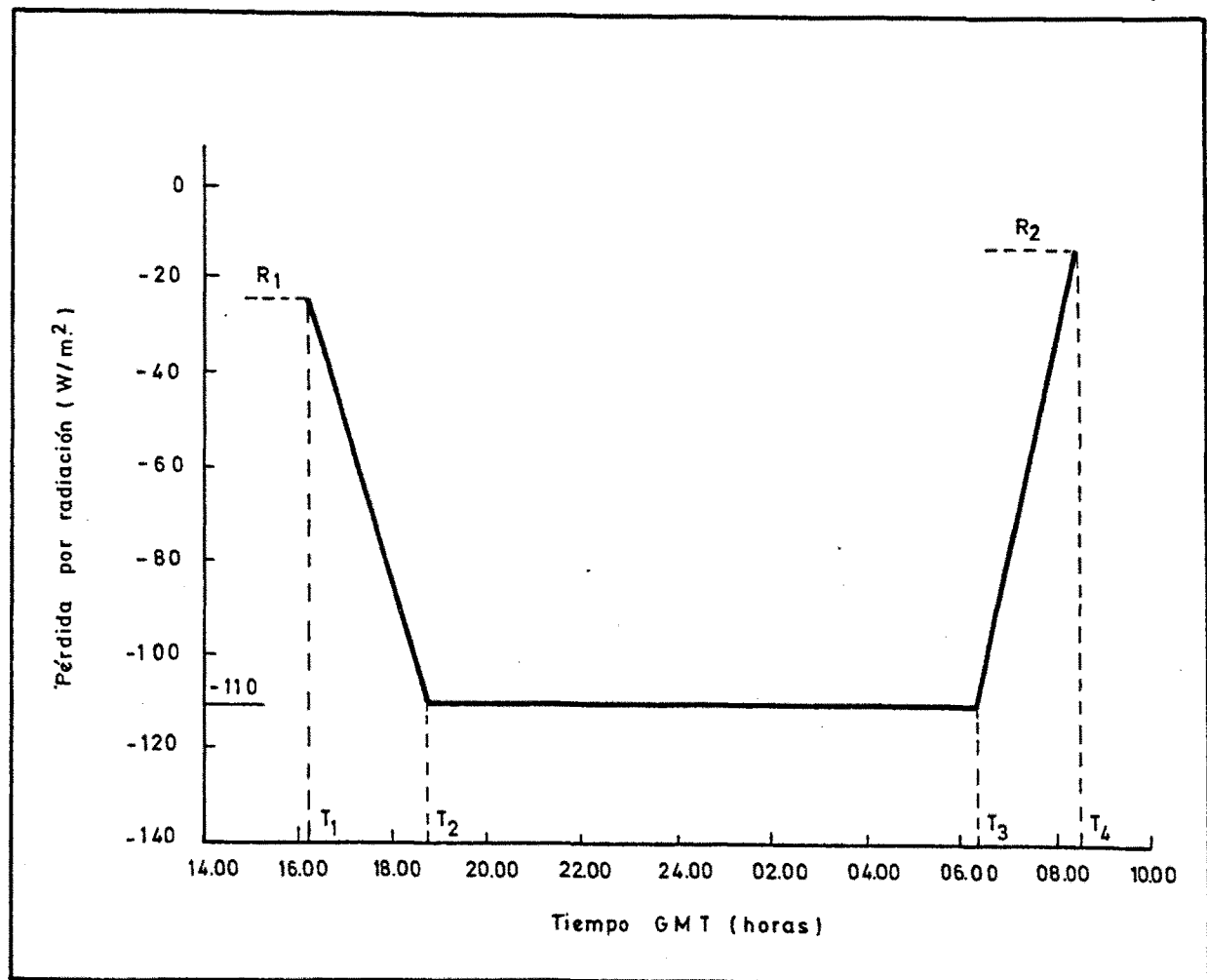
9.1.3.3. SUBRUTINA NRAD

Determina para cada instante de tiempo la radiación instantánea nocturna emitida por el propio puente a la atmósfera (figura 9.5).



CURVA DE RADIACION SOLAR EN DIA
DESPEJADO DE VERANO

Figura 9.4



**PERDIDA POR RADIACION EN NOCHE
CLARA Y DESPEJADA**

Figura 9.5

9.1.3.4. SUBRUTINA TEMP

Permite obtener la temperatura en el puente a cualquier hora durante el cálculo diurno. Utiliza una ley triangular. (Figura 9.6).

9.1.3.5. SUBRUTINA NTEMP

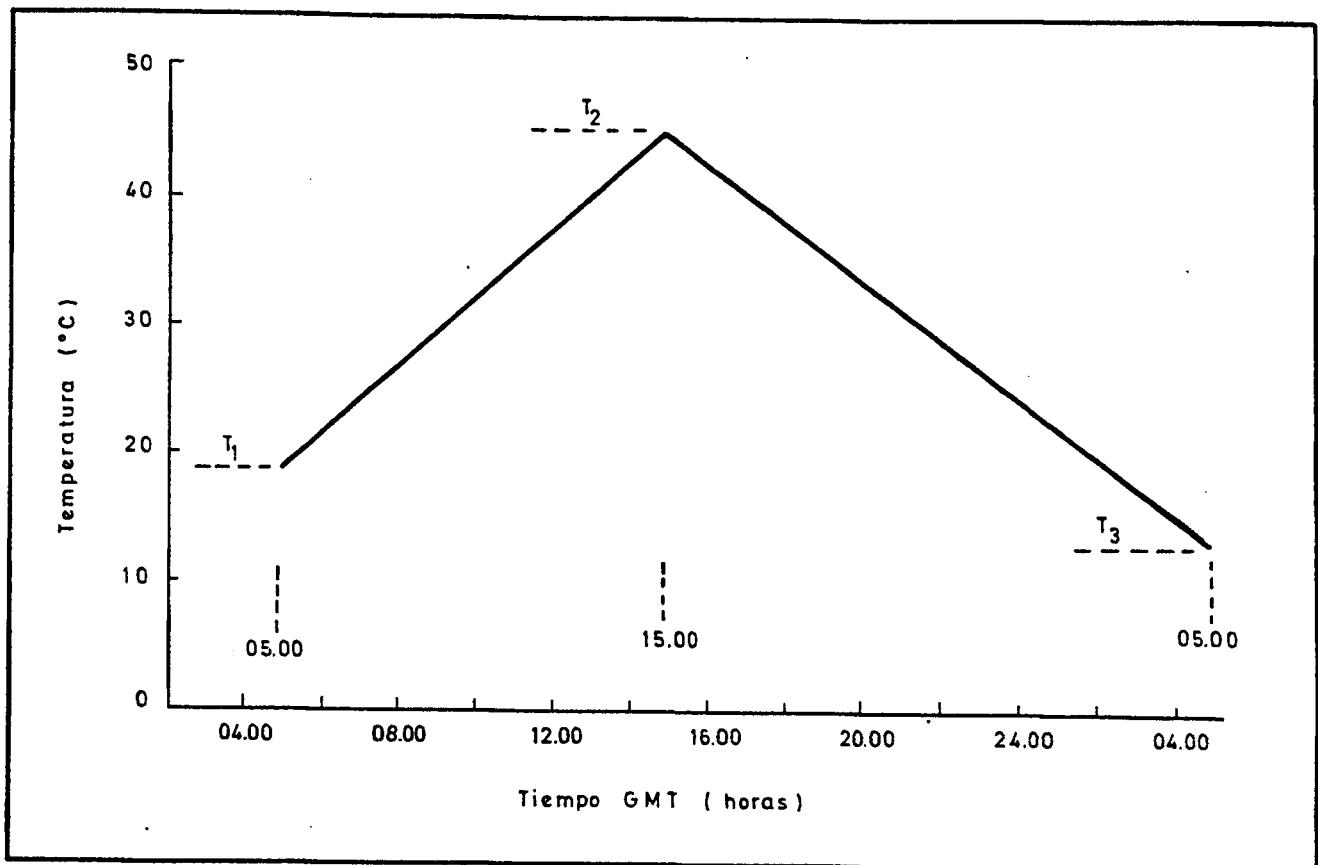
Permite obtener la temperatura en el puente a cualquier hora en un caso de cálculo nocturno. Utiliza una ley triangular (figura 9.7).

9.1.3.6. SUBRUTINA PROF

Esta subrutina obtiene las temperaturas a cada paso de tiempo según el esquema explícito indicado en la explicación del programa principal para los puentes tipo losa. Obtiene además los valores de la tensión en todos los puntos, debidos al estado de autotensión térmica del puente.

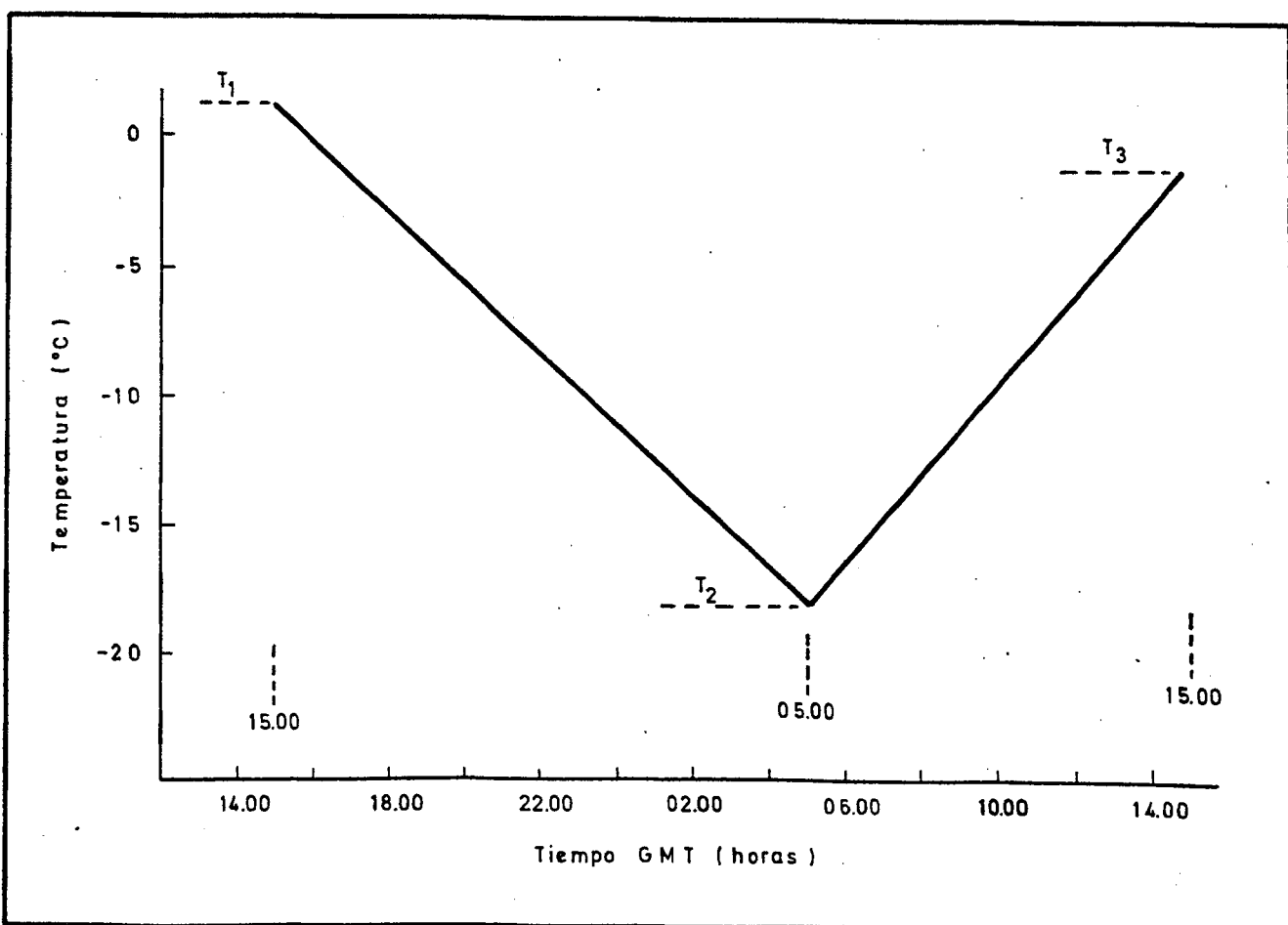
9.1.3.7. SUBRUTINA MEAN

Obtiene la temperatura eficaz del puente tipo losa, a partir de los datos obtenidos en la subrutina PROF.



TEMPERATURA EN DIA CALUROSO

Figura 9.6



TEMPERATURA EN NOCHE FRIA

Figura 9.7

9.3.1.8. SUBRRUTINA PROFB

Permite obtener los valores de las temperaturas en un puente de sección cajón, según el esquema explícito. El hueco de aire en la sección cajón se considera como un coeficiente de convección según se indica en el capítulo 1.1.3. del presente trabajo.

9.3.1.9. SUBRRUTINA MEANB

Obtiene la temperatura eficaz del puente tipo cajón, por separado para el forjado superior y para el forjado inferior.

9.1.3.10. FICHERO DATOS

El fichero DATOS es el fichero de datos del programa principal BRIDGE.

Se puede introducir por tarjetas o directamente desde consola. Por tarjetas consta de cuatro tarjetas, y en caso de utilización de consola de cuatro líneas.

El formato en todos los casos es libre.

Tarjeta

(1) IX, IY, IZ

(2) (IX=1) SUNUP WIDTH ITOTR
(IX#1) RTIM1 RTIM2 RTIM3 RTIM4 RAD1 RAD2

(3) (IX=1) STEMP1 STEMP2 STEMP3 START TIM1
(IX#1) STEMP1 STEMP2 STEMP3 START TIM1

(4) (IY=1) DIST IN1 KONST1 KONST2 R LEAVE
(IY#1) DIST IN1 IN2 KONST1 KONST2 KONST3 R LEAVE

DEFINICION DE LAS VARIABLES:

<u>VARIABLE</u>	<u>DEFINICION</u>
IX	Indica la posibilidad de cálculo nocturno o diurno. (IX=1) → Cálculo diurno. (IX≠1) → Cálculo nocturno.
IY	Indica la posibilidad de puente de sección losa o sección cajón. (IY=1) → Puente de sección losa. (IY≠1) → Puente de sección cajón.
IZ	Indicador de escritura de los valores de temperatura. (IZ=1) → No escribe todas las temperaturas, solamente la eficaz. (IZ≠1) → No escribe resultados, los almacena para el dibujo. (IZ=2) → Escribe todas las temperaturas cada hora.
SUNUP	Hora de salida del sol.
WIDTH	Duración en horas del sol en el día considerado más una.
ITOTR	Radiación diaria total en Watos.hora/m ²
RTIM1	Hora a la que empieza la pérdida de radiación.
RTIM2	Hora a la que se alcanza la pérdida de radiación de 110W.h/m ² .

RTIM3	Hora a la que termina la pérdida de radiación de 110 W.h/m ² .
RTIM4	Hora a la que termina la pérdida de radiación.
RAD1	Pérdida de radiación a la hora RTIM1
RAD2	Pérdida de radiación a la hora RTIM4
STEMP1 (IX=1)	Temperatura a las 05.00 horas.
STEMP2 (IX=1)	Temperatura a las 15.00 horas.
STEMP3 (IX=1)	Temperatura a las 05.00 horas del día siguiente.
START (IX=1)	Temperatura uniforme inicial del puente
TIM1 (IX=1)	Hora de comienzo del proceso y a la cual la temperatura vale START (se aconseja TIM1= 08.00)
STEMP1 (IX≠1)	Temperatura a las 15.00 horas.
STEMP2 (IX≠1)	Temperatura a las 05.00 horas del día siguiente.
STEMP3 (IX≠1)	Temperatura a las 15.00 horas del segundo día considerado.
START (IX≠1)	Temperatura uniforme inicial del puente.
TIM1 (IX≠1)	Hora de comienzo del proceso, y a la cual la temperatura vale START (se aconseja TIM1= 16.00).

DIST (IY=1)	Incremento de profundidad en el hormigón en el cual se realiza cada paso del proceso y separación entre los puntos en que se da el valor de la temperatura en cada paso (en metros). DIST >0.01 . Tómese DIST = 0.01, si se va a dibujar en plotter.
IN1 (IY=1)	Número de puntos en que se obtiene el valor de la temperatura en cada paso. La separación entre puntos es DIST metros y la anchura total de la losa será el producto de (IN1 - 1) x (DIST) IN1 <150 .
KONST1 (IY=1)	Coeficiente conjunto de convección y radiación en la parte superior de la losa en Watios/(m ² K). (15<KONST1<35) (KONST1≈23).
KONST2 (IY=1)	Coeficiente de convección en la parte inferior de la losa en Watios/(m ² K) (7<KONST2<15) (KONST2≈9).
R (IX=1) (IY=1)	Coeficiente de absorción del hormigón (Tómese R≈0,5).
(IX≠1) (IY=1)	Coeficiente de emisión del hormigón (Tómese R≈0,9).
LEAVE (IY=1)	Espesor del pavimento asfáltico. (Tómese LEAVE = 0)
DIST (IY≠1)	Incremento de profundidad en el hormigón en el cual se realiza cada paso del proceso, y es la separación entre puntos en que se da el valor de la temperatura en cada paso (en metros). (DIST >0.01 , tómese DIST = 0.01 si se va a dibujar).

IN1 (IY≠1)	Número de puntos del forjado superior en que se obtiene el valor de la temperatura en cada paso. La anchura total del forjado superior es (IN1-1) x (DIST) .
IN2 (IY≠1)	Número de puntos del forjado inferior en que se obtiene el valor de la temperatura en cada paso. La anchura del forjado inferior es (IN2-1) x (DIST) . IN1 + IN2 < 150.
KONST1 (IY≠1)	Coeficiente conjunto de convección y radiación en la parte superior de la sección transversal de la sección cajón en Watios/m ² . (15<KONST1<35). (KONST1≈23).
KONST2 (IY≠1)	Coeficiente de convección entre los dos forjados de la sección cajón. (1<KONST3<6) (KONST3≈2).
KONST3 (IY≠1)	Coeficiente de convección en la parte inferior de la sección cajón en Watios/m ² . (7<KONST2<15) (KONST2≈9).
R (IX=1) (IY≠1)	Coeficiente de absorción del hormigón (Tómese R≈0,5).
(IX≠1) (IY≠1)	Coeficiente de emisión del hormigón (Tómese R≈0,9).
LEAVE (IY≠1)	Espesor del pavimento asfáltico.

9.1.3.11. FICHERO RES. BRIDGE

El fichero RES. BRIDGE es el fichero de resultados del programa principal BRIDGE.

En primer lugar se escribe el fichero de datos correspondiente a los resultados que se obtienen.

A continuación para cada tiempo, obtenemos:

- a) La hora.
- b) La temperatura ambiente a la hora considerada.
- c) Los balances de energías habidos en la última hora, indicando su origen.
- d) Los valores de la temperatura, los cuales se leerán de izquierda a derecha y de arriba hacia abajo, y son las temperaturas en los puntos de una sección vertical. Si es una sección cajón, los puntos del forjado superior y del forjado inferior están separados por una línea en blanco.
- e) Las temperaturas EFICACES, del puente, o del forjado superior e inferior.

- f) En los casos de puentes de sección losa, además:
 - f1) Las temperaturas en los bordes superior e inferior de la losa para determinar la deformada del diagrama de autotensión térmica.
 - f2) Dilatación unitaria uniforme del tablero.
 - f3) Curvatura del tablero.
 - f4) Tensiones de autotensión térmica en el mismo esquema que los datos de temperaturas.

9.2. DESCRIPCION DEL PROGRAMA DE ORDENADOR CAL2D

9.2.1. OBJETO

El programa de ordenador CAL2D tiene por objeto el cálculo de temperaturas en una superficie rectangular sean cuales quiera las condiciones o propiedades térmicas de los diversos puntos del rectángulo.

En concreto y debido a las subrutinas de inicialización de datos, el programa está preparado para representar en el rectángulo de cálculo cualquier sección de tablero de puente (losa maciza, aligerada, puente de vigas, puente de sección cajón, puente de sección cajón multicelular). Además se representan las condiciones de contorno del aire con las propiedades de éste, y las condiciones ambientales de radiación solar.

9.2.2 ESTUDIO MATEMATICO DE LA ECUACION DE CONDUCCION DE CALOR

EN DOS DIMENSIONES

La ecuación de conducción de calor en dos dimensiones es:

$$\frac{\partial^2 t}{\partial x^2} + \frac{\partial^2 t}{\partial y^2} + \frac{\dot{q}}{k} = \frac{\rho C}{k} \frac{\partial t}{\partial \tau} \quad (9.21)$$

donde: t = temperatura (K).

k = conductividad térmica (W/m.K).

\dot{q} = calor generado o absorbido por unidad de volumen

((W/m³.seg)/seg.).

ρ = densidad (Kg./m³).

C = calor específico (J/Kg. K).

x, y = coordenadas rectangulares (m).

Se tratará de resolver la ecuación (1) desde el punto de vista físico a través de la ley de Fourier y del tratamiento matemático por diferencias finitas.

El programa CAL2D supone una malla como indica la figura 9.8.

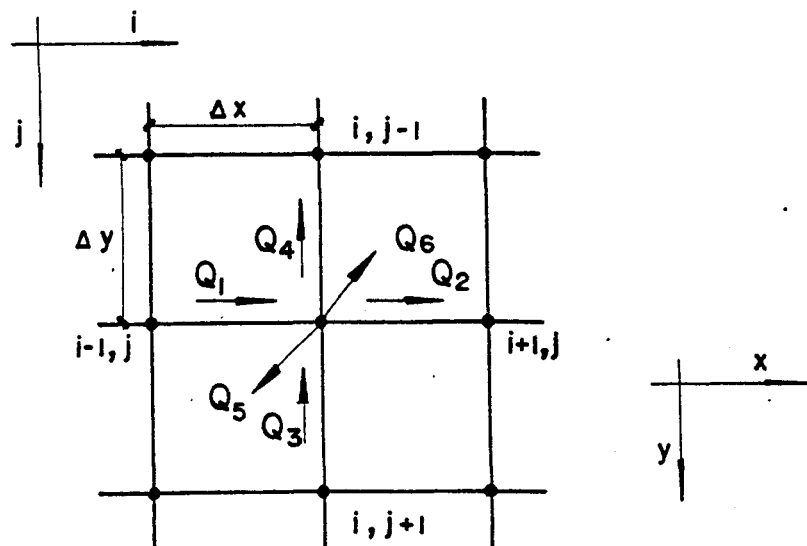


Figura 9.8

Q_1, Q_2, Q_3, Q_4 , es flujo de calor nudo a nudo, Q_5 es el almacenamiento de calor y Q_6 , representa el drenaje de calor o enfriamiento por causas exteriores.

La ecuación de continuidad es:

$$Q_1 + Q_3 = Q_2 + Q_4 + Q_5 + Q_6 \quad (9.22)$$

Consideraciones previas:

- 1) Es necesario definir qué porción de sólido es representado por cada término.
- 2) El flujo de calor puede ser en cualquier dirección aunque solo se considere en las direcciones x ó y.
- 3) Para cada discretización de tiempo la ecuación (9.22) Representa el balance instantáneo al final del incremento de tiempo.

Representamos los vectores volumen según la figura 9.9 y definimos el vector volumen o sólido que se asocia a cada nudo en la figura 9.9.

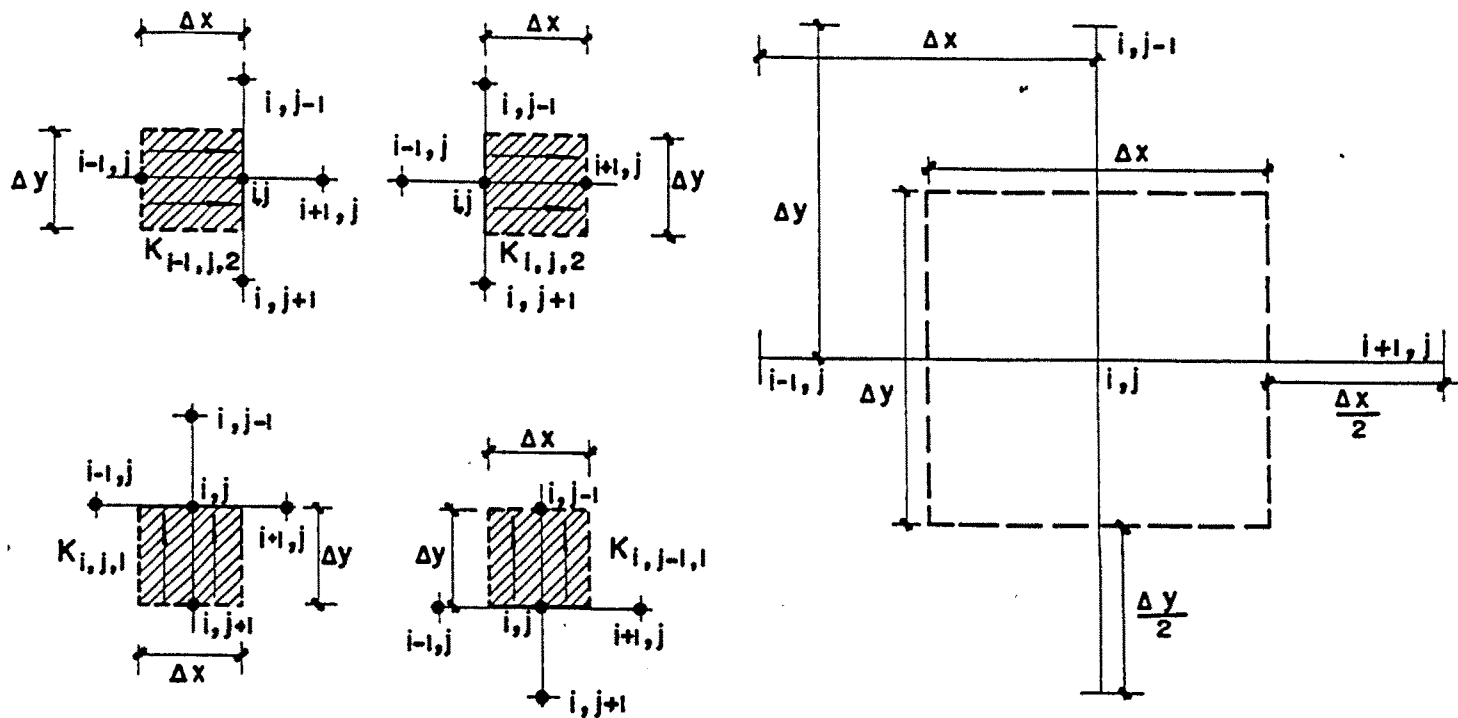


Figura 9.9

Aplicando la ley de Fourier para estudiar el flujo de calor entre nudos:

$$Q_1 = k_{i-1,j,2} (T_{i-1,j} - T_{i,j}) \Delta y / \Delta x \quad (9.23)$$

$$Q_2 = k_{i,j,2} (T_{i,j} - T_{i+1,j}) \Delta y / \Delta x \quad (9.24)$$

$$Q_3 = k_{i,j,1} (T_{i,j+1} - T_{i,j}) \Delta x / \Delta y \quad (9.25)$$

$$Q_4 = k_{i,j-1,1} (T_{i,j} - T_{i,j-1}) \Delta x / \Delta y \quad (9.26)$$

donde $k_{i,j,1}$ es la conductividad térmica entre el nudo i,j y el $i,j+1$ y $k_{i,j,2}$ es la conductividad térmica entre el nudo

i, j y el $i+1, j$, y $T_{i,j}$ es la temperatura en el nudo i, j al final del incremento de tiempo.

El calor almacenado será:

$$Q_5 = \rho C \Delta x \Delta y (T_{i,j}(\tau) - T_{i,j}(\tau - \Delta\tau)) / \Delta\tau \quad (\text{W/M}) \quad (9.27)$$

La cantidad de calor inyectado o drenado al sistema constante en cada unidad de tiempo será (calor drenado con signo positivo, y calor inyectado con signo negativo):

$$Q_6 = \dot{q}_{i,j} \dots \Delta x \Delta y \quad ((\text{W/m}^3 \cdot \text{seg.}) / \text{seg.}) \quad (8.28)$$

Sustituyendo (9.23), (9.24), (9.25), (9.26), (9.27), (9.28) en (9.22) se obtiene

$$\begin{aligned} & k_{i+1,2}(T_{i-1,j} - T_{i,j}) \Delta y / \Delta x + k_{i,j,1}(T_{i,j+1} - T_{i,j}) \Delta x / \Delta y = \\ & = k_{i,j,2}(T_{i,j} - T_{i+1,j}) \Delta y / \Delta x + k_{i,j,2}(T_{i,j} - T_{i,j-1}) \Delta x / \Delta y + \\ & + \rho C \Delta x \Delta y (T_{i,j}(\tau) - T_{i,j}(\tau - \Delta\tau)) / \Delta\tau + \dot{q}_{i,j} \Delta x \Delta y \end{aligned} \quad (9.29)$$

Dividiendo entre $\Delta x \Delta y$ se obtendrá

$$\begin{aligned} & k_{i,j,2}(T_{i-1,j} - T_{i,j}) / \Delta x^2 + k_{i,j,1}(T_{i,j+1} - T_{i,j}) / \Delta y^2 = \\ & = k_{i,j,2}(T_{i,j} - T_{i+1,j}) / \Delta x^2 + k_{i,j-1,2}(T_{i,j} - T_{i,j-1}) / \Delta y^2 + \\ & + \rho C (T_{i,j}(\tau) - T_{i,j}(\tau - \Delta\tau)) / \Delta\tau + \dot{q}_{ij} \end{aligned} \quad (9.30)$$

La ecuación (9.30) representa la forma en diferencias finitas de la ecuación (9.21) que estudia el flujo de calor en régimen transitorio en dos dimensiones.

Esta ecuación es de difícil solución y vamos a efectuar en ella algunas simplificaciones para su resolución con el programa CAL2D.

En primer lugar supondremos que la malla está formada por cuadrados, es decir $\Delta x = \Delta y$ y por tanto la ecuación (9.30) resulta:

$$\begin{aligned} & k_{i-1,j,2}(T_{i-1,j} - T_{i,j}) + k_{i,j,1}(T_{i,j+1} - T_{i,j}) = k_{i,j,2}(T_{i,j} - T_{i+1,j}) + \\ & + k_{i,j-1,1}(T_{i,j} - T_{i,j-1}) + (\rho C(\Delta x)^2 / \Delta \tau)(T_{i,j}(\tau) - T_{i,j}(\tau - \Delta \tau)) + \\ & + \dot{q}_{i,j}(\Delta x)^2 \end{aligned} \quad (9.31)$$

Reagrupando se tendrá:

$$\begin{aligned} & T_{i,j}(k_{i-1,j,2} + k_{i,j,1} + k_{i,j,2} + k_{i,j-1,1} + \rho C(\Delta x)^2 / \Delta \tau) - \\ & - T_{i-1,j}k_{i-1,j,2} - k_{i,j+1}k_{i,j,1} - T_{i+1,j}k_{i,j,2} - T_{i,j-1}k_{i,j-1,1} = \\ & = (\rho C(\Delta x)^2 / \Delta \tau)T_{i,j}(\tau - \Delta \tau) - \dot{q}_{i,j}(\Delta x)^2 \end{aligned} \quad (9.32)$$

La ecuación (9.32) toma dos formas diferentes de reagrupamiento según vayamos a efectuar el cálculo por filas o por

columnas. Si el cálculo se hace por columnas quedará:

$$\begin{aligned}
 & -T_{i,j-1}k_{i,j-1,1} + T_{i,j}(k_{i,j+1} + k_{i,j,1} + k_{i,j,2} + k_{i,j-1,1}) \\
 & + \rho C(\Delta x)^2 / \Delta \tau - T_{i,j+1}k_{i,j,1} = (\rho C(\Delta x)^2 / \Delta \tau) T_{i,j}(\tau - \Delta \tau) - \\
 & - q_{i,j}(\Delta x)^2 + T_{i-1,j}k_{i+1,j,2} + k_{i+1,j,k_{i,j,2}} \quad (9.33)
 \end{aligned}$$

o bien

$$AA_j T_{i,j-1} + BB_j T_{i,j} + CC_j T_{i,j+1} = DD_j \quad (9.34)$$

donde

$$AA_j = -k_{i,j-1,1} \quad (9.35a)$$

$$BB_j = (k_{i-1,j,2} + k_{i,j,1} + k_{i,j,2} + k_{i,j-1,1} + \rho C(\Delta x)^2 / \Delta \tau) \quad (9.35b)$$

$$CC_j = -k_{i,j,1} \quad (9.35c)$$

$$\begin{aligned}
 DD_j = & \rho C(\Delta x)^2 / \Delta \tau \cdot T_{i,j}(\tau - \Delta \tau) - q_{i,j}(\Delta x)^2 + T_{i-1,j}k_{i-1,j,2} + \\
 & + T_{i+1,j}k_{i,j,2} \quad (9.35d)
 \end{aligned}$$

Para el cálculo por filas se reagrupará de la siguiente forma:

$$\begin{aligned}
 & -T_{i-1,j} k_{i-1,j,2} + T_{i,j} (k_{i-1,j,2} + k_{i,j,1} + k_{i,j,2} + k_{i,j-1,1}) \\
 & + \rho C(\Delta x)^2 / \Delta \tau - T_{i+1,j} k_{i,j,2} = (\rho C(\Delta x)^2 / \Delta \tau) T_{i,j} (\tau - \Delta \tau) - \\
 & - q_{i,j} (\Delta x)^2 + T_{i,j+1} k_{i,j,1} + T_{i,j-1} k_{i,j-1,1}
 \end{aligned} \tag{9.36}$$

o bien

$$AA_i T_{i-1,j} + BB_i T_{i,j} + CC_i T_{i+1,j} = DD_i \tag{9.37}$$

donde

$$AA_i = -k_{i-1,j,2} \tag{9.38a}$$

$$BB_i = (k_{i-1,j,2} + k_{i,j,1} + k_{i,j,2} + k_{i,j-1,1} + \rho C(\Delta x)^2 / \Delta \tau) \tag{9.38b}$$

$$CC_i = -k_{i,j,2} \tag{9.38c}$$

$$\begin{aligned}
 DD_i = & \rho C(\Delta x)^2 / \Delta \tau T_{i,j} (\tau - \Delta \tau) - q_{i,j} (\Delta x)^2 + T_{i,j+1} k_{i,j,1} + \\
 & + T_{i,j-1} k_{i,j-1,1}
 \end{aligned} \tag{9.38d}$$

Queda por tanto, la ecuación 12 resuelta por filas (ecuación 9.34) o por columnas (ecuación 9.37) de forma que en cada caso se tiene una matriz tridiagonal que se resolverá por medio de las matrices G y B, según el método de Peaceman y Rachford (1).

9.2.3. CALCULO DE LAS TEMPERATURAS CON LAS MATRICES G Y B

Las ecuaciones a resolver serán las números (9.34) y (9.37) indistintamente y por separado, manteniendo ambas la misma estructura, por lo que el método a aplicar será el mismo.

Tomemos como ejemplo la ecuación (9.34) correspondiente al cálculo de la columna i ; en ella son datos todos los valores AA_j , BB_j , CC_j y DD_j , por tanto se puede formar una expresión matricial de la ecuación (9.34) en la cual para

$$j = 1 \rightarrow AA_1 = 0 \text{ ya que no existe el nudo } (0, j) \quad (9.19)$$

$$j = N \rightarrow CC_N = 0 \text{ ya que no existe el nudo } (N+1, j)$$

siendo N el número de filas.

Por tanto, podremos expresar la ecuación (9.34) como:

$$\begin{bmatrix} BB_1 & CC_1 & 0 & 0 & 0 & 0 \\ AA_2 & BB_2 & CC_2 & 0 \\ 0 & AA_3 & BB_3 & CC_3 \\ \vdots & \vdots & \vdots & \vdots \\ 0 & & AA_{N-1} & BB_{N-1} & CC_{N-1} \\ 0 & & AA_N & BB_N \end{bmatrix} \begin{bmatrix} T_{i,1} \\ T_{i,2} \\ T_{i,3} \\ \vdots \\ T_{i,N-1} \\ T_{i,N} \end{bmatrix} = \begin{bmatrix} DD_1 \\ DD_2 \\ DD_3 \\ \vdots \\ DD_{N-1} \\ DD_N \end{bmatrix} \quad (9.40)$$

El método de resolución consiste en tomar la primera ecuación (o primera fila de la matriz) y despejar $T_{i,1}$ en función de $T_{i,2}$ ya que son las dos únicas incógnitas, y sustituir en la segunda ecuación con lo que ésta quedará en función únicamente de $T_{i,2}$ y $T_{i,3}$, con lo cual podemos despejar $T_{i,2}$ en función de $T_{i,3}$ y sustituir en la siguiente, y así sucesivamente hasta que en la ecuación N-1 despejamos $T_{i,N-1}$ en función de $T_{i,N}$ que sustituyendo en la ecuación N-sima resulta una ecuación lineal en $T_{i,N}$ que se puede obtener directamente.

Recorriendo los nudos en sentido inverso podremos obtener los valores de las temperaturas en un nudo en función de la temperatura en el siguiente hasta completar los N nudos.

La expresión de la temperatura en un nudo en función de la del siguiente será:

$$T_{i,j} = \frac{(DD_j - AA_j G_{j-1}) / (BB_j - AA_j B_{j-1}) -}{- (CC_j / (BB_j - AA_j B_{j-1})) T_{i,j+1}} \quad (9.41)$$

Si hacemos

$$G_j = (DD_j - AA_j G_{j-1}) / (BB_j - AA_j B_{j-1}) \quad (9.42)$$

$$B_j = CC_j / (BB_j - AA_j B_{j-1}) \quad (9.43)$$

se obtiene

$$T_{i,j} = G_j - B_j T_{i,j+1} \quad (9.44)$$

Para el cálculo por filas se obtendrá una expresión similar a la (9.44).

El proceso de cálculo, para cada fila o columna, en el programa de ordenador CAL2D incluye calcular inicialmente las matrices B y G en orden creciente de i o de j (ya que cada una depende de la anterior). Cumplido esto se obtiene la temperatura en el último nudo de la fila o columna.

A continuación mediante la ecuación (9.44) (o la similar referida a filas), se obtienen las temperaturas en la fila o columna en orden decreciente de i o j respectivamente. Después del cálculo de temperaturas en la fila o columna, se repetirá todo el cálculo para la siguiente fila o columna, hasta completar el proceso satisfactoriamente.

El criterio de convergencia que se considera, es obtener la suma de los valores absolutos de la diferencia de temperaturas entre una iteración y la anterior, considerada para el cálculo por filas y para el cálculo por columnas. Este valor deberá ser menor que uno prefijado.

En los casos habituales se ha supuesto este valor como un grado centígrado que supuesto repartido entre aproximadamente 1.000 puntos de forma equitativa supone un error de 10^{-3} grados centígrados en cada punto.

No obstante la convergencia es muy rápida y el mismo caso para 1.000 puntos y paso de tiempo de una hora converge normalmente en cuatro iteraciones.

9.2.4. ESTUDIO DE LA RADIACION SOLAR

La radiación solar se considerará en el programa CAL2D como una generación de calor en los elementos que bordean la pieza, y que están sometidos a radiación solar.

Se supondrá que I es el calor en W/m^2 (figura 9.10) que incide y absorbe en la unidad de superficie en el tiempo Δt .

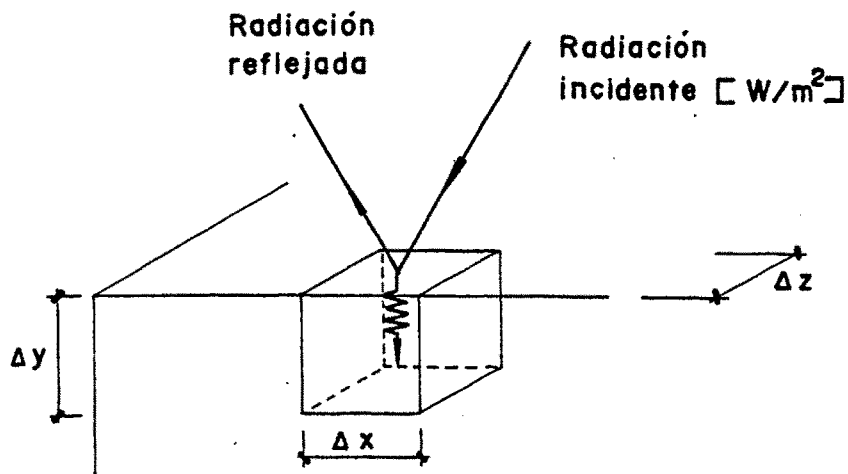


Figura 9.10

El calor total incidente sobre la superficie del elemento de malla será:

$$I(\Delta x) \cdot (\Delta z) \text{ watos} \quad (9.45)$$

Se supondrá que este calor es el generado por el cubo, y siendo $q_{i,j}$ el calor por unidad de volumen, se obtendrá:

$$q_{i,j} (\Delta x) (\Delta y) (\Delta z) = I(\Delta x) (\Delta z) \quad (\text{Watos}) \quad (9.46)$$

$$q_{i,j} = I / \Delta y \cdot \text{W/m}^3 \quad (9.47)$$

9.2.5. CONDUCTIVIDAD EQUIVALENTE EN LA UNION DE DOS MEDIOS

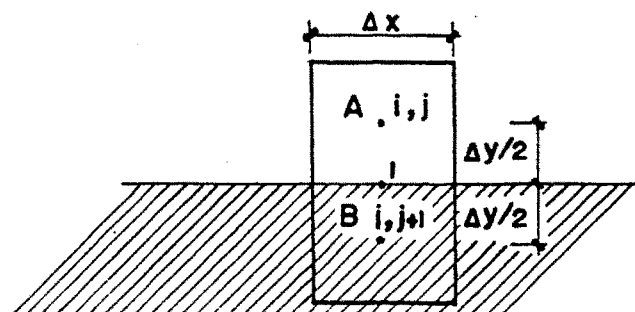


Figura 9.II

Sean dos puntos contiguos $A(i,j)$, $B(i,j+1)$ de dos medios sólidos de diferentes propiedades térmicas (figura 9.11) en particular las conductividades térmicas.

$$\begin{aligned} \text{Punto } (i,j) &\rightarrow k = k_{i,j,1} \\ \text{Punto } (i,j+1) &\rightarrow k = k_{i,j+1} \end{aligned} \quad (9.48)$$

Se calcula el flujo vertical de calor que será igual al transmitido entre los puntos (i,j) y 1 que entre 1 y $(i,j+1)$.

$$\begin{aligned} \frac{\phi}{\Delta x} = k_{i,j,1} \frac{(T_1 - T_A)}{\Delta y/2} = k_{i,j+1} \frac{(T_B - T_1)}{\Delta y/2} \rightarrow \\ \frac{T_1 - T_A}{\frac{\Delta y}{2k_{i,j,1}}} = \frac{T_B - T_1}{\frac{\Delta y}{2k_{i,j+1}}} = \frac{T_B - T_A}{\frac{1}{2} \left(\frac{1}{k_{i,j,1}} + \frac{1}{k_{i,j+1,1}} \right) \Delta y} = \frac{T_B - T_A}{\frac{\Delta y}{k_e}} \rightarrow \\ \frac{1}{k_e} = \frac{1}{2} \left(\frac{1}{k_{i,j,1}} + \frac{1}{k_{i,j+1,1}} \right) \rightarrow \\ k_e = 2 \frac{k_{i,j,1} \cdot k_{i,j+1,1}}{k_{i,j,1} + k_{i,j+1,1}} \end{aligned} \quad (9.50)$$

Para el caso de que el plano de unión sea vertical la expresión anterior es equivalente.

9.2.6. ESTUDIO DE LA CONVECCION

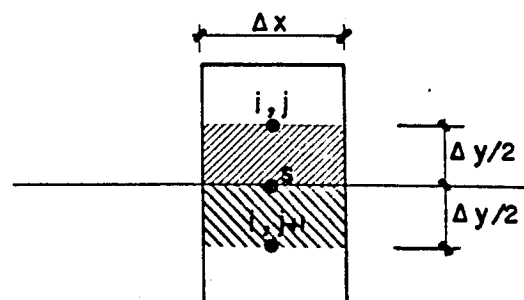


Figura 9.12

Supongamos que el nudo i,j (figura 9.12) pertenece al fluido (aire) y el $i,j+1$, pertenece al sólido.

Supondremos el punto intermedio S perteneciente a la superficie. Se impondrá la condición de que el calor transmitido entre (i,j) y (S) es igual que el existente entre (S) y $(i,j+1)$

$$\phi = h(T_s - T_a) \Delta x = k_{i,j,1} \frac{(T_{i,j+1} - T_s) \Delta x}{\Delta y/2} = k_e \frac{T_{i,j+1} - T_a}{\Delta y} \Delta x \quad (9.51)$$

k_e es la conductividad equivalente entre (i,j) y $(i,j+1)$ es decir $k_{e,i,j,1}$

$$\phi = \frac{T_s - T_a}{\frac{1}{h \Delta x}} = \frac{T_{i,j+1} - T_s}{\frac{\Delta y}{2k_{i,j,1} \Delta x}} = \frac{T_{i,j+1} - T_a}{\frac{\Delta y}{k_{e,i,j,1} \Delta x}} = \frac{\frac{1}{h \Delta x} + \frac{T_s - T_a}{\Delta y}}{\frac{1}{2k_{i,j,1} \Delta x}} \rightarrow$$

$$\frac{\Delta y}{k_{e,i,j,1}} = \frac{1}{h} + \frac{\Delta y}{2k_{i,j,1}} \rightarrow k_{e,i,j,1} = \frac{\Delta y}{\frac{1}{h} + \frac{\Delta y}{2k_{i,j,1}}} \rightarrow$$

$$k_{e,i,j,1} = \frac{1}{\frac{1}{h \Delta y} + \frac{1}{2k_{i,j,1}}} \quad (9.53)$$

En el caso de flujo horizontal se tendrá:

$$\phi = h(T_s - T_a) \Delta y = k_{i,j,2} \frac{(T_{i+1,j} - T_s) \Delta y}{\Delta x/2} = k_{e,i,j,2} \frac{T_{i+1,j} - T_a}{\Delta x} \quad (9.54)$$

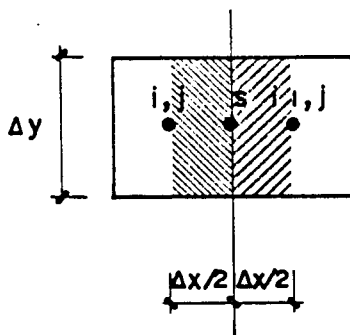


Figura 9.13

$$\phi = \frac{T_s - T_a}{\frac{1}{h\Delta y}} = \frac{T_{i+1,j} - T_s}{\frac{\Delta x}{2k_{i,j,2}\Delta y}} = \frac{T_s - T_a + T_{i+1,j} - T_s}{\frac{1}{h\Delta y} + \frac{\Delta x}{2k_{i,j,2}\Delta x}} = \frac{T_{i+1,j} - T_s}{\frac{\Delta y}{k_{e,i,j,2}\Delta x}} \quad (9.55)$$

$$\frac{\Delta y}{k_{e,i,j,2}} = \frac{1}{h} + \frac{\Delta x}{2k_{i,j,2}} \rightarrow \frac{\Delta x}{\frac{1}{h} + \frac{\Delta x}{2k_{i,j,2}}} \quad (9.56)$$

$$k_{e,i,j,2} = \frac{1}{\frac{1}{h\Delta x} + \frac{1}{2k_{i,j,2}}} \quad (9.57)$$

9.2.7. DESCRIPCION DEL PROGRAMA CAL2D

9.2.7.1. INTRODUCCION

El programa CAL2D está escrito en lenguaje de ordenador FORTRAN 77 y se ha pasado en un ordenador Hewlett-Packard 1000 con 64K de memoria principal, siendo preciso una extensión de memoria hasta ocupar un total aproximado de 350K que ocupa el programa, hasta un máximo posible de 512K.

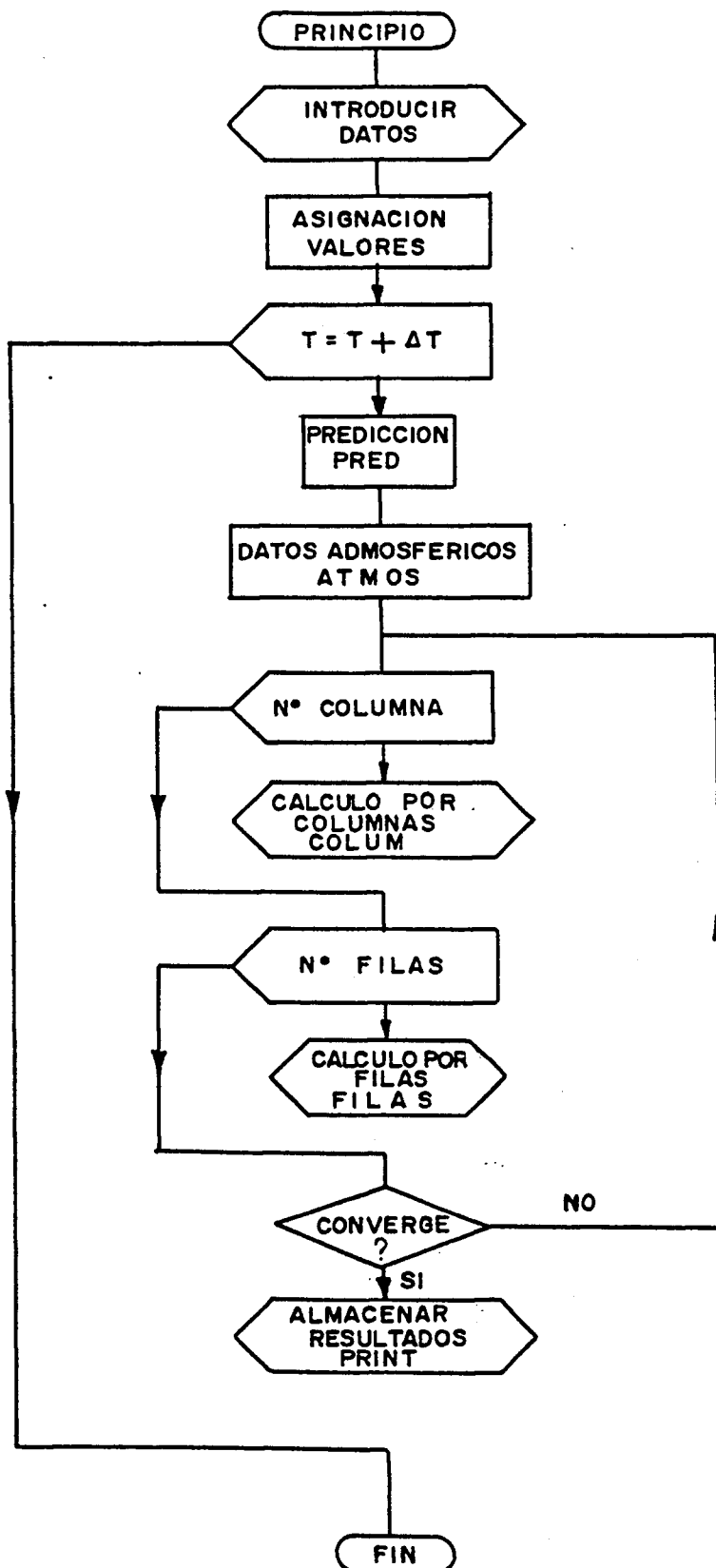
El programa CAL2D utiliza un fichero de entrada de datos D.CAL y otro de salida de resultados RE.CAL. Además utiliza otros tres ficheros de salida como comprobación de la asignación de propiedades a la malla.

El cálculo de las temperaturas se efectúa a lo largo de un día completo, comenzando a las 8,00 horas, en que la experiencia permite asegurar que el gradiente de temperaturas en el puente es mínimo.

El criterio de convergencia utilizado es que la suma de los valores absolutos de las diferencias de temperaturas entre el cálculo por filas y por columnas para cada punto es menor que un valor dado.

9.2.7.2. PROGRAMA CAL2D

Es el programa principal y gestiona el organigrama general, figura (9.14), es encargado de llamar a la subrutina de lectura de datos y de organizar los bucles generales con las llamadas a las subrutinas de condiciones atmosféricas y a las subrutinas de cálculo. Comprueba el criterio de convergencia y llama a la subrutina de escritura de resultados cada hora de tiempo transcurrido.



Ordinograma del programa CAL 2D

9.2.7.3. SUBRRUTINA PRED

Al comienzo de cada instante de tiempo predice las temperaturas que van a ocurrir como extrapolación lineal de lo ocurrido en los dos pasos de tiempo anteriores, y corrige las temperaturas de entrada al nuevo instante de tiempo. De esta forma se logra una convergencia mucho más rápida del proceso.

9.2.7.4. SUBRRUTINA ATMOS

Es la subrutina encargada de las condiciones atmosféricas. Llama a la subrutina de temperatura ambiente y de radiación.

Adjudica a los puntos del aire exterior la temperatura ambiente existente y a los puntos de la superficie superior del tablero les adjudica la radiación solar como generación interna de calor.

9.2.7.5. SUBRRUTINA TEMPE

Obtiene la temperatura ambiente según una ley senoidal de período 24 horas con el valor medio a las 8,00 horas y 20,00 horas, máximo a las 14,00 horas y mínimo a las 2,00 horas. Comienza el cálculo a las 8,00 horas (figura 9.15).

9.44

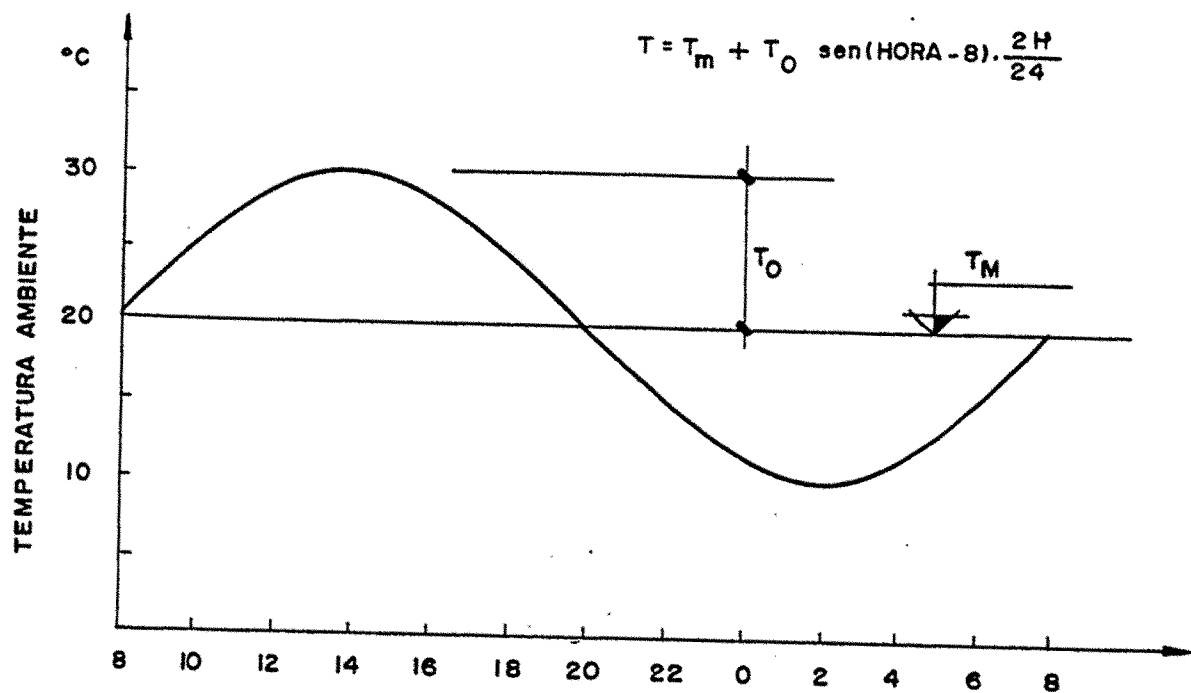


Figura 9.15

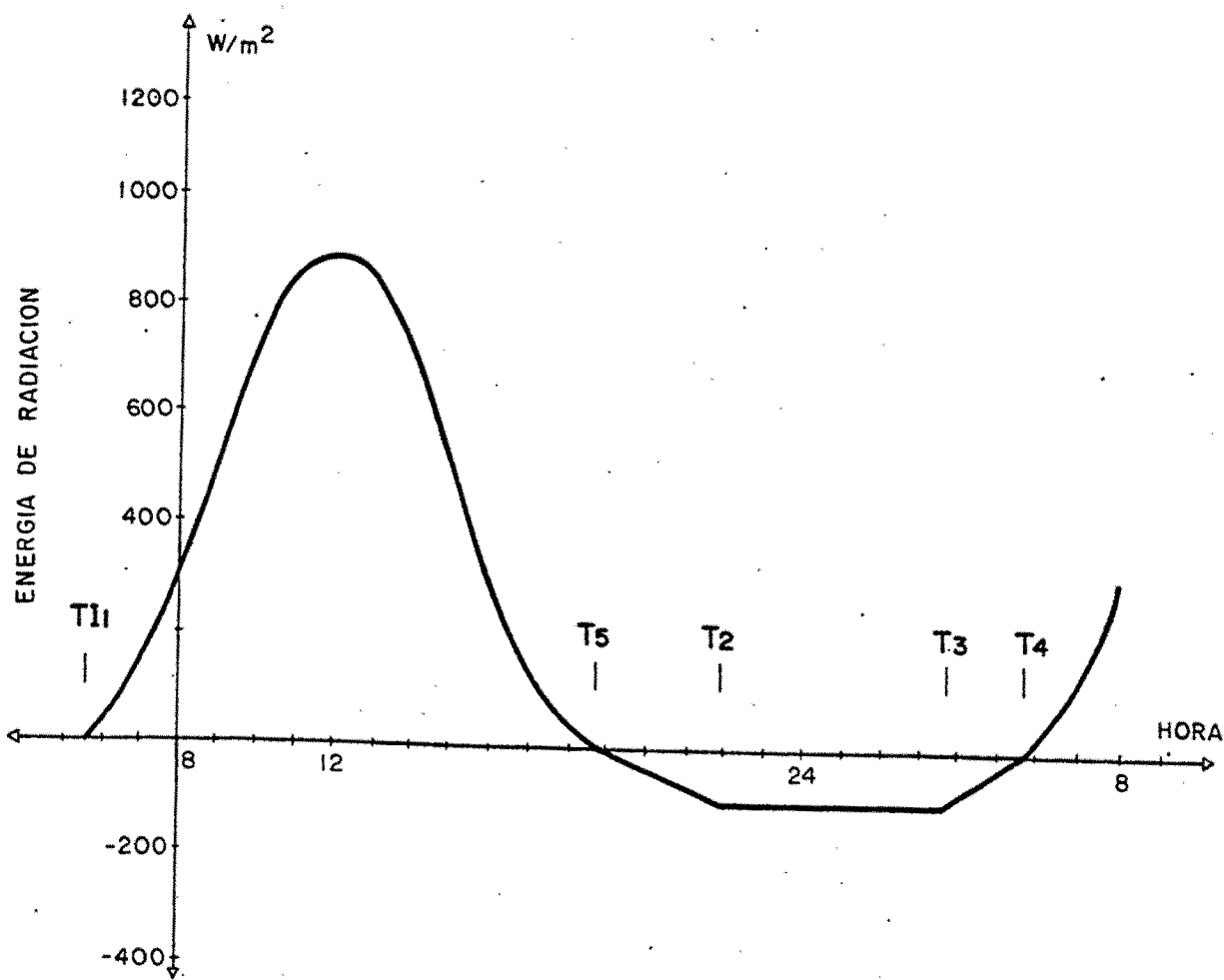


Figura 9.16

9.2.7.6. SUBRRUTINA RADIA

Calcula la radiación instantánea en cada instante de tiempo. Durante el día supone una radiación solar de distribución del tipo \sin^2 , y durante la noche supone una pérdida de radiación de tipo trapezoidal (figura 9.16).

9.2.7.7. SUBRRUTINA COLUM

Efectúa el cálculo por columnas según el esquema explicado anteriormente.

9.2.7.8. SUBRRUTINA FILAS

Efectúa el cálculo por filas según el esquema explicado anteriormente.

9.2.7.9. SUBRRUTINA PRINT

Se encarga de escribir los resultados obtenidos a cada hora.

9.2.7.10. SUBRRUTINA INPUT

Se encarga de la lectura del fichero de datos y de la formación de la malla de la sección del puente dentro del rectángulo de cálculo. Llama a las demás subrrutinas de asignación.

El formato de escritura en todos los casos es libre. Las unidades pertenecen al sistema SI.

a) Línea de definición geométrica de la sección del puente.

<u>VARIABLE</u>	<u>DESCRIPCION</u>
NH	Número de huecos de la sección.
AS	Semiancho del tablero superior.
AI	Semiancho del tablero inferior.
AV	Altura total del tablero.
AV1	Espesor de las almas interiores.
AV2	Espesor del alma exterior.
ES	Espesor del forjado sup. sin mezcla bit.
EI	Espesor del forjado inferior.
H	Anchura de los huecos.
D	Lado de la retícula.
EMB	Espesor de la mezcla bituminosa.

b) Líneas de propiedades térmicas.

Son cuatro líneas que definen las propiedades de las materias constituyentes. La primera línea se refiere al aire libre, la segunda a la mezcla bituminosa, la tercera al hormigón y la cuarta al aire del contorno en contacto con la estructura.

<u>VARIABLE</u>	<u>DESCRIPCION</u>
C(I,1)	Densidad del material I (Kg/m^3).
C(I,2)	Calor específico del material I (j/Kg.k).
C(I,3)	Conductividad vertical del material I (W/m.k).
C(I,4)	Conductividad horizontal del material I (W/m.k).

c) Línea de datos de radiación.

<u>VARIABLE</u>	<u>DESCRIPCION</u>
T11	Hora de comienzo de radiación solar.
T2	Hora de comienzo de pérdida de radiación constante nocturna.
T3	Hora final de pérdida de radiación constante nocturna.
RTD	Radiación total diaria diurna (W.hora/m^2).
PER	Pérdida constante de radiación nocturna (W/m^2).

d) Línea de datos de temperatura.

<u>VARIABLE</u>	<u>DESCRIPCION</u>
T1	Temperatura media del día.
T01	Semioscilación diaria de la temperatura.
START	Temperatura uniforme del puente al comienzo.

e) Línea de datos de coeficiente de convección.

<u>VARIABLE</u>	<u>DESCRIPCION</u>
HCSUP	Coeficiente de convección en zona <u>superior</u> del tablero.
HCINF	Coeficiente de convección en zona <u>inferior</u> del tablero.
HCINT	Coeficiente de convección en zona <u>interior</u> del tablero.
HCLAT	

- f) Línea de incremento de tiempo y error máximo permitido en cada iteración.

<u>VARIABLE</u>	<u>DESCRIPCION</u>
DELTAT	Paso de tiempo.
ERROR	Error máximo en una iteración.

- g) Líneas de salida de resultados.

g-1)

<u>VARIABLE</u>	<u>DESCRIPCION</u>
NCD	Número de columnas de la malla de las que se desean resultados.

9.50

g-2)

<u>VARIABLE</u>	<u>DESCRIPCION</u>
NCR(I)	Número de la columna cuyos resultados interesan. Se repetirá esta línea NCD veces.

C A P I T U L O I X

REFERENCIAS BIBLIOGRAFICAS

- (1) PAECEMAN, D.W.; RACHFORD, H.H. "The numerical solution of parabolic and elliptic differential equations. Journal Society of Industrial and Applied Mathematics, V.3: 28-41.

C A P I T U L O X

CONCLUSIONES

10.1. CONCLUSIONES

1. Se ha realizado una revisión de la actual situación del estudio de los efectos térmicos en estructuras, y en puentes en particular, comentando las normativas existentes en los diversos países.
2. Se han señalado las variables térmicas que entran en juego en la definición del estado térmico de un puente como la conductividad y difusividad del hormigón, los valores de la radiación solar, las temperaturas ambiente, los coeficientes de convección y se han acotado los valores de todos ellos.
3. Acotados estos valores de las variables térmicas, se ha demostrado que el estado térmico de un puente (es decir, su campo de temperaturas) depende básicamente de su geometría (tipología del tablero) y sobre todo de las condiciones del contorno que serán la radiación solar incidente, o la radiación térmica emitida y la temperatura ambiente.
4. Se propone para estudiar el estado térmico de un puente, la utilización de los mapas de radiación solar y de datos de temperatura, publicados por el Instituto Nacional de Meteorología, para la obtención de los datos de radiación solar y de temperatura ambiente, en vez de utilizar unos valores normalizados para todo el territorio nacional.

5. Se ha efectuado una clasificación de los tableros de puente de acuerdo a su comportamiento térmico consistente en:

- a) Losas de diferentes espesores (0,40 ms, 0,60 ms, 0,80 ms y 1,00 ms.) debido a su diferente rango de comportamiento.
- b) Puentes con tablero de sección cajón.
- c) Puentes con sección multicelular.
- d) Puentes de vigas.

6. Se ha definido una nueva variable para caracterizar el estado térmico del puente que es la energía absorbida o emitida, y se ha desglosado en los diversos conceptos de energía de radiación, y energía de intercambio con el exterior por convección debido a la temperatura ambiente, en las diversas superficies del tablero de puente (figuras 7.31 y 7.32).

7. El comienzo de todo proceso de cálculo del campo térmico en un tablero de puente de cualquier tipo de sección, pue de hacerse suponiendo temperatura uniforme en todo el tablero de puente a las 8,00 horas, puesto que supuesta una simulación del comportamiento térmico durante 24 horas, al final del proceso, es decir, a las 8,00 horas del día siguiente, el campo de temperaturas es más uniforme, y por tanto cuando se produce menor gradiente de temperaturas.

8. La temperatura uniforme de comienzo del estudio térmico de tableros de puente de sección arbitraria no influye en las temperaturas máximas que se producen en el puente ni en la hora en que se producen.

Las temperaturas mínimas que se producen en un caso de día frío de invierno y la hora en que ocurren tampoco dependen de la temperatura inicial del proceso.

Efectivamente, las máximas temperaturas en un día caluroso se producen alrededor de las 15 horas en una zona muy limitada pegada al pavimento para decrecer luego rápidamente.

La mínima temperatura en un puente en invierno se produce durante la noche aproximadamente entre las 5,00 horas y las 6,00 horas y afecta a una zona de mayor espesor que en el caso de las temperaturas máximas, es decir, el gradiente de temperaturas es mayor en el caso de temperaturas máximas que en el instante de temperaturas mínimas.

9. El espesor del puente tampoco afecta a las temperaturas máximas o mínimas que se producen en el puente, en los supuestos de días de calor extremo y frío extremo.
10. Se define temperatura eficaz del puente a la temperatura que gobierna el movimiento longitudinal del tablero del puente. Referido únicamente al estado térmico, la temperatura eficaz es la temperatura media del puente.

La temperatura eficaz del puente en cada instante de tiempo, depende de forma lineal de las propiedades térmicas del puente, como son la conductividad y la difusividad, de la cantidad de materia que forma el puente, es decir, del volumen de hormigón, de la temperatura eficaz en el instante inicial, y de la energía total intercambiada con el ambiente. Si se supone energía intercambiada con el ambiente por unidad de superficie, la temperatura eficaz en el caso de losas no depende del volumen de hormigón sino directamente del canto. La expresión matemática de la temperatura eficaz está indicada en la fórmula 7.7, y la comprobación numérica se observa en la figura 7.34.

11. En el caso de puentes de sección cajón el forjado superior es el que intercambia la mayor parte de la energía calorífica, y se comporta térmicamente casi independiente del forjado inferior.
12. La influencia de la temperatura ambiente es fundamental en el estado térmico del puente y se puede suponer que la energía total absorbida por el puente en un día de 12 horas aumenta aproximadamente 120 W.hora por cada grado centígrado de variación de temperatura media ambiente, manteniendo fijas las demás variables.

Si para una misma temperatura media ambiente varía la oscilación, el pico de la temperatura corresponde a las ho-

ras diurnas. La variación de energía absorbida en las horas diurnas (entre las 10 horas y las 20 horas) es aproximadamente de 90 Watios.hora por cada grado de oscilación de la temperatura y la pérdida de energía durante la noche tiene también el mismo valor con lo cual el balance de 24 horas queda compensado, según se comentó en el punto anterior.

13. La influencia de la radiación solar sobre el estado térmico de un puente, medido a través de su energía absorbida es importante pero se ve compensada por la pérdida por convección que sufre la superficie al calentar el pavimento más que la temperatura ambiente, de forma que un aumento de la energía solar total diaria del 90% (de 5000 W.h/m^2 a 9500 W.h/m^2) supone solamente un aumento del 17% en la máxima energía instantánea absorbida (de 397 W/m^2 a 465 W/m^2 con los datos particulares utilizados) en el supuesto de mantener el resto de los factores fijos.
14. Efectuando un estudio paramétrico de la temperatura manteniendo fijo la radiación y las demás variables, y al revés, variando la radiación y dejando fijo el resto, se muestra una mayor influencia de la temperatura que de la radiación. No debe olvidarse que desde un punto de vista meteorológico ambas variables están unidas y solo se permite un pequeño juego de los valores de una respecto a la otra.

Ello muestra la conveniencia de la utilización de los mapas de temperatura y radiación para el estudio del estado térmico de un puente y para su utilización en una futura norma de efectos térmicos en estructuras.

15. El resto de variables térmicas que definen el problema térmico en tableros de puente, como son la conductividad térmica del hormigón, la difusividad térmica del hormigón, los coeficientes de convección térmica, apenas tienen influencia en el estado térmico del puente siempre que se mantengan dentro de los valores habituales definidos en el capítulo 1.

16. Mediante programas de ordenador se han definido los diagramas de temperatura en un tablero y de esta forma estos diagramas se pueden descomponer de forma que se estudien por separado los valores de:

-La dilatación térmica del puente. Se han considerado casos de condiciones ambientales extremas de frío y calor para comprobar el rango del valor de la dilatación.

-La curvatura de la sección. Igual que en el caso anterior se ha obtenido el rango de valores de la curvatura en un tablero isostático.

-Diagrama de autotensión térmica. Igual comentario que en los puntos anteriores. Se ha podido obtener valores de autotensión, en el hormigón situado inmediatamente debajo del pavimento, superiores a seis Megapascales aunque en un espesor pequeño; no obstante muestra la importancia de este estado tensional.

Las curvas obtenidas de las tres variables anteriores (figuras 7.51 a 7.57) están referidas a una determinada situación geográfica (ciertamente de condiciones extremas), y por lo tanto, no serán aplicables a otra posición en el territorio.

17. Se ha creado un programa de cálculo electrónico con salida gráfica que permite obtener la superficie de temperaturas $T = T(x, y)$ de cualquier sección de tablero de puente (losa, sección cajón, multicelular, puente de vigas) de manera que se puede observar de una manera cómoda y rápida, el estado térmico de cualquier tablero y la determinación inmediata de las zonas de mayores gradientes térmicos y por tanto de mayores tensiones térmicas.

18. Se ha efectuado un estudio tensional debido al estado térmico del puente y, siguiendo la pauta de los métodos de cálculo no lineal de estructuras mediante la utilización del diagrama Momentos-Curvatura, se propone una modificación en la forma de obtención de dicho diagrama de mane-

ra que se tengan en consideración los estados de autotensión a nivel sección.

19. Se constata la poca influencia que tiene el estado térmico en los estados últimos de resistencia de la sección.

20. Sí que tiene gran importancia en los estados límites de utilización, como lo demuestra la numerosa bibliografía y la preocupación existente en estos momentos.

Mediante la determinación de las condiciones ambientales, según se propone en esta tesis, se puede determinar el giro de la estructura con mayor precisión y así determinar la ley de momentos flectores de continuidad a lo largo de la viga, que se sumará a la ley de cargas.

El programa de cálculo en dos dimensiones permite definir el campo de temperaturas en zonas especialmente problemáticas como las almas de la sección cajón y de esta manera se puede definir el giro de esta parte de la sección supuesta libre. Mediante la aplicación de los conocimientos elementales de Resistencia de Materiales se podrán definir con precisión el valor de los momentos de continuidad a nivel sección.

21. Se han definido unos diagramas de temperatura para las diversos tipos de tablero de puente, puente losa (figura 7.100), puente de sección cajón (figura 7.28) y puente de vigas (figura 7.93), que sin embargo están sin acotar puesto que dependen de las condiciones ambientales de contorno.

Estos diagramas se pueden utilizar una vez conocidos los valores, dependientes de las condiciones ambientales, o bien, se pueden usar directamente los diagramas resultantes de los programas de cálculo electrónico, que utilizan también como datos las variables ambientales.

10.2. SUGERENCIAS

La primera sugerencia que se hace a través de esta tesis es la creación de una "Norma de acciones térmicas ambientales en puentes".

Esta norma podría ser una ampliación de la "Instrucción relativa a las acciones a considerar en el proyecto de puentes de carretera" o la "Instrucción relativa a las acciones a considerar en el proyecto de puentes de ferrocarril", u otra normativa independiente, según el criterio que desee emplear la Administración.

En caso de que la Administración española no deseé abordar la tarea de crear o implantar una norma del tipo sugerido en esta tesis, solamente para España, sí se sugiere el apoyo dentro de los organismos internacionales (Comisión Eurointernacional del hormigón CEB, Federación Internacional de Pretensado FIP), a la creación de una normativa con similares criterios para toda Europa. Los primeros pasos, dentro de estos organismos ya están dados, según se comenta en el Capítulo 2.

Se sugiere que el criterio básico de definición de las normas sea la utilización de mapas como las editadas por el Servicio Meteorológico Nacional y cuyos ejemplos se exponen en el Capítulo 4. No obstante estos mapas podrían precisar aún ciertas

to tratamiento, ya que, por ejemplo, los correspondientes a radiación máxima se refiere a "media de los valores máximos de cada mes" y no a los "máximos absolutos". Dicha normativa debería precisar estos conceptos, bien modificando los mapas o bien utilizando coeficientes correctores de los mismos.

Otro criterio indicado en esta tesis es la no fijación de una serie de parámetros que hasta ahora definían algunas normas, como pueden ser, el máximo movimiento longitudinal del tablero, o la máxima curvatura que puede adoptar un tablero, o el máximo gradiente en las almas.... ya que esto quedará fija-dado para cada situación geográfica del puente a partir de la utilización de los mapas descritos.

Esta sugerencia podría ser válida únicamente en puentes de cierta importancia como por ejemplo únicamente en tableros pretensados, o de luz superior a una determinada longitud. Este dato, en caso de su utilización, lo fijaría la norma.

Con el fin de determinar todos estos valores se sugiere para su aplicación por la futura norma, la creación de un programa estandar de ordenador que, a partir de los datos ambientales obtenga todos los resultados necesarios, como movimientos del tablero, curvatura, estado de autotensión, campo de temperaturas..., para los diversos tipos de tablero.

Una sugerencia para futuras investigaciones sería la determinación de las propiedades térmicas de los hormigones con mayor precisión, como la conductividad térmica, el coeficiente de dilatación, difusividad..., de los materiales constituyentes del puente ("hormigón + armaduras" considerado como un material continuo y del resto de sus materiales). La determinación de estas propiedades podrían dar lugar a ensayos específicos en puentes de suficiente importancia.

Otra propiedad térmica importante en ciertos casos, y que solamente se ha comentado en un punto de esta tesis, es la determinación de las curvas de calor de fraguado de los cementos en función del tiempo. Se indica la posibilidad de su conocimiento para aquellos hormigones a utilizar en tableros que tengan zonas con espesores superiores a 0,80 metros.

Se sugiere la normalización de ensayos para la determinación de las propiedades térmicas de los materiales constituyentes del puente.

Se sugiere la instrumentación térmica de puentes construidos en España, para su contraste con modelos numéricos, como el desarrollado en esta tesis. Afortunadamente, se están dando los primeros pasos en este sentido, con la instrumentación del puente de Barrios de Luna y los recientes casos de un puente losa instrumentado por la Escuela de Caminos de Barcelona, y la Ampliación del Muelle Reina Victoria en el Puerto de Santurce instrumentado por la Escuela de Caminos de Santander.

En el Capítulo 8 de esta tesis se propone un sistema de determinación del diagrama Momento-Curvatura, cuyo efecto está por cuantificar, por lo cual se abre otro camino de investigación para la determinación de este diagrama modificado y el estudio de la variación respecto al diagrama sin efectos térmicos.

A N E J O 1

PROGRAMA BRIDGE .

PROGRAMA PRINCIPAL PARA CALCULO DE TEMPERATURAS EN TAPLAFROS DE PUENTE

ESTE PROGRAMA CALCULA LA TEMPERATURA EN PUENTES DE SECCION
LOSA O SECCION CAJON BAJO LAS SIGUIENTES CARGAS TERMICAS
EXTERIORES:

- * CALCULO DIURNO: RADIACION INCIDENTE Sobre LA SUPERFICIE CON SU COEFICIENTE DE ABSORCION. TRANSMISION DE CALOR DE LA TEMPERATURA AMBIENTE CON SU COEFICIENTE DE CONVECCION
- * CALCULO NOCTURNO: EMISION DE RADIACION EN LA PARTE SUPERIOR CON SU COEFICIENTE DE EMISION. TRANSMISION DE CALOR DE LA TEMPERATURA AMBIENTE CON SU COEFICIENTE DE CONVECCION.

EXISTEN CUATRO POSIBILIDADES:

PUENTE LOSA	CALCULO DIURNO
PUENTE LOSA	CALCULO NOCTURNO
PUENTE CAJON	CALCULO DIURNO
PUENTE CAJON	CALCULO NOCTURNO

EL CALCULO SE EFECTUA POR DIFERENCIAS FINITAS Y METODO EXPLICITO
EL FLUJO DE CALOR ES UNIDIMENSIONAL VERTICAL

EL RESULTADO ES UN FICHERO DE SALIDA "RES.BRIDGE" CON LOS
VALORES DE LA TEMPERATURA EN UNA VERTICAL CADA CM. Y CADA HORA,
O BIEN UN DIBUJO EN PLUTTER DE ESTOS VALORES.

SE INDICA TAMBIEN EL BALANCE DE ENERGIAS DE CADA ORIGEN
CADA MUESTRAL.....

LIMPIAR LINEAS ARRI(152)+ARR2(152)+XX(152,20)+ZZ(152)+SIGMA(152)

DATX ARX1/152#0.0/

DATY ZZ/152#0.0/

DATZ XX/5040#0.0/

COMPILE: DOUBLE PRECISION

VALOR DE LA CONDUCTIVIDAD TERMICA DEL HORMIGON EN W/(M.K)

CONDUC=1.4

LEE Y ESCRIBE LOS PARAMETROS DE DESCRIPCION DEL PROGRAMA

OPEN 1, "DATOS"

OPEN 2, "RES.BRIDGE"

OPEN 3, "DIBUJO"

READ FREE(1) IX,IY,IZ

WRITE(2,270) IX,IY,IZ

IF (IX.EQ.1) GOTO 10

LEE Y ESCRIBE LAS VARIABLES NOCTURNAS

READ FREE (1) RTIM1,RTIM2,RTIM3,RTIM4,RADI,RADZ

READ FREE (1) STEMP1,STEMP2,STEMP3,START,TIM2

WRITE(2,280) RTIM1,RTIM2,RTIM3,RTIM4,RADI,RADZ

WRITE(2,290) STEMP1,STEMP2,STEMP3,START,TIM1

N=0

GOTO 20

LEE Y ESCRIBE LAS VARIABLES DIURNAS

READ FREE (1) SUNUPT,WIDTH,ITOTR

READ FREE (1) STEMP1,STEMP2,STEMP3,START,TIM1

WRITE(2,300) SUNUPT,WIDTH,ITOTR

WRITE(2,290) STEMP1,STEMP2,STEMP3,START,TIM1

LLE Y ESCRIBE LAS VARIABLES DE LA SECCION CAD DE
 READ FREE (1) DIST,INI,IN2,KUNST1,KUNST2,KUNST3,R,LEAVE
 WRITE(2,310) DIST,INI,IN2,KUNST1,KUNST2,KUNST3,R,LEAVE
 XX(3,20) = DIST
 XX(4,20) = IN1
 XX(5,20) = IN2
 XX(6,20) = I
 $\text{BETAB3} = 2^{\circ} \text{DIST} * \text{KUNST3} / \text{CONDUC}$
 $\text{ALPHA3} = -2 - \text{BETAB3}$
 $M1 = IN1 + 1$
 $I = IN1 + IN2$
 $ZZ(1) = 0$
 DO 32 JJ= 2,IN2
 $ZZ(JJ) = DIST + ZZ(JJ-1)$
 CONTINUE
 $ZZ(IN2 + 1) = ZZ(IN2)$
 DO 33 JJ=1,IN2+2,I
 $ZZ(JJ) = DIST + ZZ(JJ-1)$
 CONTINUE
 WRITE FREE (3) (ZZ(IP0),IP0=1,152)
 GOTO 40

LLE Y ESCRIBE LAS VARIABLES DE LA LOSA
 READ FREE (1) DIST,INI,KINST1,KINST2,R,LEAVE
 WRITE(2,320) DIST,INI,KINST1,KINST2,R,LEAVE
 XX(2,20) = IN1
 XX(3,20) = DIST
 XX(4,20) = 0
 $I = IN1 + 1$
 $ZZ(1) = 0$
 DO 31 JJ=2, I
 $ZZ(JJ) = DIST + ZZ(JJ-1)$
 CONTINUE
 WRITE FREE (3) (ZZ(I1), I1=1,152)

CALCULOS DE LAS CONSTANTES
 $\text{BETA1} = 2^{\circ} \text{DIST} * \text{KINST1} / \text{CONDUC}$
 $\text{BETA2} = 2^{\circ} \text{DIST} * \text{KINST2} / \text{CONDUC}$
 $\text{ALPHA1} = -2 - \text{BETA1}$
 $\text{ALPHA2} = -2 - \text{BETA2}$
 $ePSI = \text{DIFUSIVIDAD} * \text{INCREMENTO TIEMPO} / (\text{INCREMENTO ESPESOR})^{**2}$
 $\text{DIFUSIVIDAD} = 0.008E-04 M^{**2}/SEG$
 $\text{INCREMENTO DE TIEMPO} = 30 SEG = 0.01 HORAS$
 $ePSI = 0.00002139 / (DIST)^{**2}$

CONOCIMIENTOS INICIALES DE TEMPERATURA

DO 45 JJ=1,152
 $\text{ARR2}(JJ)=\text{START}$
 $XX(JJ,1) = \text{START}$

CONTINUE

WRITE(2,200) TIM1
 IF (1Y=.0.1) GOTO 46
 WRITE(2,230) (ARR2(L),L=1,INI)
 WRITE(2,235) (ARR2(L),L=M1+1)
 GOTO 41
 46 WRITE(2,230) (ARR2(L),L=1,INI)
 41 WRITE(2,220) START

INITIALIZACION DE LOS DATOS DE ENERGIA

ESTEMP=0.0
 $eTTEMP=0.0$
 $eRAD=0.0$

ETOTAL=0.0
EL = 0.0

AN1.3

47 TIME=TIME+1
LL=0
LL ES EL CONTADOR DEL NÚMERO DE VECES QUE HADE LA ITERACIÓN
PERO SOLO SE GUEDA CON UN VALOR DE CADA 100.....

50 TIME = TIME + 0.01000000000
EMIT = ABS(TIME - AINT(TIME+1))
SI EMIT =0 : ES HORA ENTERA
LL = LL + 1
IF (TIME>LE+24) GOTO 50
TIME=TIME-24
N=1
50 IF (IX.+Q.+1) GOTO 70
COMPARA CON LAS CONDICIONES FINALES *****NOCHE*****
IF (N.EQ.1.AND.TIME.GE.RTIME4) GOTO 110
LLAMA A LAS SUBRUTINAS DE TEMPERATURA Y RADIACION NOCTURNA
CALL RAUD(RTIME1,RTIME2,RTIME3,RTIME4,RADI1,RADI2,
1 RCUN,DIST,R,CONDUC,TIME,N,ERAD)
CALL NTTEMP(STEMP1,STEMP2,STEMP3,TIME,TEMP4,N)
GOTO 80
COMPARA CON LAS CONDICIONES FINALES *****DIURNOS*****
70 IF (TIME.GE.SUNUPT+WIDTH) GOTO 110
LLAMA A LAS SUBRUTINAS DE RADIACION Y TEMPERATURA DIURNAS
CALL RAD(SUNUPT,TIME+WIDTH,ITOTR,RCUN,EST,R,CONDUC,ERAD)
CALL TEMP(STEMP1,STEMP2,STEMP3,TIME,TEMP4)
GOTO 110

110 IF (I>.EQU.1) GOTO 60
IF (IZ.NE.-2) GOTO 60
IF (FV1T.GT.0.0001) GOTO 60
ESCRIBE TIEMPO, TEMPERATURA AMBIENTE
WRITE(2,200) TIME
3 WRITE(2,200) TEMP4
3 IF (IY.+Q.+1) GOTO 80

LLAMA A LA SUBRUTINA DE GRADIENTE DE TEMPERATURA EN SOLUCION CAJON
CALL PROFBLARR1,ARR2,ALPHAZ1,ALPHAZ2,ALPHAS,BETA1,BETA2,
1 BETA3,TEMP4,RCUN,IN1,IN2,XX+LL,FAD1+ESTEMP+FTEMP+ECEN
2 +KUNST1+KUNST2+KUNST3
IF (IZ.EQU.1) GOTO 85
IF (IZ.NE.-2) GOTO 94
IF (EMIT.GT.0.0001) GOTO 94
ESCRIBE EL GRADIENTE DE TEMPERATURAS EN LA SECCION CAJON
ESTEMP=ESTEMP/100
EITEMP=EITEMP/100
ERAD=ERAD/100
ECEN=ECEN/100
ETOTAL=ESTEMP+EITEMP+ERAD
WRITE(2,410) ESTEMP,EITEMP,ERAD+ETOTAL
WRITE(2,411) ECEN
ESTEMP=0.0
EITEMP=0.0
ERAD=0.0
ECEN=0.0

```

ETOTAL=0.0
WRITE(2,230) (ARR1(L),L=1,IN1)
WRITE(2,235) (ARR1(K)+K=M1+1)
CONTINUO
CALL MEANB(ARR1,ARR2,TNL,IN2,--MPM1,T=MPM2,LEAVE)
ESCRIBE LA TEMPERATURA EFICAZ DEL PUENTE EN SECCION CAJON
WRITE(2,250) TEMP1
WRITE(2,260) TEMP2
GOTO 94

```

```

LLAMA A LA SUBRUTINA DE GRADIENTE DE TEMPERATURA EN LOSAS
CALL PROF(ARR1+ARR2,ALPHA1,ALPHA2,BETA1,BETA2,
TEMP4,RCON,IN1,XX,LL,EPsi,ESTEMP,EITEMP,KONST1,KUNST2
,START,TA1,T1,T2,CURV,DIST,SIGMA)
IF (IZ.EQ.1) GOTO 95
IF (IZ.EQ.2) GOTO 94
IF (eM1T.GT.0.0001) GOTO 44
ESCRIBE GRADIENTE DE TEMPERATURA EN LOSAS
ESTEMP=STEMP/100
EITEMP=EITEMP/100
ERAD=ERAD/100
ETOTAL=ESTEMP+EITEMP+ERAD
WRITE(2,410) STEMPS+ITEMPS+ERADS,ETOTAL
ESTEMP=0.0
EITEMP=0.0
ERAD=0.0
ETOTAL=0.0
WRITE(2,280) (ARR1(L)+L=1,IN1)
CONTINUO
CALL MEAN(ARR1,ARR2,1+1,4+TEMP,LEAVE)
ESCRIBE LA TEMPERATURA EFICAZ EN LA LOSA
WRITE(2,240) AMTEMP
WRITE(2,242) T2,T1
WRITE(2,2430) EA1,CURV
WRITE(2,250)
WRITE(2,2610) (SIGMA(I9), I9=1,IN1)
WRITE(2,244) 
INICIA TIEMPO Y VUELVE
GOTO 60
XX(1,20)=INT((1.0*LL)/100+1)
WRITE(FPEF,(3)(XX(1,J),J=1,20),I=1,152)
STOP

```

```

INSTRUCCIONES FORMAT
FORMAT(//,1H0,10X+BHT1=MPU =,F6.2," HORAS")
FORMAT(1H +10X,"TEMPERATURA AMBIENTE =",F6.2," GRADOS")
FORMAT(5(1H +15X,F6.2))
FORMAT(/,5(1H +15X,F0.2))
FORMAT(1H ,10X,"TEMPERATURA EFICAZ DEL PUENTE =",F6.2)
FORMAT(1H +10X,"TEMPERATURA EFICAZ DEL
    PUENTE SUPERIOR =",F0.2)
FORMAT(1H +10X,"TEMPERATURA EFICAZ DEL
    PUENTE INFERIOR =",F0.2)
FORMAT(1H0,25X,9H(100) +3(1,I1X))
FORMAT(1H +25X+3H(200) +6(F6.2,1X))
FORMAT(1H +25X,9H(300) +5(F6.2,1X))
FORMAT(1H +25X,8H(200) +2(F6.2,1X)IX,I4)
FORMAT(1H +25X,9H(400) +F6.3+2X+5(12,1X),F5.2,2X,11)
FORMAT(1H +25X,9H(400) F5.3,2X,13,1X+2(12,1X),F5.2+2X,11)

```

```

410 FORMAT(//,"ENERGIA GANADA (+), POR TEMPERATURA EN LA CARA
1 SUPERIOR EN UNA HORA= ",F8.2," (W/M**2)"/,"ENERGIA GANADA (+),
1 POR TEPERATURA EN LA CARA INFERIOR EN UNA HORA= ",F8.2,
1 "(W/M**2)"/,"ENERGIA GANADA (+), POR RADIACION EN LA CARA SUPERIOR
1 EN UNA HORA= ",F8.2," (W/M**2)"/,"ENERGIA TOTAL GANADA (+) POR
1 EL TABLERO EN UNA HORA= ",17A,F8.2," (W/M**2)"/,
1 FORMAT("ENERGIA QUE PASA DEL FORJADO SUPERIOR AL FORJADO INFERIOR (+)
1 ",F8.2," (W/M**2)"/)
0 FORMAT(///,"TEMPERATURA EN BORDE SUPERIOR DE LA LOSA EN DIAGRAMA"
1 "+ DE AUTOTENSION ",F5.2"/,"TEMPERATURA EN BORDE INFERIOR DE LA "
1 "LOS A EN DIAGRAMA DE AUTOTENSION ",F6.2)
0 FORMAT(///,"DILATACION UNITARIA UNIFORME DEL TABLERO =",F11.8,
1 "(M/M) (+ = ALARGAMIENTO)",/,"CURVATURA DEL TABLERO =",F12.8,
1 "(+ = ALARGAMIENTO EN FIBRA SUPERIOR => CENTRO DE CURVATURA "
1 ",DEBAJO DEL TABLERO)")
00 FORMAT(//+10X,"TENSIONES DE AUTOTENSION EN LA SECCION (MEGAPASCALES)"
1 "+ (+) = COMPRESSION")
10 FORMAT(0(14,F10.0))
44 FORMAT(///+100("#"),////////)
CLOSE 1
CLOSE 2
CLOSE 3
END

```

SUBRRUTINA RAD

SUBRRUTINA PARA CALCULO DE LA RADIACION DIARIA

```

SUBROUTINE RAD(A,B,C,D,E,F,G,H,ER)
COMPILER DCUBLE PRECISION
P=8-0.005
ANG=3.1415926*(P-A)/C
RADN=2*D*(SIN(ANG)**2)/C
ER=ER+RADN*C
E=2*F*G*RADN/H
RETURN
END

```

SUBRRUTINA NRAD

SUBRRUTINA PARA CALCULO DE LA IRRADIACION NOCTURNA

```

SUBROUTINE NRAD(T1,T2,T3,T4,R1,R2,A,E,C,D,T,N,ER)
COMPILER DCUBLE PRECISION
T5=T-0.005
IF (T5.LE.T1.AND.N.EQ.0) GOTO 22
SLOPE1=(-110-R1)/(T2-T1)
SLOPE2=(R2+110)/(T4-T3)
IF (N.EQ.1) GOTO 20
IF (T5.GT.T2) GOTO 10
RADN=SLOPE1*(T5-T1)+R1
GOTO 40
10 RADN=-110
GOTO 40
20 IF (T5.GT.T3) GOTO 30
RADN=-110
GOTO 40
30 RADN=SLOPE2*(T5-T3)-110
40 A=2*B*C*RADN/D
GOTO 23
22 A=0
RADN=0
23 ER=ER+RADN*C
RETURN
END

```

SUBRUTINA NTEMP

SUBRUTINA PARA CALCULO DE TEMPERATURA
AMBIENTE NOCTURNA

```
SUBROUTINE NTEMP(T1,T2,T3,T,T4,N)
COMPILE R DOUBLE PRECISION
P=T-0.005
SLOPE1=(T2-T1)/14
SLOPE2=(T3-T2)/10
IF(N.EQ.1) GOTO 10
T4=SLOPE1*(P-15)+T1
GOTO 30
10 IF(P.GT.5.0) GOTO 20
P=P+24
T4=SLOPE1*(P-15)+T1
GOTO 30
20 T4=SLOPE2*(P-5)+T2
30 RETURN
END
```

SUBRUTINA TEMP

SUBRUTINA PARA EL CALCULO DE LA TEMPERATURA
AMBIENTE DIURNA

```
SUBROUTINE TEMP(T1,T2,T3,T,T4)
COMPILE R DOUBLE PRECISION
P=T-0.005
SLOPE1=(T2-T1)/10
SLOPE2=(T3-T2)/14
IF(P.GT.15) GOTO 10
T4=SLOPE1*(P-5)+T1
GOTO 20
10 T4=SLOPE2*(P-15)+T2
20 RETURN
END
```

SUBRUTINA MEAN

SUBRUTINA PARA CALCULO DE TEMPERATURA EFICAZ
EN PUENTES LUSA

```
SUBROUTINE MEAN(P,Q,I,T,N)
COMPILE R DOUBLE PRECISION
DIMENSION P(152),Q(152)
T = 0
K = I-1
IN = N+1
DO 10 M = IN,K
P(M) = (Q(M)+Q(M+1))/2
10 CONTINUE
DO 20 L = IN,K
T = T+P(L)
20 CONTINUE
T = T/(N-I)
RETURN
END
```

SUBRUTINA MEANB

SUBRUTINA PARA CALCULO DE LA TEMPERATURA EN LA SECCION CAJON E F I L A Z

SUBROUTINE MEANB(P,Q,I1,I2,T1+T2,T5)

COMPILER DOUBLE PRECISION

DIMENSION P(152),Q(152)

INTEGER H

T1 = 0

T2 = 0

L = 1S+1

IN = (I1-1)

DO 10 J = L,IN

P(J) = (Q(J)+Q(J+1))/2

10 CONTINUE

DO 20 K = L,IN

T1 = T1+P(K)

20 CONTINUE

T1 = T1/(I1-L)

L = 1I+1

I3 = (I1+I2)-1

DO 30 H = L,I3

P(H) = (Q(H)+Q(H+1))/2

30 CONTINUE

DO 40 M = L,I3

T2 = T2+P(M)

40 CONTINUE

T2 = T2/(I3-I1)

RETURN

END

SUBRUTINA PROFB

SUBRUTINA PARA CALCULO DEL GRADIENTE DE TEMPERATURA EN PUENTES DE SECCION CAJON

SUBROUTINE PROFB(P,Q,A,B,C,D,E,F,G,R,I1,I2,XX,LL,E1+ES,E1+EC,K1,K2,K3)

COMPILER DOUBLE PRECISION

DIMENSION P(152),Q(152),XX(152,20)

INTEGER H

P(1) = E1*(A#Q(1)+2#Q(2)+D#G+R) + Q(1)

ES=ES+K1*(G-Q(1))

N1 = I1-1

DO 10 I = 2,N1

P(I) = E1*(Q(I-1)-2#Q(I)+Q(I+1)) + Q(I)

10 CONTINUE

P(I1) = E1*(B#Q(I1)+2#Q(N1)+E#Q(I1+1)) + Q(I1)

P(I1+1) = E1*(B#Q(I1+1)+2#Q(I1+2)+E#Q(I1)) + Q(I1+1)

EC=EC +<2*(Q(I1)-Q(I1+1))

J = (I1+2)

K = (I1+12-1)

M = (I1+12)

DO 20 L = J,K

P(L) = E1*(Q(L-1)-2#Q(L)+Q(L+1)) + Q(L)

20 CONTINUE

P(M) = E1*(C#Q(M)+2#Q(K)+F#G) + Q(M)

E1=E1+K3*(G-Q(M))

DO 30 H=L,M

Q(H) = P(H)

BA = (LL#1.0)/100

BB=ABS(-AIN(T,B4)-BA)

IF(BB.GT.0.001) GO TO 30

XX(M+1-I,BA+1) = P(H)

30 CONTINUE

RETURN

END

SUBRUTINA PROF

SUBRUTINA PARA CALCULO DE GRADIENTE DE TEMPERATURA
EN PUENTES LUSA

```

SUBROUTINE PROF(P,Q,A,B,C,D,E,F,I,XX,LL,EI,K1,K2
1 START,E1,T1,T2,CURV,DIST,SIGMA)
COMPILE DOUBLE PRECISION
DIMENSION P(152),Q(152),XX(152,20),SIGMA(152)
P(1) = E1*(A*B(1)+2*B(2)+(C*D)+F) + Q(1)
ES=ES + K1*(E-Q(1))
L = I-1
D1 10 J =2,L
P(J) = E1*(Q(J-1)-2*Q(J)+Q(J+1)) + Q(J)
CONTINUE
P(I) = E1*(B*Q(I)+2*Q(I-1)+D*E) + Q(I)
EI=EI +(2*(E-Q(I)))
D0 20 K = 1,1
Q(K) = P(K)
BA = (1.0-LL)/100
BB = ABS(AINT(BA) - BA)
IF (BB.GT.0.0001) GOTO 20
XX(I+1-L,BA+1) = P(K)
CONTINUE

MODIFICACION INTRODUCIDA EL 14.02.65 PARA DATOS DE AUTOTENSION
1 IF (BB.GT.0.0001) GOTO 50
ALFA=1.E-05
DD=(I-1)*DIST
P1=(P(1)+P(I))/2
P2=(P(1)-P(I))*DD/4
D3 40 J=2+I-1
P1=P1+P(J)
P2=P2+(DIST*(I-J)-DD/2)*P(J)
40 CONTINUE
T2=12*D1*T*P2/(DD*DD)
T1=D1*T*P1/D0-T2/2
EA2=ALFA*T2
EA1=ALFA*(T1+T2/2-START)
CURV=EA2/DD
T2=T1+T2
YOUNG=30000
EA11=ALFA*(T1-START)
D1 50 II=1,I
SIGMA(II)=YOUNG*(EA11+EA2*((DD-(II-1)*DIST)/DD)-ALFA*(P(II)-START))
50 CONTINUE
CONTINUE

RETURN
END

```

A N E J O 2

PROGRAMA CAL2D

```
*****  
CAL2D  
*****
```

```
*****  
EMA /AB/, /CD/, /EF/, /ESC/  
FILES 7,7  
REAL*4 K  
COMMON /AB/ TEM(0:100,0:100),TEI(100,100),NCOL,NFIL,DELTAT,D  
COMMON /CD/ SF(100,100),Q(100,100)  
COMMON /EF/ K(0:100,0:100,2)  
COMMON /IRRA/ T11,T2,T3,RTD,PER,RAD,ERROR  
COMMON /MET/ TEMP,T1,T01,START,HCSUP,HCINF,HCINT,HCLAT  
COMMON /ESC/ IB(100,100),NCD,NCR(30),IFE  
  
OPEN(88,FILE='D.CAL::11')  
OPEN(99,FILE='RE.CAL::11')  
OPEN(95,FILE='PRUEBA::11')  
OPEN(90,FILE='PLOT::11')  
  
300 WRITE(1,300)  
FORMAT(/,"CALL INPUT")  
CALL INPUT ! Llama a subrutina de entrada de datos  
  
Comienza la simulacion  
  
TIME = 8.0  
N = 0  
100 WRITE(90,400) 0.,0.,(NFIL-1)*D,(NCOL-1)*D,D,D  
FORMAT(6(F10.4))  
  
WRITE(99,220)  
DO 350 J=1,NFIL:  
WRITE(99,230) (IB(I,J),I=1,NCOL)  
350 CONTINUE  
120 FORMAT(20X,"SECCION DEL PUENTE",//,2X,7(9X,"*"))  
130 FORMAT(2X,80(I1))  
WRITE (99,200)  
WRITE (99,210) TIME,DELTAT,START  
200 FORMAT(///,"*****COMIENZO DE LA SIMULACION*****")  
210 FORMAT(//,10X,"HORA INICIAL =",F4.2," HORAS",/,10X,"INCREMENTO"  
1," DE PASO DE TIEMPO =",F4.2," HORAS",/,10X,"TEMPERATURA "  
1,"UNIFORME EN EL PUENTE =",F6.2," GRADOS",//,20X,20(" "),//,10X)  
  
3000 TIME = TIME + DELTAT  
  
* Impone las condiciones ambientales de temperatura en contorno  
CALL PRED (TIME) ! Predice las temperaturas  
CALL ATMOS (TIME,N) ! Obtiene los datos atmosfericos  
  
Comienza el calculo  
  
ITER = 0  
3000 E = 0.0  
ITER = ITER + 1
```

```
DO 6000 I =1, NCOL
CALL COLUM(I,E)
)0 CONTINUE
```

Calculo por filas

```
DO 5000 J =1, NFIL
CALL FILAS(J,E)
)0 CONTINUE
```

Chequea el error

```
WRITE (1,*) E
```

```
IF (E.GT.ERROR) GOTO 8000
```

```
4 IF (TIME-24) 4200,4100,4100
```

```
)0 TIME = TIME - 24
```

```
N = 1
```

```
)0 IF(ABS(TIME-INT(TIME)).LT.0.001) CALL PRINT (TIME,E,ITER)
```

```
IF(N.EQ.1.AND.TIME.GE.8) GOTO 3000
```

```
GOTO 9000 ! Vuelve al comienzo, incrementando tiempo
```

```
)0 WRITE(99,3100)
```

```
WRITE(1,3100)
```

```
)0 FORMAT(///,"FIN DE LA SIMULACION")
```

```
CLOSE (88)
```

```
CLOSE (99)
```

```
CLOSE (90)
```

```
CLOSE (95)
```

```
STOP
```

```
END
```

SUBRUTINA RADIA

***** Subrutina para calculo de la radiacion a lo largo de 24 horas. Comienza a las 8 AM y se supone ley doble senoidal durante el dia y ley trapezoidal negativa durante la noche.

* TI1 = Hora de comienzo de radiacion
 * T5 = Hora final de rad. y comienzo de rad. nocturna
 * T2 = Hora de comienzo de perdida de rad. const. nocturna
 * T3 = Hora final de perdida de rad. const. nocturna
 * T4 = TI1, Hora de rad. nula por la mañana
 * PER = Perdida const. de rad. nocturna (W/m²)
 * REFLE= Reflexion de la superficie (Dia=0.9, Noche=0.5)
 * RTD = Radiacion total diaria diurna (W/hora/m²)
 * RAD = RADIACION INSTANTANEA EN EL TIEMPO DELTAT (W/m²)

ICAL2DI *

SEMA /AB/

Subroutine RADIA (TIME,N)
 COMMON /AB/ TEM(0:100,0:100),TEI(100,100),NCOL,NFIL,DELTAT,D
 COMMON /IRRA/ T11,T2,T3,RTD,PER,RAD,ERROR
 T5 = 24.5 - TI1
 T4 = 23.5 + TI1
 DS = 25 - 2*TI1
 IF (T5.GT.T2) T2=T5+0.5
 IF(N.EQ.1) GOTO 100
 IF(TIME.LE.T5) GOTO 10
 GOTO 20 ! Puesto que debe ser TIME<T2

* Radiacion diurna en forma senoidal al cuadrado
 10 ANG = 3.14159*(TIME-(TI1-0.5)-(DELTAT/2))/DS
 REFLE = 0.9
 RAD = (REFLE*2*RTD*(SIN(ANG)*(SIN(ANG)))/DS)
 GOTO 999

* Perdida nocturna de radiacion creciente
 20 IF (TIME.GT.T2) GOTO 40
 PEND = PER/(T2-T5)
 REFLE = 0.5
 RAD = (REFLE*(TIME-(DELTAT/2)-T5)*PEND)+
 IF(N.EQ.1) TIME = TIME -24
 IF(N.EQ.1) T2 = T2-24
 GOTO 999

* **DIA SEGUNDO**
 100 IF(TIME.LE.T2.AND.T2.LE.12) GOTO 30
 IF(TIME.LE.T3) GOTO 40
 IF(TIME.LE.T4) GOTO 50
 GOTO 10 ! Es radiacion diurna. Dia siguiente

* Perdida nocturna de radiacion creciente
 30 TIME = TIME +24
 T2 = T2 +24
 GOTO 20

* Perdida constante de radiacion nocturna
 40 REFLE = 0.5
 RAD = REFLE*PER
 GOTO 999

```

50 PEND = (0-PER)/(T4-T3)
REFLE = 0.5
RAD = REFLE*(TIME-(DELTAT/2)-T4)*PEND
999 return
end

```

SUBRRUTINA PRED

***** Subrrutina para predecir la temperatura en un instante, conocidos los datos en instantes anteriores, mediante extrapolacion lineal de datos.

EMA /AB/

```

SUBROUTINE PRED(TIME)
COMMON /AB/ TEM(0:100,0:100),TEI(100,100),NCOL,NFIL,DELTAT,D
EMA DL (100,100)
DO 20 I=1, NCOL
DO 20 J=1, NFIL
IF(ABS(TIME-8).LT.0.001) DL(I,J)=0.0
DA = TEM(I,J)-TEI(I,J)
TEI(I,J) = TEM(I,J)
F = 1.0
IF (ABS(DL(I,J)).LT.0.010) GOTO 10
STEP=(TIME-8)/DELTAT
IF (STEP.GT.1.999) F=DA/DL(I,J) ! Despues del segundo paso
IF (F.GT.5) F=5.0
IF (F.LT.0.0) F=0.0
10 DL(I,J) = DA
20 TEM(I,J) = TEM(I,J) + DA*F
RETURN
END

```

SUBRRUTINA TEMPE

***** Subrrutina para calculo de temperaturas, segun una ley senoidal con el valor medio a las 8 AM y periodo de 24 horas.

***** T1 es la temperatura media de la sinusode *****
***** TO1 es la oscilacion de la sinusode ***** ICAL2DI *****

```

subroutine TEMPE (TIME,N)
COMMON /MET/ TEMP,T1,TO1,START,HOSUF,HCINF,HCINT,HCLAT
AA=TIME
IF (N.EQ.0) AA = TIME +24
TEMP = T1 + TO1*(SIN(2*3.14159*(AA-8)/24))
return
end

```

SUBRUTINA ATMOS.

 *** Subrutina para la introducción de los datos atmosféricos en el contorno del recinto.

MA /AB/, /CD/, /ESC/

SUBROUTINE ATMOS (TIME,N)

```
COMMON /AB/ TEM(0:100,0:100),TEI(100,100),NCOL,NFIL,DELTAT,D
COMMON /CD/ SF(100,100),Q(100,100)
COMMON /IRRA/ TI1,T2,T3,RTD,PER,RAD,ERROR
COMMON /MET/ TEMP,T1,TO1,START,HCSUP,HCINF,HCINT,HCLAT
COMMON /ESC/ IB(100,100),NCD,NCR(30),IPE
```

Llama a subrutina de temperaturas

CALL TEMPE (TIME,N)

Llama a subrutina de calculo de la irradiacion

CALL RADIA (TIME,N)

Temperatura de todos los puntos del aire igual a la temperatura ambiente

```
DO 30 II=1,NCOL
DO 40 J1=1,NFIL
IF(IB(II,J1).EQ.1) TEM(II,J1) = TEMP
IF(IB(II,J1).EQ.2) TEM(II,J1) = TEMP
IF(IB(II,J1).EQ.1) TEI(II,J1) = TEMP
IF(IB(II,J1).EQ.2) TEI(II,J1) = TEMP
CONTINUE
CONTINUE
```

Generacion interna de calor en superficie = RAD.
Resto nula

```
DO 20 II=1,NCOL
Q(II,1)=0.0
Q(II,2)=(RAD/D)*(D*D) !!(w/m2/m) * m2 = w/m
DO 20 KK=3,NFIL
Q(II,KK)=0.0
CONTINUE
Q(1,2)=0.0
```

RETURN

END

SUBRRUTINA COLUM

***** Subrrutina para el calculo de temperaturas por COLUMNAS
 ***** en un recinto rectangular.
 ***** El programa principal es el &CAL2D

```
SEMA /AB/, /CD/, /EF/
Subroutine COLUM (I,E),
REAL*4 K
COMMON /AB/ TEM(0:100,0:100), TEI(100,100), NCOL,NFIL,DELTAT,D
COMMON /CD/ SF(100,100), Q(100,100)
COMMON /EF/ K(0:100,0:100,2)
EMA B(0:100), G(0:100)
```

Calculo de las matrices auxiliares B y G

```
DELTAT = DELTAT*3600      ! Paso del tiempo a segundos
B(0)=0.0
G(0)=0.0
DO 170 J=1, NFIL
  BB = SF(I,J)*(D*D) / DELTAT          ! W/(m.K)
  DD = TEI(I,J) * SF(I,J)*(D*D)/ DELTAT + Q(I,J)    ! W/m
  AA = 0.0
  CC = 0.0
  IF (J-1) 90,100,90
  90  AA = -K(I,J-1,1)
  BB = BB + K(I,J-1,1)
100  IF (J-NFIL) 110,120,110
110  CC = -K(I,J,1)
  BB = BB + K(I,J,1)
120  IF (I-1) 130,140,130
130  BB = BB + K(I-1,J,2)
  DD = DD + TEM(I-1,J) * K(I-1,J,2)
140  IF (I-NCOL) 150,160,150
150  BB = BB + K(I,J,2)
  DD = DD + TEM(I+1,J) * K(I,J,2)
160  W = BB - AA*B(J-1)

  B(J) = CC/W
  G(J) = (DD - AA*G(J-1))/W
```

170 CONTINUE

DELTAT = DELTAT/3600 ! Paso del tiempo a horas

* Calcula las temperaturas

```
E = E + ABS(TEM(I,NFIL)-G(NFIL))      ! Suma el error
TEM(I,NFIL) = G(NFIL)
NN = NFIL - 1
180  TE = G(NN) - B(NN) * TEM(I,NN+1)
  E = E + ABS(TE - TEM(I,NN))           ! Suma los errores

  TEM(I,NN) = TE                      ! Obtencion de las temperaturas

  NN = NN-1
  IF (NN) 190,190,180
190  CONTINUE
  Return
end
```

SUBRUTINA FILAS

***** Subrutina para el calculo de temperaturas por FILAS
 ***** en un recinto rectangular
 ***** El programa principal es el &CAL2D.

```
DEMA /AB/, /CD/, /EF/
Subroutine FILAS (J,E)
REAL*4 K
COMMON /AB/ TEM(0:100,0:100), TEI(100,100), NCOL,NFIL,DELTAT,D
COMMON /CD/ SF(100,100), Q(100,100)
COMMON /EF/ K(0:100,0:100,2)
EMB B(0:100), G(0:100)
```

Calculo de las matrices auxiliares B y G

DELTAT = DELTAT*3600 ! Paso del tiempo a segundos

B(0)=0.0

G(0)=0.0

DO 280 I=1, NCOL

BB = SF(I,J)*(D*D) / DELTAT !W/(m.K)

DD = TEI(I,J) *SF(I,J)*(D*D)/DELTAT + Q(I,J) !W/m

AA = 0.0

CC = 0.0

IF (J-1) 200,210,200

200 BB = BB + K(I,J-1,1)

DD = DD + TEM(I,J-1)*K(I,J-1,1)

210 IF (J-NFIL) 220,230,220

220 DD = DD +TEM(I,J+1) * K(I,J,1)

BB = BB + K(I,J,1)

230 IF (I-1) 240,250,240

240 BB = BB + K(I-1,J,2)

AA = -K(I-1,J,2)

250 IF(I-NCOL) 260,270,260

260 BB = BB + K(I,J,2)

CC = -K(I,J,2)

270 W = BB - AA * B(I-1)

B(I) = CC/W

G(I) = (DD-AA * G(I-1))/W

280 CONTINUE

DELTAT = DELTAT/3600 !Paso del tiempo a horas

Calcula las temperaturas

E = E + ABS(TEM(NCOL,J) - G(NCOL)) ! Suma el error

TEM(NCOL,J) = G(NCOL)

NN = NCOL - 1

290 TE = G(NN) - B(NN) * TEM(NN+1,J)

E = E +ABS(TEM(NN,J)-TE) ! Suma los errores

TEM (NN,J) = TE ! Obtencion de las temperaturas

NN = NN-1

IF (NN) 300,300,290

300 CONTINUE

return

end

SUBRUTINA PRINT

*
*
*
*
*

PRINT

SEMA /AB/, /ESC/

```

SUBROUTINE PRINT (TIME,E,ITER)
COMMON /AB/ TEM(0:100,0:100),TEI(100,100),NCOL,NFIL,DELTAT,D
COMMON /ESC/ IB(100,100),NCD,NCR(30),IPE
COMMON /IRRA/ TI1,T2,T3,RTD,PER,RAD,ERROR
COMMON /MET/ TEMP,T1,TO1,START,HCSUP,HCINF,HCINT,HCLAT

WRITE (99,110) TIME,TEMP,RAD,E,ITER

WRITE (99,140) (NCR(I1),I1=1,NCD)
WRITE (99,150)

DO 100 J = 1, NFIL
WRITE(99,120)((TEM(NCR(I),J),I=1,NCD)
100 CONTINUE

WRITE(99,130)

```

Modificaciones para permitir el dibujo en plotter

```

IF(ABS(TIME-15).LE.0.01)
1WRITE (90,200)((TEM(I,J),J=NFIL,1,-1),I=1,NCOL)
IF(ABS(TIME-21).LE.0.01)
1WRITE (90,200)((TEM(I,J),J=NFIL,1,-1),I=1,NCOL)
IF(ABS(TIME-3).LE.0.01)
1WRITE (90,200)((TEM(I,J),J=NFIL,1,-1),I=1,NCOL)
IF(ABS(TIME-3).LE.0.01)
1WRITE (90,200)((TEM(I,J),J=NFIL,1,-1),I=1,NCOL)
200 FORMAT (F12.4/)

110 FORMAT(//,10X,"TIEMPO =",F5.2," HORAS",/,10X,"TEMPERATURA ="
A,F6.2," GRADOS",/,10X,"RADIACION INSTANTANEA =",F9.2," W/m2"
A,/,10X,"ERROR TOTAL EN LA ITERACION = ",F10.4,/,10X
A,"ITERACION NUMERO ",I5,//)
120 FORMAT (12(2X,F4.1))
130 FORMAT (//,20X,20("*"),//)
140 FORMAT (/, (" ",12(I2,"") ))
150 FORMAT (//)

RETURN
END

```

SUBRUTINA INPUT

* I N P U T
* *****

SEMA /AB/, /CD/, /EF/, /ESC/

SUBROUTINE INPUT

```

REAL*4 K
COMMON /AB/ TEM(0:100,0:100), TEI(100,100); NCOL, NFIL, DELTAT, D
COMMON /CD/ SF(100,100), Q(100,100)
COMMON /EF/ K(0:100,0:100,2)
COMMON /IRRA/ TI1,T2,T3,RTD,PER,RAD,ERROR
COMMON /MET/ TEMP,T1,T01,START,HCSUP,HCINF,HCINT,HCLAT
COMMON /ESC/ IB(100,100),NCD,NCR(30),IPE
COMMON /P1/ ND(5),NU(5),C(4,4),UE(10),IND
COMMON /P2/ LH,MU,M1,M2,M3,M4,L1

```

Lectura de los datos del fichero 88
 Datos de la geometria de la seccion

```

** NH = Numero de huecos de TCDA la seccion
** AS = Semiancho de tablero superior (Metros)
** AI = Semiancho de tablero inferior "
** AU = Altura total "
** EV1 = Espesor de las almas interiores "
** EV2 = Espesor del alma exterior "
** ES = Espesor de forjado superior, sin mezcla "
** EI = Espesor de forjado inferior "
** H = Anchura de los huecos "
** D = Lado de la reticula "
** EMB = Espesor de la mezcla bituminosa "

```

IPE=1

```

READ (88,*) NH,AS,AI,AU,EV1,EV2,ES,EI,H,D,EMB
WRITE(95,*) IPE,NH,AS,AI,AU,EV1,EV2,ES,EI,H,D,EMB

```

Propiedades termicas C(I,J) (I= Elemento, J= Propiedad)

I=1	== Aire	J=1	== Densidad (kg/m ³)
I=2	== Mezcla bituminosa	J=2	== Calor especifico (j/kg.K)
I=3	== Hormigon	J=3	== Conductividad vertical (w/m.K)
I=4	== Contorno de aire	J=4	== Conductividad horizontal (w/m.K)

DO 10 I=1,4

IPE=I+1

READ (88,*) (C(I,J),J=1,4)

WRITE (95,*) IPE, (C(I,J),J=1,4)

CONTINUE

Datos de la radiacion

IPE=6

READ (88,*) TI1,T2,T3,RTD,PER

WRITE (95,*) IPE, TI1,T2,T3,RTD,PER

Datos de la temperatura

IPE=7

READ (88,*) T1,T01,START

WRITE (95,*) IPE,T1,T01,START

Datos de la conveccion

IPE=8

READ (88,*) HCSUP,HCINF,HCINT,HCLAT

WRITE(95,*) IPE, HCSUP,HCINF,HCINT,HCLAT

Incremento de tiempo y error maximo en iteraciones

IPE=9

```

* WRITE(95,*) IPE, DELTAT,ERROR
*     Numero de columnas de resultados y
*     numero de dichas columnas
IPE=10
READ (88,*) NCD
WRITE (95,*) IPE, NCD
DO 15 I3=1,NCD
IPE=10+I3
READ (88,*) NCR(I3)
WRITE (95,*) IPE,NCR(I3)
15 CONTINUE

*
* Asignacion de propiedades .Espesor expresado en numero de
* elementos de malla de :
*
ND(1) = EU2/D           !Alma exterior
ND(2) = H/D             !Huecos completos
ND(3) = EU1/D           !Almas interiores
ND(4) = H*(1-(-1)**NH)/(4*D) !Huecos incompletos      ! Por
ND(5) = EU1*(1+(-1)**NH)/(4*D) !Almas interiores incompletas! sim.

NU(1) = 1               ! Idem pero
NU(2) = INT(NH/2)        ! en numero
NU(3) = INT((NH+1)/2)-1   ! de ellos
NU(4) = 1
NU(5) = 1

LH = AS/D+2            ! Num. de puntos horiz. (columnas) del recinto
MU = AU/D+3            ! " " " vert. (filas) " "
M1 = EMB/D+1           ! Num. de fila del punto inf. de MBC
M2 = ES/D+M1            ! " " " " " " " del forj. super.
M3 = (AU-EI)/D+1        ! Num. de fila del aire pegado al hormigon del
                        ! forjado inferior por parte superior
M4 = MU-2               ! " " " " " " " inf. " "
L1 = (AS-AI)/D+2        ! Num. de columna del aire pegado al hormigon
                        ! del alma exterior por el exterior

NCOL=LH
NFIL=MU

* Calculo de UE(), de posicionamiento de las diversas columnas de aire pegado al hormigon
I=L1
IND=0
DO 123 K2=1,5
IF(NU(K2).EQ.0) GOTO 123
IF(ND(K2).EQ.0) GOTO 123
IF(K2.EQ.3) GOTO 123
IF(K2.EQ.2) IA=NU(K2+1)
DO 90 K1=1,NU(K2)
INDIC=0
L9=K2
IF(K2.EQ.2) INDIC=1
IS IF((L9-2*INT(LS/2.)).EQ.0) GOTO 20
IND=IND+1
UE(IND)=I
IND=IND+1
I=I+ND(L9)
UE(IND)=I+1
GOTO 25
0 I=I+ND(L9)
5 IF(INDIC.NE.1) GOTO 90
IE-IA.EQ.0) GOTO 90

```

```
L9=L9+1
INDIC=0
GOTO 65
90 CONTINUE
123 CONTINUE

DO 30 I=1,NCOL
DO 30 J=1,NFIL
TEM(I,J)=START ! Temperatura inicial en toda la malla = START
TEI(I,J)=START
30 CONTINUE

* Inicializacion de variables de indice nulo
DO 500 J=0,100
TEM(0,J) = 0.0
K(0,J,1) = 0.0
K(0,J,2) = 0.0
500 CONTINUE
DO 510 I=0,100
TEM(I,0) = 0.0
K(I,0,1) = 0.0
K(I,0,2) = 0.0
510 CONTINUE

* Llama a subrutina de asignacion de conductividad vert.
WRITE (1,200)
200 FORMAT (/, "CALL INP3")
CALL INP3

* Llama a subrutina de asignacion de conductividad horiz.
WRITE (1,210)
210 FORMAT (/, "CALL INP2")
CALL INP2

* Llama a subrutina de asignacion de densidad y calor esp.
WRITE (1,220)
220 FORMAT (/, "CALL INP1")
CALL INP1

RETURN
END
```

SUBRUTINA INP1

*
* I N P 1
*

SEMA /CD/, /ESC/, /AB/

SUBROUTINE INP1

```
COMMON /AB/ TEM(0:100,0:100),TEI(100,100),NCOL,NFIL,DELTAT,D
COMMON /CD/ SF(100,100), Q(100,100)
COMMON /P1/ ND(5), NU(5),C(4,4),UE(10),IND
COMMON /P2/ LH,MU,M1,M2,M3,M4,L1
COMMON /ESC/ IB(100,100),NCD,NCR(30),IPE
```

* Condiciones del aire
 DO 160 J=1,MU
 DO 160 I=1,LH
 SF(I,J)=C(1,1)*C(1,2)
 IB(I,J)=4
 160 CONTINUE
 WRITE(95,*),SF(1,1) !!!!!!!

* Aire exterior al puente
 DO 170 J=1,MU
 IB(1,J)=1
 170 CONTINUE
 DO 180 J=M2+2,MU-1
 DO 180 I=2,L1-1
 IB(I,J)=1
 180 CONTINUE
 DO 190 I=1,LH
 IB(I,MU)=1
 190 CONTINUE

* Condiciones de la superficie del tablero
 DO 20 I=3,LH
 SF(I,1)=C(1,1)*C(1,2)
 IB(I,1)=2
 20 CONTINUE

* Condiciones de la NBC
 DO 30 J=2,M1
 DO 30 I=3,LH
 SF(I,J)=C(2,1)*C(2,2)
 IB(I,J)=3
 30 CONTINUE
 WRITE(95,*),SF(3,2) !!!!!!!!

* Condiciones en el contorno
 DO 110 J=1,M2+1
 SF(2,J)=C(4,1)*C(4,2)
 IB(2,J)=2
 110 CONTINUE
 DO 120 I=3,L1
 SF(I,M2+1)=C(4,1)*C(4,2)
 IB(I,M2+1)=2
 120 CONTINUE
 DO 130 I=L1+1,LH
 SF(I,M2+1)=C(4,1)*C(4,2)
 SF(I,M3)=C(4,1)*C(4,2)
 SF(I,MU-1)=C(4,1)*C(4,2)
 IB(I,M2+1)=6

```

130   IB(I,MU-1)=7
      CONTINUE

      IF (ND(1).NE.0) GOTO 1100 ! Condiciones en talon
      DO 1050 K1=L1,UE(1)-1
      I=K1
      DO 1040 J=M2+2,M3-1
      SF(I,J)=C(1,1)*C(1,2)
      IB(I,J)=1
1040  END DO
      IF(K1.EQ.L1) GOTO 1050
      SF(I,M2+1)=C(4,1)*C(4,2)
      SF(I,M3)=C(4,1)*C(4,2)
      IB(I,M2+1)=7
      IB(I,M3)=7
1050  END DO

1100  DO 140 J=M3,MU-1
      SF(L1,J)=C(4,1)*C(4,2)
      IB(L1,J)=7
140   CONTINUE
      WRITE (95,*) SF(L1,M3) !!!!!!!!!

*      Condiciones del hormigon
      DO 40 J=M1+1,M2
      DO 40 I=3,LH
      SF(I,J)=C(3,1)*C(3,2)
      IB(I,J)=0
40    CONTINUE
      DO 400 J=M2+1,M3
      DO 300 K=1,IND,2
      DO 250 I=UE(K)+1,UE(K+1)-1
      SF(I,J)=C(3,1)*C(3,2)
      IB(I,J)=0
250   CONTINUE
300   CONTINUE
400   CONTINUE
      DO 50 J=M3+1,M4
      DO 50 I=L1+1,LH
      SF(I,J)=C(3,1)*C(3,2)
      IB(I,J)=0
50    CONTINUE
      WRITE(95,*) SF(LH,M4) !!!!!!!!!

*      Condicion de contorno en huecos
      IF(UE(IND).EQ.LH+1) IND=IND-1
      DO 150 J=M2+1,M3
      DO 150 IN=1,IND
      I=UE(IN)
      SF(I,J)=C(4,1)*C(4,2)
      IB(I,J)=6
150   CONTINUE
      DO 155 J=M2+1,M3
      SF(UE(1),J)=C(4,1)*C(4,2)
      IB(UE(1),J)=7
155   CONTINUE

*      Condicion de aire exterior respecto al interior
      DO 200 I=1, NCOL !!!!!!
      DO 200 J=1, NFIL !!!!!!
      IF (IB(I,J).EQ.1) SF(I,J)=SF(I,J)*1.0E+6 !!!!!!
      IF (IB(I,J).EQ.7) SF(I,J)=SF(I,J)*1.0E+6 !!!!!!
200   CONTINUE !!!!!!

```

```
      WRITE(101,1004)
      DO 1000 J=1,NFIL
      WRITE (101,1001) (IB(I,J),I=1,NCOL)
1000  CONTINUE
1001  FORMAT(1X,20I1)
      WRITE(101,1004)
1004  FORMAT(////)
      CLOSE(101)

      RETURN
      END
```

SUBRUTINA INP2

INP2

Conductividad horizontal

SEMA /EF/, /AB/, /ESC/

SUBROUTINE INP2

REAL*4 K

COMMON /EF/ K(0:100,0:100,2)

COMMON /P1/ ND(5), NU(5), C(4,4), UE(100), IND

COMMON /P2/ LH,MU,M1,M2,M3,M4,L1

COMMON /AB/ TEM(0:100,0:100), TEI(100,100), NCOL,NFIL,DELTAT,D

COMMON /ESC/ IB(100,100),NCD,NCR(30),IPE

COMMON /MET/ TEMP,T1,T01,START,HCSUP,HCINF,HCINT,HCLAT

* Aire, inicialmente todos los puntos

DO 201 J=1,MU

DO 200 I=1,LH

K(I,J,2)=C(1,4)

IB(I,J)=1

200 END DO

201 END DO

WRITE(95,*) K(1,1,2) !!!!!!!

DO 210 J=2,M1

!Aire-MB

K(2,J,2)=1/(1/(HCLAT*D)+1/(2*C(2,4)))

IB(2,J)=2

210 END DO

WRITE(95,*) K(2,2,2) !!!!!!!

DO 220 I=2,LH-1

! Contorno-Contorno

K(I,M2+1,2)=C(1,4)

IB(I,M2+1)=1

220 END DO

DO 230 I=L1,LH-1

K(I,M3,2)=C(1,4)

K(I,M4+1,2)=C(1,4)

IB(I,M3)=1

IB(I,M4+1)=1

230 END DO

WRITE(95,*) K(L1,M3,2)

DO 250 J=M2+1,M3

! Aire - hormigon

DO 251 K2=1,2*INT(IND/2.)-1,2

I=UE(K2)

IF((K2.NE.1).OR.(ND(1).NE.0)) GOTO 1003 ! Cond. de talon

K(I,J,2)=1/(1/(HCLAT*D)+1/(2*C(3,4)))

IB(I,J) = 4

GOTO 251

1003 K(I,J,2)=1/(1/(HCINT*D)+1/(2*C(3,4)))

IB(I,J)=5

251 END DO

IF((IND-2*INT(IND/2.)).EQ.0) GOTO 252

I=UE(IND)

K(I,J,2)=1/(1/(HCINT*D)+1/(2*C(3,4)))

IB(I,J)=5

252 CONTINUE

250 END DO

WRITE(95,*) K(UE(K2),M3,2) !!!!!!!

DO 260 J=M1,M2

```

260   IB(2,J)=4
      END DO
      MM2=M2
      IF (ND(1).EQ.0) MM2=M3
      DO 240 J=MM2+1,M4
      K(L1,J,2)=1/(1/(HCLAT*D)+1/(2*C(3,4)))
      IB(L1,J)=4
240   END DO
      WRITE(95,*) K(L1,M4,2)           !!!!!!!!!

*       Faltan las instrucciones de contorno-aire
*       por no ser necesarias

      DO 271 J=2,M1                  ! MB-MB
      DO 270 I=3,LH-1
      K(I,J,2)=C(2,4)
      IB(I,J)=3
270   END DO
271   END DO

      DO 281 J=M1+1,M2              ! Hor-Hor
      DO 280 I=3,LH-1
      K(I,J,2)=C(3,4)
      IB(I,J)=0
280   END DO
281   END DO
      DO 291 J=M3+1,M4
      DO 290 I=L1+1,LH-1
      K(I,J,2)=C(3,4)
      IB(I,J)=0
290   END DO
291   END DO
      DO 300 J=M2+1,M3
      DO 301 K2=1,2*INT(IND/2.),2
      DO 302 K1=UE(K2)+1,UE(K2+1)-2
      I=K1
      K(I,J,2)=C(3,4)
      IB(I,J)=0
302   END DO
301   END DO
      IF((IND-2*INT(IND/2.)).EQ.0) GOTO 304
      DO 303 K1=UE(IND)+1,LH-1
      I=K1
      K(I,J,2)=C(3,4)
      IB(I,J)=0
303   END DO
304   CONTINUE
300   END DO

      DO 310 J=M2+1,M3              ! Hor - Aire
      DO 311 K1=2,2*INT(IND/2.),2
      I=UE(K1)-1
      K(I,J,2)=1/(1/GHCINT*D)+1/(2*C(3,4)))
      IB(I,J)=5
311   END DO
310   END DO

      Condiciones en el eje de simetria

      DO 320 J=1,MU
      K(LH,J,2)=1.0E-20
      IB(LH,J)=9
320   END DO

      OPEN(102,FILE='HORI2::11')

```

```
DO 1000 J=1,NFIL
WRITE(102,1001)(IB(I,J),I=1,NCOL)
1000 CONTINUE
WRITE(102,1004)
1004 FORMAT(////)
1001 FORMAT(1X,70I1)
CLOSE (102)

RETURN
END
```

SUBRUTINA INP3

```

*****
*          INP3      Conductividad vertical
*
*****SEMA /EF/, /AB/, /ESC/
      SUBROUTINE INP3
*****
REAL*4 K
COMMON /EF/ K(0:100,0:100,2)
COMMON /P1/ ND(5),NU(5),C(4,4),UE(10),IND
COMMON /P2/ LH,MU,M1,M2,M3,M4,L1
COMMON /AB/ TEM(0:100,0:100), TEI(100,100), NCOL,NFIL,DELTAT,D
COMMON /ESC/ IB(100,100),NCD,NCR(30),IPE
COMMON /MET/ TEMP,T1,T01,START,HCSUP,HCINF,HCINT,HCLAT

*     Aire, inicialmente todos los puntos

DO 500 J=1,MU
DO 500 I=1,LH
K(I,J,1)=C(1,3)
IB(I,J)=1
500 CONTINUE

DO 510 I=3,LH
K(I,1,1)=1/(1/(HCSUP*D)+1/(2*C(2,3))) ! Aire - MB
IB(I,1)=2
IF(M1.EQ.2) GOTO 515
DO 520 J=2,M1-1
K(I,J,1)=C(2,3) ! MB - MB
IB(I,J)=3
520 END DO
515 CONTINUE
K(I,M1,1)=(2*C(2,3)*C(3,3))/(C(2,3)+C(2,3)) ! MB - Horm
K(I,M2,1)=1/(1/(HCINF*D)+1/(2*C(3,3))) ! Horm - Aire
IB(I,M1)=6
IB(I,M2)=4
510 END DO
WRITE (95,*) K(LH,1,1) !!!!!!!!
WRITE (95,*) K(LH,M1,1) !!!!!!!!
WRITE (95,*) K(LH,M2,1) !!!!!!!!
DO 530 I=L1+1,LH
K(I,M4,1)=1/(1/(HCINF*D)+1/(2*C(3,3)))
IB(I,M4)=4
530 END DO

DO 541 J=M1+1,M2-1 ! Comienza Horm - Horm
DO 540 I=3,LH
K(I,J,1)=C(3,3)
IB(I,J)=0
540 END DO
541 END DO
DO 550 J=M2,M3
DO 551 K2=1,2*INT(IND/2.),2
DO 556 K1=UE(K2)+1,UE(K2+1)-1
I=K1
K(I,J,1)=C(3,3)
IB(I,J)=0
556 END DO
551 END DO
IF ((IND-2*INT(IND/2.)).EQ.0) GOTO 553
DO 552 K1=UE(IND)+1,LH
I=K1

```

```

      IB(I,J)=0
552   END DO
553   CONTINUE
550   END DO
      DO 561 J=M3+1,M4-1
      DO 560 I=L1+1,LH
      K(I,J,1)=C(3,3)
      IB(I,J)=0
560   END DO
561   END DO           ! Fin, Horm- Horm

      IF(ND(1).NE.0) GOTO 1010    ! Condiciones en talon
      DO 1020 K1=L1+1,UE(1)
      I=K1
      K(I,M3,1)=1/(1/(HCLAT*D)+1/(2*C(3,3)))
      IB(I,M3)=8
1020   END DO

1010  DO 651 K2=2,2*INT(IND/2.)-1,2       ! Aire - Horm
      DO 650 K1=UE(K2),UE(K2+1)
      I=K1
      K(I,M3,1)=1/(1/(HCINT*D)+1/(2*C(3,3)))
      K(I,M2,1)=1/(1/(HCINT*D)+1/(2*C(3,3)))
      IB(I,M3)=5
      IB(I,M2)=5
650   END DO
651   END DO
      IF ((IND-2*INT(IND/2.)).EQ.0) GOTO 660
      DO 655 K1=UE(IND-1),UE(IND)
      I=K1
      K(I,M3,1)=1/(1/(HCINT*D)+1/(2*C(3,3)))
      K(I,M2,1)=1/(1/(HCINT*D)+1/(2*C(3,3)))
      IB(I,M3)=5
      IB(I,M2)=5
655   END DO
      GOTO 670
660  DO 665 K1=UE(IND),LH
      I=K1
      K(I,M3,1)=1/(1/(HCINT*D)+1/(2*C(3,3)))
      K(I,M2,1)=1/(1/(HCINT*D)+1/(2*C(3,3)))
      IB(I,M3)=5
      IB(I,M2)=5
665   END DO
670   CONTINUE

```

Condiciones en el borde inferior

```

      DO 300 I=1,LH
      K(I,MU,1)=1.0E-20
      IB(I,MU)=9
300   CONTINUE

      OPEN(103,FILE='VERTI1::11')
1001  FORMAT(1X,20I1)
      WRITE(103,1005)
1005  FORMAT(////)
      DO 1000 J=1,NFIL
      WRITE(103,1001)(IB(I,J),I=1,NCOL)
1000  CONTINUE
      WRITE(103,1005)
      CLOSE(103)

      RETURN
END

```

A N E J O 3

FICHERO DE DATOS DEL PROGRAMA BRIDGE

1 C 2
4 16 9500
15 40 14 15 8
C.C1 41 21 22 3 4 C.D 0
PUENTE EN SECCION CAJON
CALCULO DIURNO

FICHERO DE RESULTADOS DEL PROGRAMA BRIDGE

11.00 1.1.2
 (2.00) 5.00 18.00 9.500
 (3.00) 15.00 40.00 14.00 15.00 8.00
 (4.00) .010 6.1 25 9 .50 V

TIEMPO = 8.00 HORAS
 15.00 15.00 15.00 15.00 15.00 15.00
 15.00 15.00 15.00 15.00 15.00 15.00
 15.00 15.00 15.00 15.00 15.00 15.00
 15.00 15.00 15.00 15.00 15.00 15.00
 15.00 15.00 15.00 15.00 15.00 15.00
 15.00 15.00 15.00 15.00 15.00 15.00
 15.00 15.00 15.00 15.00 15.00 15.00
 15.00 15.00 15.00 15.00 15.00 15.00
 15.00 15.00 15.00 15.00 15.00 15.00
 15.00 15.00 15.00 15.00 15.00 15.00
 15.00 15.00 15.00 15.00 15.00 15.00
 15.00 15.00 15.00 15.00 15.00 15.00

TEMPERATURA AMBIENTE = 15.00 GRADOS

TIEMPO = 9.00 HORAS
TEMPERATURA AMBIENTE = 24.00 GRADOS

ENSEGUNDA FASE (+) POR TEMPERATURA EN LA CARGA SUPERIOR EN UNA HUELLA = 71.52 (W/HUELLA)
 ENSEGUNDA FASE (+) POR TEMPERATURA EN LA CARGA INFECTADA EN UNA HUELLA = 64.45 (W/HUELLA)
 ENSEGUNDA FASE (+) POR TEMPERATURA EN LA CARGA SUPERIOR EN UNA HUELLA = 163.84 (W/HUELLA)
 ENSEGUNDA FASE (+) POR TEMPERATURA EN LA CARGA EN UNA HUELLA = 293.92 (W/HUELLA)

23.00 22.44 22.07 19.70 19.70
 17.51 17.49 15.53 16.23 15.52
 15.54 15.45 15.21 15.21 15.14
 15.57 15.36 15.04 15.02 15.01
 15.51 15.07 15.01 15.00 15.00
 15.90 15.50 15.00 15.00 15.00
 15.00 15.00 15.00 15.00 15.00
 15.00 15.00 15.00 15.00 15.00
 15.00 15.00 15.00 15.00 15.00
 15.00 15.00 15.00 15.00 15.00
 15.00 15.00 15.00 15.00 15.00
 15.00 15.00 15.00 15.00 15.00
 15.00 15.00 15.00 15.00 15.00
 15.00 15.00 15.00 15.00 15.00
 15.00 15.00 15.00 15.00 15.00

15.00 15.00 15.00 15.00 15.00 16.00
 15.00 15.00 15.00 15.00 15.00 15.00

15.00 15.00 15.00 15.00 15.00 15.00
 15.00 15.00 15.00 15.00 15.00 15.00

15.00 15.00 15.00 15.00 15.00 15.00
 15.00 15.00 15.00 15.00 15.00 15.00
 15.00 15.00 15.00 15.00 15.00 15.00
 15.00 15.00 15.00 15.00 15.00 15.00

$\text{F15K} = 1.7 \cdot 0.9 \cdot 0.8 = 1.27$, Good

CHACAL	CHACAL	CHACAL

TEMPERATURA 19.82 DEL PUEBLO = 15.64

TIJUE SUPERIOR EN TEMPERATURA EN 300°C	TIJUE SUPERIOR DE LA LÓSA EN DIAGRAMA DE AUTOTENSIV	18.95
TIJUE INFERIOR EN TEMPERATURA EN 300°C	TIJUE INFERIOR DE LA LÓSA EN DIAGRAMA DE AUTOTENSIV	14.33

DULATACION UNITARIA UNIFOR ME DEL TABLERO = 0.0001636 M./M. (+ = ALARGAMIENTO) DULATACION UNITARIA UNIFOR ME DEL TABLERO = 0.00007701 (+ = ALARGAMIENTO EN FILA SUPERIOR = 2 CENTRO DE CURVATURA DE BAJA QEI YAAI 10)

TESTIMINIOS DE AUTOREVISIÓN EN LA SECCIÓN (MEZAPASCALES) (+)		= COMPRENSIÓN	
2.07,	2.34,	1.36,	.05,
-2.26,	-3.37,	1.44,	-1.17
-5.57,	-6.55,	1.98,	-6.67
-4.3,	-4.7,	-1.53,	-5.51
-2.26,	-2.22,	-1.63,	-5.37
-1.16,	-1.16,	-1.42,	-5.27
-1.16,	-1.16,	-1.19,	-5.05
-1.16,	-1.16,	-1.16,	1.17

10

TIEMPO = 11.00 HORAS
TEMPERATURA AMBIENTE = 29.99 GRADOS

ENERGIA SOLARADA (+), POR TEMPERATURA EN LA CARA SUPERIOR EN UNA HORA = -50.58 (W/M²)
ENERGIA SOLARADA (+), POR TEMPERATURA EN LA CARA INFERIOR EN UNA HORA = 83.53 (W/M²)
ENERGIA SOLARADA (+), POR RADACION EN LA CARA SUPERIOR EN UNA HORA = 343.28 (W/M²)
ENERGIA SOLARADA (+), POR EL TABLERO EN UNA HORA = 376.22 (W/M²)

33.06	30.45	29.03	27.29
24.52	23.07	21.95	20.96
19.33	18.66	18.04	17.58
16.79	16.47	16.20	15.98
15.64	15.52	15.41	15.31
15.29	15.16	15.13	15.19
15.07	15.06	15.05	15.06
15.07	15.04	15.10	15.12
15.18	15.22	15.27	15.34
15.59	15.08	15.72	15.65
16.22	16.43	16.68	16.35
17.62	16.02	18.43	18.32
20.13	21.7	21.07	21.02
23.49	22.9	22.9	22.9

TEMPERATURA EN VENTANA SUPERIOR = 20.00°C
TEMPERATURA EN VENTANA INFERIOR = 19.00°C
TEMPERATURA EN VENTANA SUPERIOR = 21.1°C
TEMPERATURA EN VENTANA INFERIOR = 14.0°C

FACTORES INFLUYENTES EN LA RADIACION = 0.00011777 (+ = ALARGAMIENTO
REDONDA DEL TABLERO = 0.00011777 (+ = ALARGAMIENTO EN LA CARA SUPERIOR => CENTRADA DE CURVATURA OFRECIENDO TABLERO)

T	R	C	Curvatura de la sección (+ = Aumento) (- = disminución)	R	C	Curvatura de la sección (+ = Aumento) (- = disminución)	T
3.57*	2.98*	1.85*	+0.71*	4.71*	3.71*	-0.71*	2.5*
-4.14*	-3.54*	-0.71*	+0.51*	-0.71*	-0.24*	-0.51*	-2.9*
-1.95*	-1.96*	-0.71*	-0.51*	-0.71*	-0.24*	-0.51*	-1.91*
-1.76*	-1.73*	-0.71*	-0.51*	-0.71*	-0.24*	-0.51*	-1.69*
-1.53*	-1.23*	-0.71*	-0.23*	-0.71*	-0.11*	-0.23*	-1.11*
-0.94*	-0.54*	-0.71*	-0.23*	-0.71*	-0.11*	-0.23*	1.43*
1.21*							1.21*

FACTORES INFLUYENTES EN LA RADIACION = 0.00011777 (+ = ALARGAMIENTO
REDONDA DEL TABLERO = 0.00011777 (+ = ALARGAMIENTO EN LA CARA SUPERIOR => CENTRADA DE CURVATURA OFRECIENDO TABLERO)

TIEMPO = 12.00 HORAS
TEMPERATURA AMBIENTE = 32.49 GRADOS

MEGIA CANADA (+) POR TEMPERATURA EN LA CARA SUPERIOR EN UNA HORA = -99.71 (W/4352)
MEGIA CANADA (+) POR TEMPERATURA EN LA CARA INFERIOR EN UNA HORA = 94.20 (W/4352)
MEGIA CANADA (+) POR CALORIFICACION EN LA CARA SUPERIOR EN UNA HORA = 424.08 (W/4352)
MEGIA TOTAL SENSACIONES (+) POR TABLA EN UNA HORA = 414.57 (W/4352)

37.41	35.10	32.97	31.02
27.61	26.13	24.80	23.59
21.54	20.63	19.91	19.23
18.11	17.65	17.25	16.90
16.25	16.13	15.94	15.79
15.54	15.45	15.37	15.31
15.23	15.21	15.13	15.10
15.20	15.22	15.25	15.29
15.39	15.46	15.54	15.64
15.86	16.03	16.23	16.33
16.85	17.13	17.44	17.79
19.59	19.06	19.58	20.15
21.45			20.77

TEMPERATURA EN LA CARA SUPERIOR = 32.42 °C PUEDE = 16.71

TEMPERATURA EN LA CARA SUPERIOR DE LA LOMA EN MEGIACANA DE AUTORES = 23.51
TEMPERATURA EN LA CARA SUPERIOR DE LA LOMA EN MEGIACANA DE AUTORES = 13.97

FACTURACION INDUSTRIAL ESTIMADA DEL TALLER = 0.0003774.0/M. (+ = ALTA disponibilidad)
TEMPERATURA EN LA CARA SUPERIOR = ALTA disponibilidad en FLIGRA SUPERIOR => CANTIDAD DE CORROSION CIEGAS DEL TALLER = 0

1.4511	0.5005	0.4510	0.3985	0.3516	0.3076	0.2721	0.2411
0.17.	-2.52.	2.43.	2.40.	1.31.	1.45.	1.07.	0.72.
0.11.	-7.32.	-2.50.	-2.66.	-7.79.	-7.90.	-6.99.	-1.12.
0.12.	-1.41.	-1.41.	-1.21.	-1.21.	-1.12.	-1.16.	-1.07.
0.13.	-1.50.	-1.67.	-1.41.	-1.36.	-1.31.	-1.17.	-0.54.
0.14.	-1.48.	-1.47.	-1.51.	-2.11.	-2.11.	-2.76.	-0.64.
0.15.	-1.46.	-1.46.	-1.47.	-1.47.	-1.47.	-1.47.	-0.29.
0.16.	-1.45.	-1.45.	-1.45.	-1.45.	-1.45.	-1.45.	-0.01.

TEMPERATURA EN LA CARA SUPERIOR DE LA LOMA = 34.39 °C PUEDE = 34.39 °C

TEMPERATURA EN LA CARA SUPERIOR DE LA LOMA = 16.11 (W/4352)
TEMPERATURA EN LA CARA SUPERIOR DE LA LOMA = 16.11 (W/4352)
TEMPERATURA EN LA CARA SUPERIOR DE LA LOMA = 16.11 (W/4352)
TEMPERATURA EN LA CARA SUPERIOR DE LA LOMA = 16.11 (W/4352)

41.33	38.41	36.65	34.56
40.83	29.18	27.67	25.62
23.88	22.65	21.91	20.93
19.64	19.04	18.51	20.37
17.25	16.94	16.67	17.63
16.05	15.90	15.78	16.22
15.53	15.48	15.45	15.59
15.44	15.46	15.50	15.43
15.69	15.78	15.83	15.61
16.33	16.52	16.74	16.17
17.55	17.88	18.25	17.25
19.59	20.13	20.71	19.19
22.80	S F I C A Z DFL PIENIE = 19.48	21.35	22.05

TEMPERATURA EN LOSA SUPERIOR DE LA LOSA EN DIAGRAMA DE AUTOTENSION 25.93
TEMPERATURA EN LOSA INFERIOR DE LA LOSA EN DIAGRAMA DE AUTOTENSION 13.83

LATACION MUY UNIFORME DEL TABLERO = 0.0004670 m/m. (+ = ALARGAMIENTO
REDONDA DEL TABLERO = 0.00020167 (+ = ALARGAMIENTO EN FIBRA SUPERIOR => CENTRO DE CURVATURA DE BAJA DFL TABLERO)

TENSIONES DE AUTOTENSION EN LA SECCION (MEGAPASCLES) (+) = COMPRIMIDA	
-6.52,	3.95,
-6.21,	5.34,
-6.26,	5.68,
-1.33,	-1.42,
-1.30,	-1.25,
-0.55,	-0.71,
-0.31,	-0.44,
-0.37,	-0.57,
-0.57,	-0.71,
-0.67,	-0.86,
-1.15,	-1.15,
-1.21,	-1.21,
-1.37,	-1.37,
-1.44,	-1.52,
-1.57,	-1.62,

TABLERO = 1000000 mm², DFL = 37.49 cm²
TABLERO = 1000000 mm², DFL = 37.49 cm²

MESAS SANTA (+), PLS TEMPERATURA EN LA TABLA SUPERIOR EN LA TABLA SUPERIOR = -167.13 (W/M²°C)
TABLA SANTA (+), PLS TEMPERATURA EN LA TABLA SUPERIOR = 114.31 (W/M²°C)
TABLA SANTA (+), PLS DESPLAZAMIENTO EN LA TABLA SUPERIOR = 420.42 (W/M²°C)
TABLA TOTAL, TABLERO = 0.00020167 DFL TABLERO = 268.11 (W/M²°C)

4.66	4.66	37.74
4.57	4.57	26.32
4.54	4.54	25.01
4.50	4.50	14.56
4.49	4.49	17.76
4.45	4.45	16.52
4.42	4.42	16.52

15.96	15.88	15.88	15.73
15.78	15.80	15.84	15.60
16.07	16.18	16.32	16.48
16.86	17.09	17.34	17.63
18.32	16.68	19.11	19.57
20.63	21.23	21.88	22.59
24.18			23.24
TEMPERATURA	E = 1.2 A Z	DEL PUENTE	= 21.00

TEMPERATURA EN TORDE SUPERIOR DE LA LOSA EN DIAGRAMA DE AUTENTENSIÓN 28.25
TEMPERATURA EN TORDE INFERIOR DE LA LOSA EN DIAGRAMA DE AUTENTENSIÓN 13.91

DILATACION UNIFORME DEL TABLERO = 0.000060324/M. (+ = ALARGAMIENTO)
CURVATURA DEL TABLERO = 0.00239461+ = ALARGAMIENTO EN FIBRA SUPERIOR => CENTRO DE CURVATURA DEBAJO DEL TABLERO

TENSIONES DE AUTOTENSION EN LA SECCION (MEJORAS CORTAS) (+) = COMPRENSION	2.03	1.15	*77.	*72
4.31, 4.25, 3.53, 3.06, 2.52, -0.57,	-1.01*	-1.16*	-1.39*	-1.47
-1.11, -1.17, -1.42, -0.65, -0.84, -1.01*	-1.67*	-1.66*	-1.62*	-1.58
-1.54, -1.59, -1.53, -1.56*, -1.57*	-1.67*	-1.66*	-1.62*	-1.58
-1.54, -1.49, -1.44, -1.37, -1.31*	-1.23*	-1.16*	-1.07*	-0.98*
-1.49, -1.44, -1.44, -1.44, -1.44*	-1.23*	-1.16*	-1.07*	-0.98*
-0.79, -0.69, -0.57, -0.57, -0.57*	-0.33*	-0.17*	-0.05*	*42
-0.60, -0.79, -0.79, -0.79, -0.79*	1.20*	1.42*	1.65*	2.46*
1.08*				2.75

TIEMPO = 15.00 HORAS
TIEMPO SATURA A ESTADO = 39.79 HORAS

DIAGRAMA DE CARGA (+) = 0.001000741+ EN LA CARA SUPERIOR DE LA LOSA = -1.0012 (W/M2000)	1.26*1.0 (W/M2000)
EN EL ALARGAMIENTO (+), 0.00239461 EN LA CARA SUPERIOR DE LA LOSA = 1.26*1.0 (W/M2000)	5.24*1.0 (W/M2000)
EN EL ALARGAMIENTO (+), 0.00239461 EN LA CARA SUPERIOR DE LA LOSA = 1.26*1.0 (W/M2000)	4.67*1.0 (W/M2000)
EN EL ALARGAMIENTO (+), 0.00239461 EN LA CARA SUPERIOR DE LA LOSA = 1.26*1.0 (W/M2000)	4.67*1.0 (W/M2000)
EN EL ALARGAMIENTO (+), 0.00239461 EN LA CARA SUPERIOR DE LA LOSA = 1.26*1.0 (W/M2000)	4.67*1.0 (W/M2000)

4.44*1.0	4.21	4.21	4.21	4.21
3.6*4.5	3.4*6.7	3.2*9.7	3.1*13.4	2.9*17.1
3.6*4.5	2.7*2.4	2.6*0.5	2.6*0.7	2.5*0.5
3.3*0.5	2.2*2.1	2.1*0.5	2.0*1.2	2.0*1.2
1.9*5.6	1.9*0.6	1.8*0.8	1.6*2.0	1.7*1.5
1.7*5.3	1.7*0.6	1.7*0.7	1.6*3.3	1.6*3.3
1.6*5.2	1.6*0.7	1.6*0.5	1.6*2.7	1.6*2.5
1.6*2.4	1.6*2.5	1.5*4.2	1.6*3.5	1.6*3.5
1.6*5.4	1.6*0.7	1.6*0.4	1.7*0.1	1.7*0.1
1.7*4.5	1.7*0.7	1.6*0.5	1.5*3.6	1.5*3.6
1.9*1.1	1.9*2.4	2.0*3.7	2.0*5.4	2.0*5.4
2.1*7.1	2.1*2.0	2.0*0.5	2.0*1.7	2.0*1.7
2.5*5.0				

TIEMPO = 15.00 HORAS
TIEMPO SATURA A ESTADO = 39.79 HORAS

TEMPERATURA EN SUPERIOR DE LA LOSA EN DIAGRAMA DE AUTOTENSION 30.44
TEMPERATURA EN INFERIOR DE LA LOSA EN DIAGRAMA DE AUTOTENSION 14.13

DILATACION UNITARIA UNIFORME DEL TABLERO = 000073144/m.² (+ = ALARGAMIENTO)
CURVATURA DEL TABLERO = .00327033 (+ = ALARGAMIENTO EN FIBRA SUPERIOR => CENTRO DE CURVATURA DEBAJO DEL TABLERO)

TENSIONES DE AUTOTENSION EN LA SECCION (MEGAPASCLES) (+) = COMISION	
5.02,	4.40,
.24,	3.30,
.07,	2.24,
.34,	.59,
-1.64,	-1.71,
-1.74,	-1.69,
.72,	-1.53,
.80,	-1.50,
.56,	-1.67,
.87,	-1.10,
3.42,	1.34,
	1.54,
	1.65,
	2.13,
	2.43,
	2.74,
	3.07

TIEMPO = 15.90 HORAS
TEMPERATURA AMBIENTE = 38.15 GRADOS

TIEMPO = 15.90 HORAS
TEMPERATURA AMBIENTE = 38.15 GRADOS

TIEMPO = 15.90 HORAS
TEMPERATURA EN LA CARA SUPERIOR EN UNA LOSA = -207.54 (W/m²)
ENERGIA SOLAR (+) POR TEMPERATURA EN LA CARA SUPERIOR EN UNA LOSA = 117.87 (W/m²)
TIEMPO = 15.90 HORAS EN LA CARA SUPERIOR EN UNA LOSA = 496.56 (W/m²)
EFICIENCIA TOTAL SISTEMA (+) = 0.52 TABLA EN UNA LOSA = 405.90 (W/m²)

47.1	45.45	43.56	41.81	40.03
38.39	36.91	34.93	33.44	31.96
36.51	34.25	32.07	29.94	25.76
24.57	23.75	23.07	22.27	21.21
24.77	22.27	19.75	19.27	19.94
20.85	18.47	15.27	17.82	17.32
18.47	17.27	15.27	16.87	16.47
17.27	16.80	15.84	16.90	16.92
16.80	16.31	15.84	17.04	17.06
17.11	17.26	17.67	19.11	19.21
16.13	16.42	16.75	19.47	19.55
19.95	20.47	20.93	21.47	21.05
22.67	23.34	24.01	24.72	25.45
26.22				
TEMPERATURA	= 15.90 A 2 DIF. EN MPC = 24.27			

TIEMPO = 15.90 HORAS
TEMPERATURA EN LA CARA SUPERIOR DE LA LOSA EN DIAGRAMA DE AUTOTENSION 32.65
TIEMPO = 15.90 HORAS EN LA CARA INFERIOR DE LA LOSA EN DIAGRAMA DE AUTOTENSION 14.69

TIEMPO = 15.90 HORAS
TEMPERATURA EN LA CARA SUPERIOR DE LA LOSA EN DIAGRAMA DE AUTOTENSION 32.65
TIEMPO = 15.90 HORAS EN LA CARA INFERIOR DE LA LOSA EN DIAGRAMA DE AUTOTENSION 14.69

CURVATURA DEL TABLERO = -00028951 (+) = ALARGAMIENTO EN FIBRA SUPERIOR => CENTRO DE CURVATURA DEBAJO DEL TABLERO

TENSIÓN S. DE AUTOCOMPAÑAJE (+)	EN LA SECCION (HECUPA/CALF) (+)	= CUMPLIMIENTO
4.54,	4.09,	3.54,
.62,	.11,	-.18,
-1.62,	-1.71,	-1.78,
-1.85,	-1.81,	-1.75,
-1.01,	-1.88,	-1.74,
.71,	.94,	1.18,
3.46,		

TIEMPO J = 17.00 HORAS
TEMPERATURA AMBIENTE = 36.30 Grados

NEOGIA SABADA (+) POR TEMPERATURA EN LA CARA SUPERIOR EN UNA HORA = -232.78 (W/M²°C²)
NEOGIA SABADA (+) POR TEMPERATURA EN LA CARA INFERIOR EN UNA HORA = 93.09 (W/M²°C²)
NEOGIA SABADA (+) POR DIFUSION EN LA CARA SUPERIOR EN UNA HORA = 440.93 (W/M²°C²)
NEOGIA TOTAL HORA (+) DES DEL TABLERO EN UNA HORA = 305.74 (W/M²°C²)

TENSIÓN S. DE AUTOCOMPAÑAJE (+)	EN LA SECCION (HECUPA/CALF) (+)	= CUMPLIMIENTO
45.67	44.43	44.07
38.65	37.43	36.02
31.96	30.74	29.54
26.91	25.56	24.47
22.17	21.13	20.94
19.49	19.10	18.76
17.99	17.82	17.64
17.47	17.45	17.43
17.75	17.91	18.03
18.42	19.12	19.67
20.61	21.14	21.45
31.27	31.45	31.47
26.35	27.42	27.47

TEMPERATURA EN LA FIBRA SUPERIOR DE LA LOSA EN JAGUAR 0.2 ANTEDESMO = 22.98
TEMPERATURA EN LA FIBRA INFERIOR DE LA LOSA EN JAGUAR 0.2 ANTEDESMO = 15.35

DIFUSION DIFUSION OBTENIDA EN EL TABLERO = 0.00233611 (+) = ALARGAMIENTO EN FIBRA SUPERIOR => CENTRO DE CURVATURA DEBAJO DEL TABLERO

TENSIÓN S. DE AUTOCOMPAÑAJE (+)	EN LA SECCION (HECUPA/CALF) (+)	= CUMPLIMIENTO
3.52,	3.23,	2.71,
.78,	.74,	-.06,
-1.46,	-1.27,	-1.07,
-1.35,	-1.17,	-1.07,

TENSIÓN S. DE AUTOCOMPAÑAJE (+)	EN LA SECCION (HECUPA/CALF) (+)	= CUMPLIMIENTO
3.52,	3.23,	2.71,
.78,	.74,	-.06,
-1.46,	-1.27,	-1.07,
-1.35,	-1.17,	-1.07,

-1.06*	-91°	-77°	-61°	-45°	-28°	0°	29°
-71*	-94°	1.18°	1.42°	1.67°	1.93°	2.47°	2.74°
3.10°							

TIEMPO = 18.30 HORAS
TEMPERATURA AMBIENTE = 34.44 GRADOS

ERGIA GANADA (+), POR TEMPERATURA EN LA CARA SUPERIOR EN UNA HORA = -229.12 (W/M²K²)
ERGIA GANADA (+), POR TEMPERATURA EN LA CARA INFERIOR EN UNA HORA = -61.27 (W/M²K²)
ERGIA GANADA (+), POR RADIACION EN LA CARA SUPERIOR EN UNA HORA = 363.94 (W/M²K²)
ERGIA TOTAL GANADA (+) POR EL TABLERO EN UNA HORA = 216.09 (W/M²K²)

43.23	42.45	41.57	40.09
38.47	37.35	36.21	35.05
32.76	31.65	30.51	29.50
27.51	26.59	25.71	24.83
23.39	22.71	22.03	21.52
20.53	20.11	19.73	19.40
18.96	18.65	18.43	18.35
18.21	18.19	18.01	18.25
18.46	18.60	18.71	18.94
19.50	19.79	20.17	20.48
21.27	21.70	22.15	22.63
23.03	24.16	24.57	25.17
26.26			25.73

TEMPERATURE = 24.74

TEMPERATURA EN LA CARA SUPERIOR DE LA UNIDAD DE ALTA PRESION = 40.17
TEMPERATURA EN LA CARA INFERIOR DE LA UNIDAD DE ALTA PRESION = 16.17

ESTACION DE THERMISTOR EN LA TABLA = 20.30 KELVIN
ESTACION DE THERMISTOR EN LA TABLA = 20.30 KELVIN
ESTACION DE THERMISTOR EN LA TABLA = 20.30 KELVIN
ESTACION DE THERMISTOR EN LA TABLA = 20.30 KELVIN

2.46*	2.63*	2.75*	2.85*	2.95*	3.05*	3.15*	3.25*	3.35*	3.45*	3.55*	3.65*	3.75*	3.85*	3.95*
-0.45*	-0.21*	-0.03*	0.21*	0.45*	0.69*	0.93*	1.17*	1.41*	1.65*	1.89*	2.13*	2.37*	2.61*	2.85*
-1.26*	-1.32*	-1.38*	-1.44*	-1.50*	-1.56*	-1.62*	-1.68*	-1.74*	-1.80*	-1.86*	-1.92*	-1.98*	-2.04*	-2.10*
-1.76*	-1.74*	-1.72*	-1.68*	-1.66*	-1.64*	-1.62*	-1.59*	-1.56*	-1.53*	-1.49*	-1.45*	-1.41*	-1.37*	-1.33*
-1.15*	-0.91*	-0.70*	-0.61*	-0.52*	-0.43*	-0.34*	-0.25*	-0.16*	-0.07*	-0.01*	-0.05*	-0.11*	-0.17*	-0.23*
-0.67*	-0.39*	-0.11*	0.11*	0.34*	0.61*	0.88*	1.15*	1.42*	1.69*	1.96*	2.23*	2.50*	2.77*	3.04*
1.35*														

ESTACION DE THERMISTOR EN LA TABLA = 20.30 KELVIN
ESTACION DE THERMISTOR EN LA TABLA = 20.30 KELVIN
ESTACION DE THERMISTOR EN LA TABLA = 20.30 KELVIN
ESTACION DE THERMISTOR EN LA TABLA = 20.30 KELVIN

TIEMPO = 19.30 HORAS
TEMPERATURA AMBIENTE = 32.58 GRADOS

FUERGIA CANADA (+) POR TEMPERATURA EN LA CARA SUPERIOR EN UNA HORA = -205.67 (W/M²)
FUERGIA CANADA (+) POR TEMPERATURA EN LA CARA INFERIOR EN UNA HORA = 65.16 (W/M²)
FUERGIA CANADA (+) POR RADIACION EN LA CARA SUPERIOR EN UNA HORA = 274.38 (W/M²)
FUERGIA TOTAL CANADA (+) POR TABLERO EN UNA HORA = 134.37 (W/M²)

40.20	39.36	39.39	38.81
37.38	36.57	35.71	34.87
32.94	32.40	31.05	30.13
28.34	27.48	26.65	25.88
24.42	23.76	23.14	22.56
21.54	21.15	20.70	20.34
19.76	19.53	19.34	19.19
19.00	18.95	18.95	18.99
19.15	19.22	19.45	19.64
20.11	20.33	20.69	21.02
21.72	22.12	22.53	22.96
23.81	24.26	24.70	25.14
26.91			
TEMPERATURA F = 12 A 2 DEL PUEBLO = 25.09			

TEMPERATURA EN LA CARA SUPERIOR DE LA UTS A 200 CM DE ALTURA S/14 V. INDICATOR EN 0.36 INFERIOR DE LA UTS A 20 CM DE ALTURA S/14 17.03

ELASTACIONALIDAD DEL TABLERO = 0.00022698 (+ = ALARGAMIENTO EN FIJA SUPERIOR \Rightarrow CENTRO DE CURVATURA DEBAJO DEL TABLERO)

TEMPERATURA DE AUTORES (+) EN LA CARA SUPERIOR (TABLERO) = 33.17	ELASTACIONALIDAD DEL TABLERO = 0.00022698 (+ = ALARGAMIENTO EN FIJA SUPERIOR \Rightarrow CENTRO DE CURVATURA DEBAJO DEL TABLERO)
2.13.	2.11.
2.75.	2.75.
-1.30.	-1.30.
-1.60.	-1.60.
-0.20.	-0.20.
0.00.	0.00.
-0.70.	-0.70.
2.68.	2.68.

NOTA: Los resultados de los autores se refieren a la temperatura en la cara superior del tablero y no en la cara inferior.

TIEMPO = 20.00 HORAS
TEMPERATURA AMBIENTE = 30.72 GRADOS

ENERGIA CANADA (+) + POR TEMPERATURA EN LA CARA SUPERIOR EN UNA HORA = -173.45 (W/M²)
ENERGIA CANADA (+) + POR TEMPERATURA EN LA CARA INFERIOR EN UNA HORA = 52.23 (W/M²)
ENERGIA CANADA (+) + POR RADIACION EN LA CARA SUPERIOR EN UNA HORA = 184.00 (W/M²)
ENERGIA TOTAL CANADA (+) POR EL TALLERO EN UNA HORA = 63.28 (W/M²)

36.31	36.93	36.82	36.58	36.23
35.79	35.27	34.68	34.03	33.34
32.62	31.97	31.12	30.33	29.56
28.79	28.04	27.30	26.59	25.90
25.24	24.61	24.02	23.46	22.94
22.46	22.02	21.61	21.25	20.93
20.64	20.40	20.19	20.02	19.87
19.80	19.74	19.72	19.73	19.77
19.85	19.96	20.09	20.26	20.45
20.67	20.92	21.14	21.47	21.77
22.10	22.43	22.79	23.14	23.50
23.87	24.24	24.61	24.97	25.32
25.65				
TEMPERATURA = 51.54 Z OFL PUNTO F = 25.25				

TEMPERATURA EN SUPERficIE SUPERIOR DE LA LOMA EN DIAGRAMA DE AUTOTENSION 32.47
TEMPERATURA EN SUPERficIE INFERIOR DE LA LOMA EN DIAGRAMA DE AUTOTENSION 18.03.

ELASTICIDAD UNITARIA UNI-CHEM DEL TALLER = 0.00102614/m. (+ = ALARGAMIENTO)
ELASTICIDAD UNITARIA DEL TALLER = 0.00203761+ = ALARGAMIENTO EN FIBRA SUPERIOR => CENTRO DE CURVATURA DEBIDA DEL TALLER

TENSIVOS DE AUTOTENSION EN LA SECCION (MEGAPASCALES) (+) = COMISION	1.42*	1.35*	1.27*	1.05*	*.71
1.33*	1.45*	1.42*	1.35*	1.17*	*.71
1.77*	.61*	.60*	.52*	-.32*	-.63
1.73*	-.64*	-.63*	-.50*	-.16*	-.37
1.58*	1.35*	1.35*	1.15*	-1.26*	-1.34*
1.40*	-.74*	-.74*	-.32*	-1.20*	-1.31*
.50*	.07*	.05*	-.43*	-1.27*	-1.15*
2.19*			1.21*	-.15*	-.06*
			1.03*	-.15*	-.01*
				1.58*	*.17*
					1.76*
					2.11

TIEMPO = 21.30 HORAS
TEMPERATURA SECCION = 28.27 GRADOS

ENERGIA CANADA (+) + POR TEMPERATURA EN LA CARA SUPERIOR EN UNA HORA = 137.35 (W/M²)
ENERGIA CANADA (+) + POR TEMPERATURA EN LA CARA INFERIOR EN UNA HORA = 53.15 (W/M²)
ENERGIA CANADA (+) + POR RADIACION EN LA CARA SUPERIOR EN UNA HORA = 107.09 (W/M²)
ENERGIA TOTAL CANADA (+) POR EL TALLER EN UNA HORA = 52.56 (W/M²)

33.65	33.95	34.11	34.15
33.91	33.64	33.30	32.89
31.91	31.35	30.77	32.43
28.90	26.27	27.64	29.54
25.82	25.25	24.71	26.41
23.24	22.82	22.43	23.70
21.44	21.21	21.00	21.75
20.56	20.49	20.45	20.67
20.51	20.59	20.70	20.46
21.17	21.38	21.60	20.99
22.37	22.65	22.94	22.10
23.84	24.13	24.42	23.54
25.20			24.70
TEMPERATURA EN 3/4 DE SUPERIOR DE LA LOSA EN DIAGRAMA DE AUTOTENSION 31.56			
TEMPERATURA EN 3/4 DE INFERIOR DE LA LOSA EN DIAGRAMA DE AUTOTENSION 18.97			
EPIZA A DEL PUENTE = 25.27			

DILATACION UNITARIA UNIFORME DEL TABLERO = •00010265M./M. (+ = ALARGAMIENTO)
 CURVATURA DEL TABLERO = •00027981(+ = ALARGAMIENTO EN FIBRA SUPERIOR => CENTRO DE CURVATURA DEBAJO DEL TABLERO)

TENSIONES DE AUTOTENSION EN LA SECCION (MEGAPASCLES) (+) = COMPRESSION			
-6.3*	-7.8*	9.7*	1.00*
-7.3*	-6.3*	-5.2*	-0.2*
-6.6*	-5.7*	-4.0*	-0.15*
-6.14*	-5.16*	-3.76*	-0.35*
-6.90*	-7.71*	-1.15*	-1.13*
-3.9*	-3.64*	-3.52*	-1.10*
-1.7*		-1.51*	-1.40*
		-0.59*	-0.28*
		-0.84*	-0.03*
		-0.91*	1.15*
		1.07*	1.45*
			1.59*
			1.72

ENERGIA TOTAL SANCADA (+) = 24.30 HORAS
 TIEMPO DE FIBRA ALARGADA = 27.01 HORAS

ENERGIA SANCADA (+) = POR TEMPERATURA EN LA CARA SUPERIOR EN UNA HORA = -105.96 (W/M²K²H²)

ENERGIA SANCADA (+) = POR TEMPERATURA EN LA CARA INFERIOR EN UNA HORA = 26.74 (W/M²K²H²)

ENERGIA SANCADA (+) = POR RADIAZIONE EN LA CARA SUPERIOR EN UNA HORA = 42.21 (W/M²K²H²)

ENERGIA TOTAL SANCADA (+) = 32.32 EN TABLERO Y UNA HORA = -35.33 (W/M²K²H²)

10.72	11.19	11.53	11.77
11.94	11.49	11.75	11.54
10.44	11.49	10.87	11.22
10.17	10.57	10.47	10.57
9.75	10.23	10.71	10.23
9.17	9.56	9.23	9.17
8.81	9.17	9.17	8.81
8.58	8.68	8.17	8.58
8.21	8.74	8.74	8.21

21.28	21.19	21.12	21.09
21.12	21.17	21.25	21.35
21.62	21.78	21.95	21.47
22.53	22.80	23.03	22.36
23.72	23.95	24.16	23.50
24.69			24.35

TEMPERATURA = 1.2 A 7 OFL PUENTE = 25.17

TEMPERATURA EN BORDE SUPERIOR DE LA LOSA EN DIAGRAMA DE AUTOTENSION 30.49
TEMPERATURA EN BORDE INFERIOR DE LA LOSA EN DIAGRAMA DE AUTOTENSION 19.84DILATACION UNITARIA UNIFORME DEL TABLERO = .00010169M./M. (+ = ALARGAMIENTO)
CURVATURA DEL TABLERO = .00017749(+ = ALARGAMIENTO EN FIBRA SUPERIOR => CENTRO DE CURVATURA DEBAJO DEL TABLERO)

TENSIONES DE AUTOTENSION EN LA SECCION (MEGAPASCLES) (+) = COMPRESSION	(+) = EXPANSION
-07. *26. *42. *54. *64. *70. *75. *74.	*74.
*67. *61. *54. *45. *37. *27. *07. *13.	*13.
*23. *33. *42. *50. *58. *65. *72. *03.	*03.
*89. *91. *92. *93. *92. *91. *88. *82.	*82.
*68. *61. *54. *45. *36. *27. *06. *17.	*17.
*29. *41. *53. *55. *78. *90. *102. *113.	*113.
1.46.	1.35.

TIEMPO = 23.00 HORAS
TEMPERATURA AMBIENTE = 25.15 GRADOS

FIBRA CANTERA (+) = OFL TENSIÓN ACTUARIA EN LA CARA SUPERIOR JR = 17.946 M.C.F. = -45.5% (W/45.5%)	14.45% (W/45.5%)
ENFOSADA CANTERA (+) = OFL TENSIÓN ACTUARIA EN LA CARA INFERIOR JR = 17.946 M.C.F. = 7.46% (W/45.5%)	-63.2% (W/45.5%)
CANTERA JAVIER (+) = OFL TENSIÓN ACTUARIA EN LA CARA SUPERIOR JR = 17.946 M.C.F. = 29.31% (W/45.5%)	29.31% (W/45.5%)
ENERGIA TOTAL TABLERO (+) = OFL TENSIÓN ACTUARIA EN UNA HORA = 29.31% (W/45.5%)	29.31% (W/45.5%)

TEMPERATURA = 1.2 A 7 OFL OFL = 25.00

TEMPERATURA EN SUPERIOR DE LA LOSA EN DIAGRAMA DE AUTOTENSION 23.42
TEMPERATURA EN INFERIOR DE LA LOSA EN DIAGRAMA DE AUTOTENSION 20.53

DILATACION UNITARIA SUPERIOR DEL TABLERO = .00010004 M./M.
CURVATURA DEL TABLERO = .00014710 (+ = ALARGAMIENTO)

TENSIONES DE AUTOTENSION EN LA SECCION (MEGAPASCALES) (+) = COMPRESSION	
-•32•	-•12•
-•57•	-•55•
-•04•	-•12•
-•66•	-•68•
-•56•	-•51•
-•20•	-•20•
-•70•	-•29•
-•45•	-•39•
-•38•	-•48•
1.06,	.29•
	-•32•
	-•41•
	-•35•
	-•71•
	-•32•
	-•57•
	.67•
	.75•
	-•42•
	-•42•
	-•71•
	-•24•
	-•16•
	.75•
	-•49•
	-•27•
	-•48•
	-•59•
	-•67•
	-•16•
	.84•
	-•54•
	-•20•
	-•53•
	-•58•
	-•67•
	-•64•
	-•01•
	.92•
	-•57•
	-•12•
	-•64•
	-•62•
	-•58•
	-•64•
	-•10•
	.93•

ESTE DOCUMENTO ES PROPIEDAD DE LA DIRECCION GENERAL DE INVESTIGACIONES TECNICAS Y ESTADISTICAS - D.G.I.T.E. ESTA ESTA PROTEGIDO POR DERECHOS DE AUTOR

A N E J O ... 4

FICHERO DE DATOS DEL PROGRAMA CAL2D

4.6.80,5.50,1.30,0.40,0.50,0.20,0.20,2.20,0.1,0.1
1.29 1004 0.24 0.24
2400 960 1.3 1.3
2400 960 1.4 1.4
1.29 1004 0.24 0.24
6,20,4,9000,-100
20,10,15
35,15,3,15
0.200000000,1
11
15
16
17
18
19
20
21
43
44
69
70

FICHERO DE RESULTADOS DEL PROGRAMA CAL2D

SECCION DEL PUENTE

*****COMIENZO DE LA SIMULACION*****

HORA INICIAL = 8.00 HORAS

INCREMENTO DE PASO DE TIEMPO = .20 HORAS

TEMPERATURA UNIFORME EN EL PUENTE = 15.00 GRADOS

☆☆☆☆☆☆☆☆☆☆☆☆☆☆☆☆☆☆☆☆☆☆

TIEMPO = 9.00 HORAS

TEMPERATURA = 22,59 GRADO'S

PARTITION INSTANCE# = 668,21,W/NO2

ERROR TOTAL EN LA ITERACION = .6063

INTERACTION NUMBER 2

(15) (16) (17) (18) (19) (20) (21) (43) (44) (63) (200)

22.6	15.8	15.1	15.0	15.0	15.0	15.0	15.0	15.0	15.0	15.0	15.0
22.6	15.8	15.1	15.0	15.0	15.0	15.0	15.0	15.0	15.0	15.0	15.0
22.6	15.9	15.2	15.1	15.1	15.1	15.1	15.1	15.1	15.1	15.1	15.1
22.6	16.5	15.9	15.8	15.8	15.8	15.8	15.8	15.8	15.8	15.8	15.8
22.6	22.6	22.6	22.6	22.6	22.6	22.6	22.6	22.6	22.6	22.6	22.6
22.6	22.6	22.6	22.6	22.6	22.6	22.6	22.6	22.6	22.6	22.6	22.6

TIEMPO = 10.00 HORAS

TEMPERATURA = 25.00 GRADOS

RADIACION INSTANTANEA = 951.84 W/m²

ERROR TOTAL EN LA ITERACCION = .4783

ITERACION NUMERO 2

(15)	(16)	(17)	(18)	(19)	(20)	(21)	(43)	(44)	(69)	(70)
------	------	------	------	------	------	------	------	------	------	------

25.0	25.0	25.0	25.0	25.0	25.0	25.0	25.0	25.0	25.0	25.0
32.6	32.6	32.6	32.6	32.6	32.6	32.6	32.6	32.6	32.6	32.6
18.3	18.1	18.0	18.0	18.0	18.0	18.0	18.0	18.0	18.0	18.0
17.0	15.9	15.5	15.4	15.4	15.4	15.5	15.4	15.4	15.4	15.4
25.0	16.6	15.3	15.1	15.1	15.1	15.2	15.1	15.1	15.1	15.1
25.0	16.7	15.3	15.0	15.0	15.0	15.1	15.0	15.0	15.0	15.0
25.0	16.7	15.3	15.0	15.0	15.0	15.1	15.0	15.0	15.0	15.0
25.0	16.7	15.3	15.0	15.0	15.0	15.1	15.0	15.0	15.0	15.0
25.0	16.7	15.3	15.0	15.0	15.0	15.1	15.0	15.0	15.0	15.0
25.0	16.7	15.3	15.0	15.0	15.0	15.1	15.0	15.0	15.0	15.0
25.0	16.7	15.3	15.0	15.0	15.0	15.1	15.0	15.0	15.0	15.0
25.0	16.8	15.3	15.0	15.0	15.0	15.1	15.0	15.0	15.0	15.0
25.0	16.8	15.3	15.1	15.0	15.0	15.2	15.0	15.0	15.0	15.0
25.0	17.0	15.6	15.3	15.3	15.3	15.3	15.3	15.3	15.3	15.3
25.0	18.1	17.0	16.8	16.8	16.7	16.8	16.7	16.7	16.7	16.7
25.0	25.0	25.0	25.0	25.0	25.0	25.0	25.0	25.0	25.0	25.0
25.0	25.0	25.0	25.0	25.0	25.0	25.0	25.0	25.0	25.0	25.0

TIEMPO = 11.00 HORAS

TEMPERATURA = 27.07 GRADOS

RADIACION INSTANTANEA = 1160.15 W/m²

ERROR TOTAL EN LA ITERACCION = .3229

ITERACION NUMERO 2

(15)	(16)	(17)	(18)	(19)	(20)	(21)	(43)	(44)	(69)	(70)
------	------	------	------	------	------	------	------	------	------	------

27.1	27.1	27.1	27.1	27.1	27.1	27.1	27.1	27.1	27.1	27.1
42.7	42.6	42.6	42.6	42.6	42.6	42.6	42.6	42.6	42.6	42.6
21.2	21.4	21.3	21.2	21.2	21.2	21.2	21.2	21.2	21.2	21.2
18.5	17.0	16.3	16.2	16.2	16.2	16.3	16.2	16.2	16.2	16.2
27.1	17.5	15.7	15.3	15.2	15.2	15.7	15.2	15.2	15.2	15.2
27.1	17.7	15.6	15.1	15.0	15.0	15.4	15.0	15.0	15.0	15.0
27.1	17.7	15.6	15.1	15.0	15.0	15.3	15.0	15.0	15.0	15.0

27.1	17.7	15.6	15.1	15.0	15.0	15.2	15.0	15.0	15.0	15.0	15.0
27.1	17.7	15.6	15.1	15.0	15.0	15.2	15.0	15.0	15.0	15.0	15.0
27.1	17.7	15.6	15.1	15.0	15.0	15.3	15.0	15.0	15.0	15.0	15.0
27.1	17.8	15.7	15.2	15.1	15.1	15.4	15.1	15.1	15.1	15.1	15.1
27.1	18.2	16.2	15.7	15.6	15.6	15.7	15.6	15.6	15.6	15.6	15.6
27.1	19.7	18.2	17.8	17.7	17.7	17.7	17.7	17.7	17.7	17.7	17.7
27.1	22.1	27.1	27.1	27.1	27.1	27.1	27.1	27.1	27.1	27.1	27.1
27.1	27.1	27.1	27.1	27.1	27.1	27.1	27.1	27.1	27.1	27.1	27.1

TIEMPO = 12.00 HORAS

TEMPERATURA = 28.66 GRADOS

RADIACION INSTANTANEA = 1245.43 W/m²

ERROR TOTAL EN LA ITERACCION = .6057

ITERACION NUMERO 2

(15)	(16)	(17)	(18)	(19)	(20)	(21)	(43)	(44)	(69)	(70)
------	------	------	------	------	------	------	------	------	------	------

28.7	28.7	28.7	28.7	28.7	28.7	28.7	28.7	28.7	28.7	28.7
51.8	51.7	51.6	51.6	51.6	51.6	51.6	51.6	51.6	51.6	51.6
25.9	25.5	25.2	25.2	25.1	25.1	25.2	25.1	25.1	25.1	25.1
20.5	18.5	17.7	17.4	17.3	17.4	17.6	17.4	17.3	17.4	17.3
28.7	18.5	16.2	15.6	15.5	15.5	16.5	15.5	15.5	15.5	15.5
28.7	18.6	16.0	15.3	15.1	15.1	15.9	15.1	15.1	15.1	15.1
28.7	18.7	16.0	15.2	15.1	15.0	15.6	15.0	15.0	15.0	15.0
28.7	18.7	16.0	15.2	15.0	15.0	15.5	15.0	15.0	15.0	15.0
28.7	18.7	16.0	15.2	15.0	15.0	15.4	15.0	15.0	15.0	15.0
28.7	18.7	16.0	15.2	15.1	15.0	15.4	15.0	15.0	15.0	15.0
28.7	18.7	16.0	15.3	15.1	15.1	15.5	15.1	15.0	15.1	15.0
28.7	18.8	16.2	15.5	15.3	15.3	15.7	15.3	15.2	15.3	15.2
28.7	19.3	16.9	16.2	16.1	16.0	16.2	16.0	16.0	16.0	16.0
28.7	21.2	19.3	18.8	18.7	18.7	18.7	18.7	18.7	18.7	18.7
28.7	28.7	28.7	28.7	28.7	28.7	28.7	28.7	28.7	28.7	28.7
28.7	28.7	28.7	28.7	28.7	28.7	28.7	28.7	28.7	28.7	28.7

TIEMPO = 13.00 HORAS

TEMPERATURA = 29.66 GRADOS

RADIACION INSTANTANEA = 1188.13 W/m²

ERROR TOTAL EN LA ITERACCION = .2302

ITERACION NUMERO 2

(15)	(16)	(17)	(18)	(19)	(20)	(21)	(43)	(44)	(69)	(70)
------	------	------	------	------	------	------	------	------	------	------

29.7	29.7	29.7	29.7	29.7	29.7	29.7	29.7	29.7	29.7	29.7
58.6	58.5	58.4	58.4	58.3	58.3	58.4	58.3	58.3	58.3	58.3
30.4	29.8	29.5	29.3	29.3	29.3	29.4	29.3	29.3	29.3	29.3
22.8	20.5	19.4	19.0	18.9	18.9	19.5	18.9	18.8	18.9	18.8
29.7	19.6	17.0	16.2	15.9	16.0	17.6	16.0	15.9	16.0	15.9
29.7	19.6	13.5	15.5	15.3	15.3	15.5	15.3	15.2	15.2	15.2

29.7	19.6	16.5	15.4	15.1	15.1	16.0	15.1	15.0	15.1	15.0
29.7	19.6	16.4	15.4	15.1	15.1	15.8	15.0	15.0	15.0	15.0
29.7	19.6	16.4	15.4	15.1	15.1	15.7	15.0	15.0	15.0	15.0
29.7	19.6	16.5	15.4	15.1	15.1	15.6	15.1	15.0	15.1	15.0
29.7	19.6	16.5	15.5	15.2	15.1	15.8	15.1	15.1	15.1	15.1
29.7	19.8	16.8	15.7	15.5	15.4	16.1	15.4	15.4	15.4	15.4
29.7	20.5	17.7	16.8	16.5	16.5	16.7	16.5	16.5	16.5	16.5
29.7	22.6	20.5	19.8	19.6	19.6	19.6	19.6	19.6	19.6	19.6
29.7	29.7	29.7	29.7	29.7	29.7	29.7	29.7	29.7	29.7	29.7
29.7	29.7	29.7	29.7	29.7	29.7	29.7	29.7	29.7	29.7	29.7

TIEMPO = 14.00 HORAS

TEMPERATURA = 30.00 GRADOS

RADIACION INSTANTANEA = 1001.36 W/m²

ERROR TOTAL EN LA ITERACCION = .0589

ITERACION NUMERO 2

(15)	(16)	(17)	(18)	(19)	(20)	(21)	(43)	(44)	(69)	(70)
30.0	30.0	30.0	30.0	30.0	30.0	30.0	30.0	30.0	30.0	30.0
62.2	62.0	61.8	61.8	61.8	61.8	61.8	61.8	61.8	61.8	61.8
34.5	33.8	33.4	33.2	33.1	33.1	33.3	33.1	33.1	33.1	33.1
25.2	22.7	21.4	20.8	20.7	20.8	21.7	20.8	20.6	20.8	20.6
30.0	20.8	17.9	16.9	16.6	16.6	18.9	16.6	16.5	16.6	16.5
30.0	20.4	17.1	15.9	15.5	15.5	17.3	15.5	15.4	15.5	15.4
30.0	20.3	16.9	15.6	15.2	15.2	16.6	15.2	15.1	15.2	15.1
30.0	20.3	16.9	15.6	15.2	15.1	16.2	15.1	15.0	15.1	15.0
30.0	20.3	16.9	15.6	15.2	15.1	16.0	15.1	15.0	15.1	15.0
30.0	20.4	16.9	15.6	15.2	15.1	15.9	15.1	15.1	15.1	15.1
30.0	20.4	17.0	15.7	15.3	15.2	16.1	15.2	15.2	15.2	15.2
30.0	20.7	17.4	16.1	15.7	15.7	16.5	15.6	15.6	15.6	15.6
30.0	21.5	18.5	17.4	17.0	17.0	17.3	17.0	16.9	17.0	16.9
30.0	23.7	21.5	20.7	20.4	20.4	20.5	20.4	20.4	20.4	20.4
30.0	30.0	30.0	30.0	30.0	30.0	30.0	30.0	30.0	30.0	30.0
30.0	30.0	30.0	30.0	30.0	30.0	30.0	30.0	30.0	30.0	30.0

TIEMPO = 15.00 HORAS

TEMPERATURA = 29.66 GRADOS

RADIACION INSTANTANEA = 727.97 W/m²

ERROR TOTAL EN LA ITERACCION = .0385

ITERACION NUMERO 2

(15)	(16)	(17)	(18)	(19)	(20)	(21)	(43)	(44)	(69)	(70)
29.7	29.7	29.7	29.7	29.7	29.7	29.7	29.7	29.7	29.7	29.7
62.1	61.8	61.7	61.6	61.6	61.6	61.6	61.6	61.6	61.6	61.6
37.9	37.1	36.5	36.2	36.1	36.2	36.4	36.2	36.1	36.2	36.1

41.0	40.0	39.3	38.9	38.8	38.9	39.4	38.9	38.7	38.9	38.7
31.0	28.7	27.1	26.3	26.0	26.4	28.4	26.4	25.9	26.4	25.9
27.1	23.7	21.2	19.8	19.4	19.5	23.5	19.4	19.1	19.4	19.1
27.1	22.1	19.0	17.4	16.7	16.7	20.2	16.6	16.4	16.6	16.4
27.1	21.7	18.4	16.6	15.8	15.8	18.5	15.6	15.5	15.6	15.5
27.1	21.6	18.2	16.3	15.6	15.5	17.6	15.3	15.2	15.3	15.2
27.1	21.6	18.2	16.3	15.5	15.4	17.2	15.2	15.1	15.2	15.1
27.1	21.6	18.2	16.4	15.6	15.5	17.0	15.3	15.2	15.3	15.2
27.1	21.8	18.5	16.7	15.9	15.8	17.2	15.6	15.5	15.6	15.5
27.1	22.2	19.1	17.4	16.7	16.6	17.9	16.4	16.3	16.4	16.3
27.1	23.2	20.6	19.1	18.5	18.5	19.0	18.4	18.2	18.4	18.2
27.1	24.9	23.2	22.2	21.8	21.7	21.9	21.7	21.6	21.7	21.6
27.1	27.1	27.1	27.1	27.1	27.1	27.1	27.1	27.1	27.1	27.1
27.1	27.1	27.1	27.1	27.1	27.1	27.1	27.1	27.1	27.1	27.1

TIEMPO = 18.00 HORAS

TEMPERATURA = 25.00 GRADOS

RADIACION INSTANTANEA = 26.01 W/m²

ERROR TOTAL EN LA ITERACION = .0981

ITERACION NUMERO 2

(15)	(16)	(17)	(18)	(19)	(20)	(21)	(43)	(44)	(69)	(70)
25.0	25.0	25.0	25.0	25.0	25.0	25.0	25.0	25.0	25.0	25.0
47.0	46.7	46.4	46.3	46.2	46.3	46.4	46.2	46.2	46.2	46.2
40.7	39.8	39.0	38.6	38.5	38.7	39.2	38.6	38.4	38.6	38.4
31.9	29.9	28.4	27.5	27.3	27.8	30.0	27.7	27.1	27.2	27.1
25.0	24.3	22.2	20.9	20.4	20.5	24.7	20.4	20.0	20.4	20.0
25.0	22.3	19.6	18.0	17.3	17.3	21.1	17.1	16.9	17.1	16.9
25.0	21.7	18.8	16.9	16.2	16.1	19.1	15.9	15.7	15.9	15.7
25.0	21.6	18.5	16.6	15.8	15.7	18.1	15.5	15.3	15.5	15.3
25.0	21.5	18.5	16.6	15.7	15.6	17.5	15.3	15.2	15.3	15.2
25.0	21.6	18.6	16.7	15.8	15.6	17.4	15.4	15.3	15.4	15.3
25.0	21.8	18.8	17.0	16.2	16.0	17.6	15.8	15.6	15.8	15.6
25.0	22.2	19.5	17.8	17.0	16.9	18.3	16.7	16.6	16.7	16.6
25.0	23.2	21.0	19.5	18.9	18.9	19.5	18.7	18.5	18.7	18.5
25.0	24.6	23.2	22.3	21.8	21.7	21.9	21.7	21.6	21.7	21.6
25.0	25.0	25.0	25.0	25.0	25.0	25.0	25.0	25.0	25.0	25.0
25.0	25.0	25.0	25.0	25.0	25.0	25.0	25.0	25.0	25.0	25.0

TIEMPO = 19.00 HORAS

TEMPERATURA = 22.59 GRADOS

RADIACION INSTANTANEA = -13.33 W/m²

ERROR TOTAL EN LA ITERACION = .0743

ITERACION NUMERO 2

(15)	(16)	(17)	(18)	(19)	(20)	(21)	(43)	(44)	(69)	(70)
------	------	------	------	------	------	------	------	------	------	------

22.6	22.6	22.6	22.6	22.6	22.6	22.6	22.6	22.6	22.6	22.6	22.6
41.5	41.2	40.9	40.7	40.7	40.7	40.9	40.7	40.6	40.7	40.7	40.6
39.6	38.8	38.0	37.5	37.4	37.7	38.4	37.6	37.3	37.6	37.6	37.3
32.1	30.6	29.2	28.4	28.1	28.2	31.2	28.6	27.9	28.6	27.9	27.9
22.6	24.6	23.0	21.8	21.3	21.5	25.7	21.3	20.9	21.3	20.9	20.9
22.6	22.3	20.2	18.6	17.9	17.9	21.9	17.7	17.4	17.7	17.4	17.4
22.6	21.6	19.1	17.3	16.5	16.4	19.7	16.2	15.9	16.2	15.9	15.9
22.6	21.3	18.8	16.9	16.0	15.9	18.5	15.6	15.4	15.6	15.4	15.4
22.6	21.3	18.7	16.8	15.9	15.7	17.9	15.4	15.3	15.4	15.3	15.3
22.6	21.4	18.8	16.9	16.0	15.8	17.7	15.5	15.4	15.5	15.4	15.4
22.6	21.6	19.1	17.3	16.4	16.2	17.9	15.9	15.8	15.9	15.9	15.8
22.6	22.0	19.8	18.2	17.4	17.2	18.6	17.0	16.8	17.0	16.8	16.8
22.6	22.9	21.2	19.9	19.2	19.2	19.8	19.0	18.8	19.0	18.8	18.8
22.6	23.9	22.9	22.0	21.6	21.5	21.7	21.4	21.3	21.4	21.3	21.3
22.6	22.6	22.6	22.6	22.6	22.6	22.6	22.6	22.6	22.6	22.6	22.6
22.6	22.6	22.6	22.6	22.6	22.6	22.6	22.6	22.6	22.6	22.6	22.6

TIEMPO = 20.00 HORAS

TEMPERATURA = 20.00 GRADOS

RADIACION INSTANTANEA = -50.00 W/m²

ERROR TOTAL EN LA ITERACION = .1740

ITERACION NUMERO 2

(15)	(16)	(17)	(18)	(19)	(20)	(21)	(43)	(44)	(69)	(70)
20.0	20.0	20.0	20.0	20.0	20.0	20.0	20.0	20.0	20.0	20.0
36.9	36.5	36.2	36.0	36.0	36.1	36.3	36.0	35.9	36.0	35.9
38.1	37.3	36.6	36.1	36.0	36.3	37.1	36.2	35.9	36.2	35.9
31.8	30.8	29.7	28.9	28.6	29.3	32.0	29.2	28.4	29.2	28.4
20.0	24.6	23.7	22.6	22.1	22.4	26.5	22.2	21.7	22.2	21.7
20.0	22.1	20.6	19.2	18.5	18.5	22.5	18.3	17.9	18.3	17.9
20.0	21.2	19.4	17.7	16.9	16.8	20.2	16.5	16.2	16.5	16.2
20.0	20.9	18.9	17.2	16.3	16.1	18.9	15.8	15.5	15.8	15.5
20.0	20.8	18.8	17.1	16.1	15.9	18.2	15.6	15.4	15.6	15.4
20.0	20.9	18.9	17.2	16.3	16.0	18.0	15.7	15.5	15.7	15.5
20.0	21.1	19.3	17.6	16.7	16.5	18.2	16.1	16.0	16.1	16.0
20.0	21.6	20.0	18.5	17.7	17.5	18.9	17.2	17.0	17.2	17.0
20.0	22.4	21.2	20.0	19.4	19.3	20.0	19.1	18.9	19.1	18.9
20.0	22.9	22.4	21.6	21.2	21.1	21.3	21.0	20.9	21.0	20.9
20.0	20.0	20.0	20.0	20.0	20.0	20.0	20.0	20.0	20.0	20.0
20.0	20.0	20.0	20.0	20.0	20.0	20.0	20.0	20.0	20.0	20.0

TIEMPO = 21.00 HORAS

TEMPERATURA = 17.41 GRADOS

RADIACION INSTANTANEA = -50.00 W/m²

ERROR TOTAL EN LA ITERACION = .9835

ITERACION NUMERO 1

	(15)	(16)	(17)	(18)	(19)	(20)	(21)	(43)	(44)	(69)	(70)	
17.4	17.4	17.4	17.4	17.4	17.4	17.4	17.4	17.4	17.4	17.4	17.4	17.4
32.9	32.6	32.3	32.1	32.0	32.1	32.4	32.1	32.0	32.1	32.0	32.0	32.0
36.3	35.6	35.0	34.5	34.4	34.7	35.6	34.7	34.2	34.7	34.2	34.2	34.2
31.0	30.6	29.8	29.0	28.8	29.6	32.3	29.4	28.6	29.4	28.6	28.6	28.6
17.4	24.4	24.2	23.3	22.8	23.1	27.0	22.8	22.4	22.8	22.4	22.4	22.4
17.4	21.7	21.0	19.8	19.1	19.1	23.0	18.8	18.4	18.8	18.4	18.4	18.4
17.4	20.6	19.5	18.1	17.3	17.2	20.6	16.8	16.5	16.8	16.5	16.5	16.5
17.4	20.3	19.0	17.5	16.6	16.4	19.2	16.0	15.7	16.0	15.7	15.7	15.7
17.4	20.2	18.9	17.3	16.4	16.1	19.5	15.7	15.5	15.7	15.5	15.5	15.5
17.4	20.3	19.0	17.4	16.5	16.2	18.2	15.8	15.6	15.8	15.6	15.6	15.6
17.4	20.5	19.3	17.9	17.0	16.7	18.4	16.3	16.1	16.3	16.1	16.1	16.1
17.4	21.0	20.1	18.7	18.0	17.8	19.0	17.4	17.2	17.4	17.2	17.2	17.2
17.4	21.6	21.1	20.1	19.5	19.4	20.1	19.2	18.9	19.2	18.9	18.9	18.9
17.4	21.6	21.6	21.0	20.6	20.5	20.7	20.4	20.2	20.4	20.2	20.2	20.2
17.4	17.4	17.4	17.4	17.4	17.4	17.4	17.4	17.4	17.4	17.4	17.4	17.4
17.4	17.4	17.4	17.4	17.4	17.4	17.4	17.4	17.4	17.4	17.4	17.4	17.4

TIEMPO = 22.00 HORAS

TEMPERATURA = 15.00 GRADOS

RADIACION INSTANTANEA = -50.00 W/m²

ERROR TOTAL EN LA ITERACION = .2837

ITERACION NUMERO 2

	(15)	(16)	(17)	(18)	(19)	(20)	(21)	(43)	(44)	(69)	(70)	
15.0	15.0	15.0	15.0	15.0	15.0	15.0	15.0	15.0	15.0	15.0	15.0	15.0
29.6	29.3	29.0	28.8	28.8	28.9	29.2	28.8	28.7	28.8	28.7	28.7	28.7
34.3	33.8	33.3	32.8	32.8	33.1	34.1	33.1	32.6	33.1	32.6	32.6	32.6
29.9	30.1	29.5	28.9	28.8	29.6	32.3	29.4	28.5	29.4	28.5	28.5	28.5
15.0	23.9	24.4	23.8	23.4	23.7	27.3	23.4	22.9	23.4	22.9	22.9	22.9
15.0	21.2	21.2	20.2	19.6	19.7	23.4	19.3	18.9	19.3	18.9	18.9	18.9
15.0	20.0	19.6	18.4	17.7	17.6	20.9	17.1	16.8	17.1	16.8	16.8	16.8
15.0	19.6	19.0	17.7	16.8	16.7	19.5	16.2	15.9	16.2	15.9	15.9	15.9
15.0	19.5	18.8	17.5	16.6	16.4	18.7	15.8	15.6	15.8	15.6	15.6	15.6
15.0	19.5	18.9	17.6	16.7	16.5	18.4	15.9	15.7	15.9	15.7	15.7	15.7
15.0	19.8	19.3	18.0	17.2	17.0	18.6	16.5	16.3	16.5	16.3	16.3	16.3
15.0	20.2	20.0	18.9	18.2	18.0	19.1	17.5	17.4	17.5	17.4	17.4	17.4
15.0	20.6	20.8	20.0	19.4	19.4	20.0	19.1	18.8	19.1	18.8	18.8	18.8
15.0	20.2	20.6	20.2	19.9	19.8	20.0	19.6	19.5	19.8	19.6	19.5	19.5
15.0	15.0	15.0	15.0	15.0	15.0	15.0	15.0	15.0	15.0	15.0	15.0	15.0
15.0	15.0	15.0	15.0	15.0	15.0	15.0	15.0	15.0	15.0	15.0	15.0	15.0

TIEMPO = 23.00 HORAS

TEMPERATURA = 12.93 GRADOS

RADIACION INSTANTANEA = -50.00 W/m²

ERROR TOTAL EN LA ITERACION = .2820

ITERACION NUMERO 2

(15)	(16)	(17)	(18)	(19)	(20)	(21)	(43)	(44)	(69)	(70)
12.9	12.9	12.9	12.9	12.9	12.9	12.9	12.9	12.9	12.9	12.9
26.6	26.4	26.2	26.0	25.9	26.1	26.4	26.1	25.9	26.1	25.9
32.3	32.0	31.5	31.2	31.1	31.6	32.6	31.5	31.0	31.5	31.0
28.6	29.3	29.1	28.7	28.6	29.4	32.0	29.2	28.3	29.2	28.3
12.9	23.3	24.5	24.1	23.8	24.1	27.4	23.8	23.3	23.8	23.3
12.9	20.5	21.3	20.6	20.1	20.2	23.6	19.8	19.4	19.8	19.4
12.9	19.3	19.6	18.7	18.1	18.0	21.2	17.5	17.2	17.5	17.2
12.9	18.8	18.9	17.9	17.1	17.0	19.7	16.4	16.1	16.4	16.1
12.9	18.6	18.7	17.6	16.8	16.6	18.9	16.0	15.8	16.0	15.8
12.9	18.7	18.8	17.7	16.9	16.7	18.6	16.1	15.9	16.1	15.9
12.9	18.9	19.1	18.2	17.4	17.2	18.7	16.6	16.4	16.6	16.4
12.9	19.3	19.7	19.0	18.3	18.1	19.1	17.6	17.5	17.6	17.5
12.9	19.6	20.3	19.9	19.3	19.3	19.8	18.9	18.7	18.9	18.7
12.9	18.8	19.6	19.3	19.0	19.0	19.2	18.8	18.6	18.8	18.6
12.9	12.9	12.9	12.9	12.9	12.9	12.9	12.9	12.9	12.9	12.9
12.9	12.9	12.9	12.9	12.9	12.9	12.9	12.9	12.9	12.9	12.9

TIEMPO = .00 HORAS

TEMPERATURA = 11.34 GRADOS

RADIACION INSTANTANEA = -50.00 W/m²

ERROR TOTAL EN LA ITERACCION = .7432

ITERACION NUMERO 2

(15)	(16)	(17)	(18)	(19)	(20)	(21)	(43)	(44)	(69)	(70)
11.3	11.3	11.3	11.3	11.3	11.3	11.3	11.3	11.3	11.3	11.3
24.1	23.9	23.7	23.6	23.5	23.7	24.0	23.7	23.5	23.7	23.5
30.2	30.1	29.9	29.6	29.6	30.0	31.0	29.9	29.4	29.9	29.4
27.1	28.3	28.5	28.2	28.2	29.0	31.5	28.8	27.9	28.8	27.9
11.3	22.6	24.3	24.3	24.1	24.4	27.3	24.0	23.6	24.0	23.6
11.3	19.9	21.2	20.9	20.6	20.7	23.8	20.2	19.8	20.2	19.8
11.3	18.5	19.5	19.0	18.4	18.4	21.4	17.8	17.5	17.8	17.5
11.3	18.0	19.7	18.0	17.4	17.3	19.9	16.6	16.3	16.6	16.3
11.3	17.8	18.5	17.7	17.0	16.8	19.0	16.1	15.9	16.1	15.9
11.3	17.9	18.5	17.8	17.1	16.9	18.7	16.2	16.0	16.2	16.0
11.3	18.1	18.9	18.3	17.6	17.4	18.7	16.7	16.6	16.7	16.6
11.3	18.4	19.4	18.9	18.4	18.2	19.1	17.7	17.5	17.7	17.5
11.3	18.5	19.7	19.4	19.1	19.0	19.6	18.7	18.4	18.7	18.4
11.3	17.4	18.5	18.4	18.2	18.2	18.4	18.0	17.8	18.0	17.8
11.3	11.3	11.3	11.3	11.3	11.3	11.3	11.3	11.3	11.3	11.3
11.3	11.3	11.3	11.3	11.3	11.3	11.3	11.3	11.3	11.3	11.3

TIEMPO = 1.00 HORAS

TEMPERATURA = 10.34 GRADOS

RADIACION INSTANTANEA = -50.00 W/m²

ERROR TOTAL EN LA ITERACCION = .4642

ITERACION NUMERO 2

(15)	(16)	(17)	(18)	(19)	(20)	(21)	(43)	(44)	(69)	(70)
10.3	10.3	10.3	10.3	10.3	10.3	10.3	10.3	10.3	10.3	10.3
21.9	21.8	21.6	21.5	21.5	21.7	22.0	21.6	21.4	21.6	21.4
28.3	28.4	28.3	28.1	28.1	28.6	29.6	28.5	28.0	28.5	28.0
25.7	27.2	27.7	27.6	27.7	29.5	30.9	28.3	27.4	28.3	27.4
10.3	21.9	24.1	24.3	24.3	24.6	27.1	24.2	23.7	24.2	23.7
10.3	19.2	21.1	21.2	20.9	21.1	23.8	20.5	20.2	20.5	20.2
10.3	17.9	19.4	19.2	18.8	18.8	21.5	19.1	17.3	18.1	17.8
10.3	17.3	18.5	18.2	17.6	17.6	20.0	16.8	16.6	16.8	16.6
10.3	17.1	18.2	17.8	17.2	17.1	19.1	16.3	16.1	16.3	16.1
10.3	17.1	18.3	17.9	17.3	17.1	18.7	16.3	16.2	16.3	16.2
10.3	17.3	18.6	18.3	17.7	17.5	18.7	16.8	16.7	16.8	16.7
10.3	17.5	19.0	18.8	18.4	18.3	18.9	17.7	17.5	17.7	17.5
10.3	17.4	19.0	19.0	18.8	18.8	19.2	18.4	18.1	18.4	18.1
10.3	16.1	17.4	17.6	17.4	17.4	17.6	17.2	17.0	17.2	17.0
10.3	10.3	10.3	10.3	10.3	10.3	10.3	10.3	10.3	10.3	10.3
10.3	10.3	10.3	10.3	10.3	10.3	10.3	10.3	10.3	10.3	10.3

TIEMPO = 2.00 HORAS

TEMPERATURA = 10.00 GRADOS

RADIACION INSTANTANEA = -50.00 W/m²

ERROR TOTAL EN LA ITERACION = .3353

ITERACION NUMERO 2

(15)	(16)	(17)	(18)	(19)	(20)	(21)	(43)	(44)	(69)	(70)
10.0	10.0	10.0	10.0	10.0	10.0	10.0	10.0	10.0	10.0	10.0
20.0	20.0	19.9	19.8	19.8	20.0	20.4	20.0	19.8	20.0	19.8
26.4	26.7	26.7	26.6	26.7	27.2	28.2	27.1	26.6	27.1	26.6
24.2	26.0	26.9	27.0	27.2	28.0	30.2	27.8	26.9	27.8	26.9
10.0	21.2	23.7	24.2	24.3	24.7	26.8	24.2	23.9	24.2	23.8
10.0	18.6	20.9	21.3	21.2	21.4	23.9	20.8	20.5	20.8	20.5
10.0	17.3	19.2	19.3	19.1	19.1	21.6	18.4	18.1	18.4	18.1
10.0	16.6	18.3	18.2	17.9	17.8	20.1	17.0	16.8	17.0	16.8
10.0	16.4	17.9	17.8	17.4	17.3	19.2	16.5	16.3	16.5	16.3
10.0	16.4	18.0	17.9	17.4	17.3	18.7	16.5	16.3	16.5	16.3
10.0	16.6	18.2	18.2	17.8	17.7	18.7	16.9	16.8	16.9	16.8
10.0	16.7	18.5	18.7	18.4	18.2	18.7	17.6	17.5	17.6	17.5
10.0	16.5	18.3	18.6	18.4	18.4	18.8	18.0	17.8	18.0	17.8
10.0	15.1	16.5	16.8	16.7	16.7	16.9	16.5	16.3	16.5	16.3
10.0	10.0	10.0	10.0	10.0	10.0	10.0	10.0	10.0	10.0	10.0
10.0	10.0	10.0	10.0	10.0	10.0	10.0	10.0	10.0	10.0	10.0

TIEMPO = 3.00 HORAS

TEMPERATURA = 10.34 GRADOS

ERROR TOTAL EN LA ITERACION =
ITERACION NUMERO 2

.1795

(15)	(16)	(17)	(18)	(19)	(20)	(21)	(43)	(44)	(69)	(70)
10.3	10.3	10.3	10.3	10.3	10.3	10.3	10.3	10.3	10.3	10.3
18.5	18.6	18.5	18.5	18.5	18.7	19.1	19.7	18.5	18.7	18.5
24.7	25.1	25.3	25.3	25.5	26.0	26.9	25.9	25.4	25.9	25.4
23.0	24.9	26.0	26.3	26.6	27.4	29.4	27.1	26.3	27.1	26.3
10.3	20.6	23.3	24.1	24.3	24.6	26.5	24.2	23.8	24.2	23.8
10.3	18.2	20.7	21.4	21.4	21.6	23.7	21.0	20.7	21.0	20.7
10.3	16.8	19.0	19.4	19.3	19.4	21.6	18.7	18.4	18.7	18.4
10.3	16.2	18.0	18.3	18.1	18.1	20.1	17.3	17.0	17.3	17.0
10.3	15.9	17.7	17.9	17.6	17.5	19.2	16.6	16.4	16.6	16.4
10.3	15.9	17.7	17.9	17.6	17.5	18.7	16.6	16.4	16.6	16.4
10.3	16.0	17.9	18.1	17.9	17.8	18.6	17.0	16.8	17.0	16.8
10.3	16.1	18.1	18.4	18.3	18.2	18.5	17.5	17.4	17.5	17.4
10.3	15.8	17.7	18.1	18.1	18.1	18.4	17.2	17.5	17.7	17.5
10.3	14.3	15.8	16.2	16.2	16.2	16.4	16.0	15.8	16.0	15.8
10.3	10.3	10.3	10.3	10.3	10.3	10.3	10.3	10.3	10.3	10.3
10.3	10.3	10.3	10.3	10.3	10.3	10.3	10.3	10.3	10.3	10.3

TIEMPO = 4.00 HORAS

TEMPERATURA = 11.34 GRADOS

RADIACION INSTANTANEA = -50.20 W/m2

ERROR TOTAL EN LA ITERACION = .0689

ITERACION NUMERO 2

(15)	(16)	(17)	(18)	(19)	(20)	(21)	(43)	(44)	(69)	(70)
11.3	11.3	11.3	11.3	11.3	11.3	11.3	11.3	11.3	11.3	11.3
17.4	17.5	17.5	17.6	17.6	17.9	18.2	17.8	17.6	17.8	17.6
23.2	23.7	24.0	24.2	24.4	24.9	25.8	24.8	24.3	24.8	24.3
21.9	23.9	25.1	25.6	25.9	26.7	28.5	26.5	25.7	26.5	25.7
11.3	20.1	22.9	23.8	24.1	24.5	26.0	24.1	23.7	24.1	23.7
11.3	17.9	20.5	21.4	21.6	21.8	23.5	21.2	20.9	21.2	20.9
11.3	16.6	18.8	19.5	19.5	19.6	21.6	18.9	18.6	18.9	18.6
11.3	15.9	17.8	18.3	18.3	18.3	20.1	17.5	17.2	17.5	17.2
11.3	15.6	17.4	17.8	17.7	17.7	19.2	16.8	16.6	16.8	16.6
11.3	15.6	17.4	17.8	17.7	17.6	18.7	16.7	16.5	16.7	16.5
11.3	15.7	17.5	18.0	17.9	17.8	18.5	17.0	16.9	17.0	16.9
11.3	15.7	17.6	18.2	18.1	18.1	18.3	17.4	17.3	17.4	17.3
11.3	15.3	17.1	17.2	17.2	17.8	17.9	17.3	17.2	17.3	17.2
11.3	14.0	15.3	15.7	15.8	15.9	16.0	15.6	15.5	15.6	15.5
11.3	11.3	11.3	11.3	11.3	11.3	11.3	11.3	11.3	11.3	11.3
11.3	11.3	11.3	11.3	11.3	11.3	11.3	11.3	11.3	11.3	11.3

TIEMPO = 5.00 HORAS

TEMPERATURA = 12.93 GRADOS
 RADIACION INSTANTANEA = -48.24 W/m²
 ERROR TOTAL EN LA ITERACCION = .1192
 ITERACION NUMERO 2

(15)	(16)	(17)	(18)	(19)	(20)	(21)	(43)	(44)	(69)	(70)	(
12.9	12.9	12.9	12.9	12.9	12.9	12.9	12.9	12.9	12.9	12.9	
16.8	16.9	17.0	17.0	17.1	17.4	17.7	17.3	17.1	17.3	17.1	
21.8	22.5	22.9	23.1	23.4	23.9	24.9	23.8	23.3	23.8	23.3	
21.0	22.9	24.2	24.9	25.3	26.1	27.7	25.9	25.1	25.9	25.1	
12.9	19.8	22.4	23.5	23.9	24.3	25.6	24.0	23.6	24.0	23.6	
12.9	17.8	20.3	21.3	21.6	21.9	23.4	21.3	21.1	21.3	21.1	
12.9	16.5	18.6	19.5	19.7	19.9	21.5	19.1	18.9	19.1	18.9	
12.9	15.8	17.7	18.3	18.4	18.5	20.1	17.7	17.4	17.7	17.4	
12.9	15.6	17.2	17.8	17.8	17.9	19.2	16.9	16.8	16.9	16.8	
12.9	15.5	17.2	17.7	17.7	17.7	18.7	16.8	16.7	16.8	16.7	
12.9	15.5	17.2	17.9	17.9	17.9	18.4	17.0	16.9	17.0	16.9	
12.9	15.5	17.2	17.9	18.0	18.0	18.0	17.3	17.2	17.3	17.2	
12.9	15.0	16.6	17.3	17.4	17.5	17.6	17.1	16.9	17.1	16.9	
12.9	14.0	15.1	15.6	15.7	15.7	15.8	15.5	15.4	15.5	15.4	
12.9	12.9	12.9	12.9	12.9	12.9	12.9	12.9	12.9	12.9	12.9	
12.9	12.9	12.9	12.9	12.9	12.9	12.9	12.9	12.9	12.9	12.9	

TIEMPO = 6.00 HORAS
 TEMPERATURA = 15.00 GRADOS
 RADIACION INSTANTANEA = -46.22 W/m²
 ERROR TOTAL EN LA ITERACCION = .2392
 ITERACION NUMERO 2

(15)	(16)	(17)	(18)	(19)	(20)	(21)	(43)	(44)	(69)	(70)	(
15.0	15.0	15.0	15.0	15.0	15.0	15.0	15.0	15.0	15.0	15.0	
16.5	16.7	16.8	16.9	17.0	17.3	17.6	17.2	17.0	17.2	17.0	
20.8	21.4	22.0	22.3	22.6	23.1	24.0	23.0	22.6	23.0	22.6	
20.4	22.1	23.4	24.2	24.7	25.4	26.9	25.2	24.6	25.2	24.6	
15.0	19.7	22.0	23.2	23.7	24.1	25.1	23.8	23.4	23.8	23.4	
15.0	17.9	20.1	21.2	21.7	22.0	23.1	21.4	21.2	21.4	21.2	
15.0	16.7	18.5	19.5	19.8	20.0	21.4	19.3	19.1	19.3	19.1	
15.0	16.0	17.6	18.3	18.6	18.7	20.1	17.8	17.6	17.8	17.6	
15.0	15.7	17.1	17.8	17.9	18.0	19.2	17.1	16.9	17.1	16.9	
15.0	15.6	17.0	17.2	17.8	17.8	18.6	16.9	16.8	16.9	16.8	
15.0	15.6	17.0	17.2	17.8	17.9	19.2	17.0	16.9	17.0	16.9	
15.0	15.5	16.9	17.6	17.8	17.8	17.8	17.2	17.1	17.2	17.1	
15.0	15.1	16.3	17.0	17.2	17.3	17.3	16.8	16.7	16.8	16.7	
15.0	14.4	15.1	15.6	15.8	15.8	15.9	15.6	15.5	15.6	15.5	
15.0	15.0	15.0	15.0	15.0	15.0	15.0	15.0	15.0	15.0	15.0	
15.0	15.0	15.0	15.0	15.0	15.0	15.0	15.0	15.0	15.0	15.0	

TIEMPO = 7.00 HORAS
 TEMPERATURA = 17.41 GRADOS
 RADIACION INSTANTANEA = -44.31 W/m²
 ERROR TOTAL EN LA ITERACCION = .3412
 ITERACION NUMERO 2

(15)	(16)	(17)	(18)	(19)	(20)	(21)	(43)	(44)	(69)	(70)	(
17.4	17.4	17.4	17.4	17.4	17.4	17.4	17.4	17.4	17.4	17.4	
16.6	16.8	17.0	17.1	17.3	17.5	17.9	17.5	17.3	17.5	17.3	
20.0	20.7	21.2	21.6	22.0	22.5	23.3	22.4	22.0	22.4	22.0	
20.1	21.5	22.7	23.5	24.1	24.8	26.1	24.6	24.1	24.6	24.1	
17.4	19.7	21.7	22.8	23.4	23.9	24.6	23.5	23.2	23.5	23.2	
17.4	18.2	20.0	21.1	21.6	22.0	22.9	21.4	21.2	21.4	21.2	
17.4	17.1	18.5	19.5	19.9	20.1	21.3	19.4	19.3	19.4	19.3	
17.4	16.4	17.6	18.4	18.7	18.8	20.1	18.0	17.8	18.0	17.8	
17.4	16.1	17.1	17.8	18.0	18.1	19.2	17.2	17.1	17.2	17.1	
17.4	16.0	16.9	17.6	17.8	17.9	18.6	17.0	16.9	17.0	16.9	
17.4	16.0	16.9	17.6	17.8	17.8	18.2	17.0	17.0	17.0	17.0	
17.4	15.8	16.7	17.4	17.7	17.7	17.7	17.1	17.0	17.1	17.0	
17.4	15.5	16.2	16.8	17.0	17.1	17.1	16.7	16.6	16.7	16.6	
17.4	15.1	15.5	15.9	16.1	16.2	16.2	15.9	15.8	15.9	15.8	
17.4	17.4	17.4	17.4	17.4	17.4	17.4	17.4	17.4	17.4	17.4	
17.4	17.4	17.4	17.4	17.4	17.4	17.4	17.4	17.4	17.4	17.4	

TIEMPO = 8.00 HORAS
 TEMPERATURA = 20.00 GRADOS
 RADIACION INSTANTANEA = -42.35 W/m²
 ERROR TOTAL EN LA ITERACCION = .4183
 ITERACION NUMERO 2

(15)	(16)	(17)	(18)	(19)	(20)	(21)	(43)	(44)	(69)	(70)	(
20.0	20.0	20.0	20.0	20.0	20.0	20.0	20.0	20.0	20.0	20.0	
17.1	17.3	17.5	17.7	17.8	18.1	18.4	18.1	17.9	18.1	17.9	
19.5	20.1	20.7	21.2	21.6	22.1	22.8	22.0	21.6	22.0	21.6	
20.0	21.0	22.1	23.0	23.6	24.3	25.4	24.1	23.6	24.1	23.6	
20.0	19.9	21.4	22.5	23.1	23.6	24.2	23.3	23.0	23.3	23.0	
20.0	18.7	19.9	21.0	21.6	21.9	22.7	21.4	21.3	21.4	21.3	
20.0	17.6	18.6	19.5	20.0	20.2	21.2	19.6	19.4	19.6	19.4	
20.0	17.0	17.6	18.4	18.8	19.0	20.0	18.2	18.0	18.2	18.0	
20.0	16.7	17.1	17.8	18.1	18.2	19.1	17.4	17.2	17.4	17.2	
20.0	16.5	17.0	17.5	17.8	17.9	18.5	17.1	17.0	17.1	17.0	
20.0	16.5	16.9	17.5	17.7	17.8	18.1	17.0	17.0	17.0	17.0	
20.0	16.3	16.7	17.3	17.5	17.6	17.6	17.0	16.9	17.0	16.9	
20.0	16.1	16.2	16.7	17.0	17.1	17.0	16.7	16.6	16.7	16.6	
20.0	16.1	16.1	16.4	16.6	16.7	16.7	16.5	16.4	16.5	16.4	
20.0	20.0	20.0	20.0	20.0	20.0	20.0	20.0	20.0	20.0	20.0	
20.0	20.0	20.0	20.0	20.0	20.0	20.0	20.0	20.0	20.0	20.0	
